

NOSITEL
VYZNAMENÁNÍ
ZA BRANNOU
VÝCHOVU
I. A II. STUPNĚ

ŘADA PRO KONSTRUKTÉRY

**ČASOPIS PRO ELEKTRONIKU
A AMATÉRSKÉ VYSÍLÁNÍ**
ROČNIK XXXVII/1988 ● ● Číslo 4

V TOMTO SEŠITĚ

Sjezdy Svazarmu 121

**INTEGROVANÉ OBVODY ZEMÍ
RVHP VI**
(pokračování z AR B2/88)

| | |
|---|-----|
| I0 pro nf zesilovače napětí a výkonu | 121 |
| Zesilovač A1818D..... | 124 |
| Dvojitý nf předzesilovač βM381, 381A..... | 129 |
| βM387N, 387 AN | 133 |
| Dvojitý nf zesilovač výkonu, A2000V, A2005V | 133 |
| Integrovaný nf zesilovač vý- konu 10 W, UL1413G | 140 |
| Nf stereofonní regulátor, A1524D | 143 |
| Měnič napětí a řídící obvody zobrazovačů | 145 |
| Integrovaný měnič zápor- ného napětí, U7660DC..... | 145 |
| Řídící obvod optoelektrono- nických zobrazovačů LED, UL1970 | 147 |
| Řídící obvod zobrazovačů s LED, UL1980N..... | 150 |
| Obvody pro řízení stupnic LED, UL1975N, UL1976N | 154 |
| Řídící obvody zobrazovačů LCD, UL7211D, UP7211D | 156 |
| DÁLKOVÝ PŘÍJEM V PRAXI (dokončení z AR B3/88) | |
| 11.1 Pracovní bod tranzistoru.. | 157 |
| 11.2 Praktická realizace širokopásmových zesilo- vačů..... | 158 |
| Literatura | 159 |
| Inzerce | 160 |

AMATÉRSKÉ RÁDIO ŘADA B

Vydává ÚV Svazarmu ve vydavatelství NAŠE VOJSKO, Vladislavova 26, 133 66 Praha 1, tel. 26 06 51-7. Šéfredaktor ing. Jan Klabal. Redakční radu řídí ing. J. T. Hyanc. Redaktor L. Kalousek, OK1FAC. Redakce Jungmannova 24, 113 66 Praha 1, tel. 26 06 51-7, šéfredaktor linka 354, redaktor linka 353, sekretářka linka 355. Ročně vyjde 6 čísel. Cena výtisku 5 Kčs, pololetní předplatné 15 Kčs. Rozšířuje PNS, v jednotkách ozbrojených sil vydavatelství NAŠE VOJSKO, administrace Vladislavova 26, Praha 1. Objednávky přijímá každá pošta i doručovatel. Objednávky do zahraničí využívají PNS, ústřední expedice a dovoz tisku, závod 01, Kafkova 9, 160 00 Praha 6. Tiskne NAŠE VOJSKO, n. p., závod 08, 160 05 Praha 6, Vlastina ulice č. 889/23. Za původnost a správnost příspěvku odpovídá autor. Návštěvy v redakci a telefonické dotazy po 14. hodině. Číslo indexu 46 044.

Toto číslo má vyjít podle plánu 4. 8. 1988.
© Vydavatelství NAŠE VOJSKO.

SJEZDY SVAZARNU

V minulém období skončily výroční členské schůze základních organizací Svazarmu, okresní konference Svazarmu i krajské a městské konference Svazarmu, na nichž členové Svazarmu a delegáti posuzovali, jak se podařilo splnit usnesení VII. celostátního sjezdu Svazarmu, plenárních zasedání ústředních výborů i krajských a okresních konferencí doplněných o aplikaci závěr XVII. sjezdu KSČ a zasedání jejího ústředního výboru.

Ukončená jednání svazarmovci tvoří důležitou etapu příprav jednání sjezdů Svazarmu, v níž vrcholí úsilí za splnění rezoluce VII. sjezdu Svazarmu ČSSR. Dosavadní poznatky z ukončených jednání ukazují, že členové Svazarmu přistoupili a přistupují odpovědně k hodnocení své práce a to zcela v duchu náročných úkolů, souvisejících s probíhající přestavbou v naší společnosti. Přes dosažené dobré a někdy i vynikající výsledky se ukázalo, že stále ještě přetrvávají některé letité problémy a objevují se i nové. Ke kladům většinou patří zvyšující se zájem o členství ve Svazarmu, aktivnější přístup k zabezpečování branného poslání naší organizace, upevnění postavení Svazarmu v rámci Národní fronty apod. Nedostatků je však zatím dost: stále existují zaostávající a pasivní základní organizace, často není na výši komplexní působení na branné vědomí zejména mládeže předbranckého a branckého věku, což patří do oblasti politickovýchovná a masové politické práce, pokulhává i materiální a finanční zabezpečení některých činností, je stálý nedostatek kvalifikovaných cvičitelů, vedoucích kroužků zájmové činnosti, někdy a někde není činnost podložena cílevědomostí, plánovitosti a soustavnosti práce, ve větších organizacích bývají rozpory mezi radami klubů a výborem ZO, nedodržují se stanovy Svazarmu, což je většinou přímým důsledkem neodpovědné a neprincipiální činnosti výboru. Praxe totiž ukazuje, že nejdůležitějším činitelem v rozvoji života každé ZO je úroveň práce jejího výboru, dostí důkazů pro toto tvrzení bylo uveřejněno i v našich časopisech. Současný stav a jakost činnosti výborů ZO je značně rozdílná, rozdílný je například i přístup k realizaci usnesení svazarmovských orgánů — to jsou stejné problémy, s nimiž se potýkají i ostatní organizace Národní fronty, a jejich vyřešení je nezbytné, mají-li být splněny cíle přestavby života celé naší společnosti.

Velmi sympatické je, že většina vystoupení na schůzích a konferencích byla adresná, kritická a navíc hledala i cesty k řešení problémů. Všichni se ve svých vystoupeních snažili hledat řešení, jak co nejfektivněji využívat svěřených prostředků a hodnot. Řada připomínek navrhovala i konkrétní opatření k omezení administrativy, administrativních opatření a byrokratických metod v práci orgánů a aparátu.

Vše, co jsme uvedli, naznačuje, že cesta k široké aktivizaci členů Svazarmu před VIII. celostátním sjezdem organizace byla v převážné většině případu nastoupena. Lze ji rozšířit mnoha způsoby, jedním z nich je např. iniciativa ČÚV Svazarmu, spočívající v plánované široké informovanosti členů, aktu, orgánů a aparátu o dosažených výsledcích v činnosti v české republikové organizaci prostřednictvím Svazarmovce, časopisu ČÚV Svazarmu. Předsednictvo ČÚV vidí v tomto postupu možnost vzniku dialogu mezi orgány a členskou základnou, způsob, jak socialistickou demokracii a nové myšlení uplatňovat v řízení a organizaci práce naší svazarmovské organizace, což by se mělo kladně promítat i do jednání celostátního sjezdu Svazarmu.

Krátkovlnný závod na počest sjezdů Svazarmu 1988

Při příležitosti konání sjezdů Svazarmu pořádá KV komise RR ÚV Svazarmu krátkovlnný závod.

Termín: sobota 10. 12. 1988.

Doba závodu: 160 a 80 m v úseku pro vnitrostátní závody (1860 až 1950, 3540 až 3600, 3650 až 3750 kHz),
ve dvou etapách: 160 m od 06.00 do 07.00 UTC,
80 m od 07.00 do 08.00 UTC.

Druh provozu: CW a SSB v obou pásmech. S každou stanicí lze navázat v každém pásmu spojení 1x CW a 1x SSB.

Kód: RS nebo RST, pořadové číslo spojení a okresní znak.

- Kategorie:**
 - 1) jednotlivci CW a SSB, obě pásmá;
 - 2) jednotlivci CW, obě pásmá
 - 3) OL stanice;
 - 4) kolektivní stanice;
 - 5) posluchači.

Bodování: za spojení CW a SSB v každém pásmu 1 bod. Výsledek je dán: součet bodů za spojení se vynásobí součtem násobičů.

Násobiče: okresní znaky v každém pásmu zvlášť.

Deníky: nutno zaslat do 10 dnů na adresu OK1KRQ.

**Radioklub OK1KRQ, pošt.
schr. 188, 304 88 Plzeň.**

KV komise RR ČÚV Svazarmu

INTEGROVANÉ OBVODY ZEMÍ RVHP — VI —

Vítězslav Stříž

(Dokončení z ARB2/88)

Na obr. 62 až 65 jsou příklady zapojení budicích stupňů řádkového vychylování, které se řídí přes rezistor R_s z výstupu 02 horizontální kombinace TBA920.

Zapojení na obr. 62 znázorňuje budicí stupeň koncového stupně řádkového rozkladu, který je osazen elektronkou. Zapojení využívá vysokonapěťového tranzistorového stupně v emitorovém zapojení s tranzistorem BF179, k němuž je připojen paralelní člen RC .

Další dva budicí stupně podle obr. 63 a 64 jsou určeny pro koncové stupně osazené výkonovými tranzistory. Jejich zapojení je řešeno obdobně jako zapojení s elektronkou. V obou případech se řídí koncový stupeň indukčně (pomocí transformátoru), takže volba zemnicího bodu koncového stupně není vázána na jedno místo. Paralelně připojený člen RC k primárnímu vinutí transformátoru chrání budicí transformátor před napěťovými špičkami při zavírání tranzistoru. Vysokonapěťový budicí stupeň s výstupem s velkou impedancí podle obr. 63 je osazen tranzistorem BD232. Nízkonapěťový budicí stupeň potřebuje poměrně velký budicí proud, takže zapojení na obr. 64 se musí rozšířit o emitorový sledovač s tranzistorem BC337, který pak přímo budí mezistupeň s tranzistorem BSW66. Použitý oddělovací transformátor má tyto údaje: Jádro EI25 je z „dynamoplechů“, vzduchová mezera $2 \times 0,2$ mm. Cívky pro zapojení podle obr. 63: primární 950 závitů drátu CuL o $\varnothing 0,18$ mm, sekundární 31 závitů CuL o $\varnothing 0,45$ mm. Cívky pro zapojení podle obr. 64: primární 85 závitů drátu CuL o $\varnothing 0,35$ mm, sekundární 35 závitů CuL o $\varnothing 0,6$ mm.

Koncové stupně řádkového rozkladu osazené tyristory vyžadují budicí impulsy, u nichž je sestupná hraná těsně před ukončením doby vykličování řádku a které jsou přitom kratší než nejkratší impulsy, jež může dodávat obvod horizontální kombinace TBA920. Řidící impulsy s určitou šířkou impulsu ($t_{imp} \leq t_{2\ min}$) lze získat úpravou výstupních impulsů na vývodu 02 diferenčním obvodem a následným tvarováním (omezováním), po němž pak následuje zesílení v budicím stupni. Pro tento účel je vhodné zapojení podle obr. 65. Jako diferenční obvod pro výstupní impulsy obvodu TBA920 slouží člen RC (je složen z ochranného rezistoru R_s s odporem 820Ω , rezistoru 220Ω a kondenzátoru $3,3 \text{ nF}$). Na kolektoru prvního budicího tranzistoru (BC238), který pracuje jako omezovač, vznikají záporné impulsy se šířkou asi $5 \mu\text{s}$. Těmito impulsy se řídí (přes rezistor 330Ω pro omezení proudu) druhý budicí tranzistor (BC328), který dodává

potřebný klíčovací proud přes vazební kondenzátor 220 nF pro zapalování a uzavírání komutacního tyristoru (zpětnovazební tyristor) koncového stupně řádkového vychylování.

Praktické zapojení a propojení obvodu TBA920 je poměrně jednoduché, neboť integrovaný obvod nepotřebuje velké klíčovací proudy. Zapojení není citlivé na různé vlivy, neboť v něm nejsou obvody s velkou impedancí. Výjimku tvoří vstup oddělovacího stupně impulsů a výstupy impulsů, jejichž velké impulsní proudy slouží k vybuzení připojených vnějších součástek a dovolují širší použití obvodu TBA920. V podstatě se musí dodržet tato doporučení:

— Kondenzátor $C_{1/16}$ mezi přívodem napájecího napětí a zemí musí mít co nejkratší vývody a musí se připojit přímo na vývod integrovaného obvodu (z důvodu co nejmenšího rušivého napětí, které se může indukovat do vývodu 01).

— Kondenzátory mezi vývody 13, 14 a zemí, $C_{13/16}, C_{14/16}$ a rezistor $R_{15/16}$ připojit co nejkratšími vývody s malou impedancí do společného zemnicího bodu pokud možno odděleného od jiných zemnicích rozvodů, čímž se zamezí vazbě s rušivými signály.

— Vazební kondenzátory na výstupech (ochrana proti zkratu) se musí připojit bezprostředně na vývody integrovaného obvodu (především na vývodech 02 a 07).

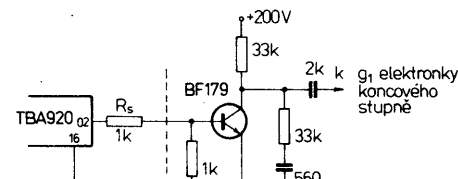
— Vstupní signál se musí vést co nejkratším nebo stíněným vedením (nejlépe oboustranně uzavřeným vedením), čímž se zajistí malá vazba kapacitní i indukční nebo zemnicími body vůči rušivým signálům a ochrana při vysokonapěťových průbojích.

— Rezistory pro omezení proudu ve vývodech 01, 05 a 07 se musí umístit tak, aby proudové omezení bylo účinné i při průbojích vysokého napětí. Toto opatření je nutné jen v případě, že se použijí nestíněné vývody.

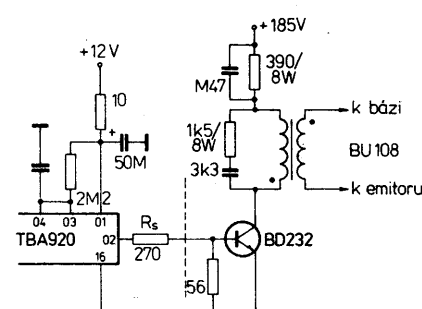
Potřebnou časovou diferenci mezi středním impulsem zpětného běhu a náběžnou hranou synchronizačního impulsu lze nastavit časovým posuvem impulsu zpětného běhu diferenčním nebo integračním členem před vstupem 05 nebo přídavným, z vnějšku přiváděným proudem do vývodů 03 a 04. Jsou-li tolerance použitých vnějších součástek dostatečně malé, pak obvykle není zapotřebí časovou diferenci nastavovat individuálně.

Naproti tomu se nelze zříkat individuálního nastavování kmitočtu oscilátoru, nejlépe nastavením klidového proudu I_{15} při regulačním proudu $I_R = 0$ na vnějším odporovém trimru podle obr. 63 a 65. Aby při nastavování neprotékal žádý regulační proud I_R , musí se spojit vývod 06 se zemí. Nastavení horizontální kombinace TBA920 je jednoduché, rychlé a nevyvolává žádné problémy.

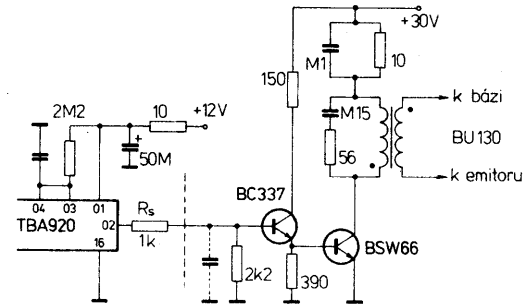
Mimo základní provedení horizontální kombinace TBA920 se ještě vyrábí druhá verze obvodu, TBA920S. Elektrické vlastnosti obou typů jsou stejné až na následující odchylky charakteris-



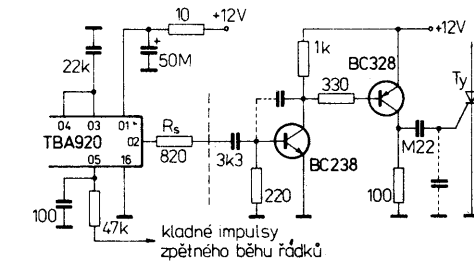
Obr. 62. Budicí stupeň koncového zesilovače řádkového rozkladu s obvodem TBA920 a koncovou elektronkou



Obr. 63. Vysokonapěťový budicí stupeň koncových zesilovačů řádkového rozkladu s výkonovým tranzistorem BU108, SU160



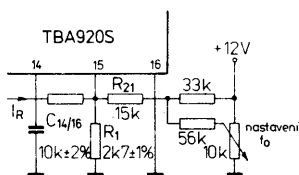
Obr. 64. Budicí stupeň v koncových zesilovačů řádkového rozkladu s výkonovým tranzistorem BU130



Obr. 65. Budicí stupeň v koncovém zesilovače řádkového rozkladu s rychlým rozkladovým tyristorem

Tab. 17. Elektrické údaje TBA920, TBA920S

| Mezní údaje | | Porovnání fáze I (mezi synchr. impulzy a oscilátorem) | |
|---|--|--|--|
| Napájecí napětí: | $U_{B\ 1/16} \leq 13,2\text{ V}$. | rozsah řídícího napětí: | $U_{12/16} = 0,8\text{ až }5,5\text{ V}$, |
| Napětí vývodu 03 minimální: | $U_{3/16} \geq 0\text{ V}$. | řídící proud vrcholový | $I_{12M} = \pm 2\text{ mA}$, |
| Napětí vývodu 03 maximální: | $U_{3/16} \leq 13,2\text{ V}$. | $U_{10/16} > 4,5\text{ V}, U_{6/16} > 1,5\text{ V}$: | $I_{12M} = \pm 6\text{ mA}$. |
| Záporné napětí vývodu 08: | $-U_{8/16} \leq 12\text{ V}$. | $U_{10/16} > 2,0\text{ V}, U_{6/16} > 1,5\text{ V}$: | |
| Napětí vývodu 10 minimální: | $U_{10/16} \geq -0,5\text{ V}$. | Zisk smyčky APC | |
| Napětí vývodu 10 maximální: | $U_{10/16} \leq 5\text{ V}$. | doba koincidence mezi synchr. impulsy a impulsy zpětného běhu nebo $U_{10/16}$: | $\Delta t = 1\text{ kHz}/\mu\text{s}$, |
| Střední výstupní proud vývodu 02: | $I_{2AV} \leq 20\text{ mA}$. | doba koincidence žádná nebo $U_{10/16} \leq 2\text{ V}$: | $\Delta t = 3\text{ kHz}/\mu\text{s}$. |
| Vrcholový výstupní proud vývodu 02: | $I_{2M} \leq 200\text{ mA}$. | Zachycení a rozsah udržování ⁵⁾ : | $\Delta f_0 = \pm 3\%$, $f = 470\text{ Hz}$ ⁶⁾ . |
| Vrcholový proud vývodu 05: | $I_{5M} \leq 10\text{ mA}$. | Doba vtažení do synchronizace | $t = 20\text{ ms}$. |
| Vrcholový proud vývodu 07: | $I_{7M} \leq 10\text{ mA}$. | Přepnutí z velké na malou citlivost po zachycení ⁶⁾ : | $t = 20\text{ ms}$. |
| Vrcholový proud vývodu 08, 09: | $I_{8M}, I_{9M} \leq 10\text{ mA}$. | | |
| Ztrátový výkon celkový: | $P_{tot} \leq 600\text{ mW}$, | | |
| po dobu nažhavení obrazovky: | $P_{tot} \geq 800\text{ mW}$. | | |
| Rozsah provozních teplot okolí: | $\vartheta_a = -20\text{ až }+60^\circ\text{C}$. | | |
| Rozsah skladovacích teplot: | $\vartheta_{sig} = -55\text{ až }+125^\circ\text{C}$. | | |
| Teploplota vývodu při pájení | | | |
| $t = 5\text{ s}$: | $\vartheta_L = 260^\circ\text{C}$. | | |
| Charakteristické údaje | | | |
| Platí při $\vartheta_a = -25^\circ\text{C}$, $U_{B\ 1/16} = 12\text{ V}$, v doporučeném zapojení. | | | |
| Spořebla proudu ($I_2 = 0$): | $I_1 = 36\text{ mA}$. | Fáze | |
| Obrazový signál (BAS) | | fáze mezi náběhovou hranou synchr. impulsu a středem impulsu zpětného běhu ⁸⁾ : | $t = 4,9\text{ }\mu\text{s}$, |
| vstupní napětí mezi vrcholové: | $U_{1\ M/M} = 3; 1\ až 7\text{ V}$, | tolerance fáze ⁹⁾ TBA920 (TBA920S): | $ \Delta t = 1,0\ (0,4)\text{ }\mu\text{s}$, |
| vstupní proud vrcholový: | $I_{8M} = 100\text{ }\mu\text{A}$. | napětí proti $t_{imp2} = 12\ až 32\text{ }\mu\text{s}$: | $U_{3/16} = 6\ až 8\text{ V}$, |
| Vykličování šumu (vývod 09) | | citlivost nastavení: | $\frac{\Delta t_{imp2}}{\Delta U_{3/16}} = 10\text{ }\mu\text{s}/\text{V}$, |
| vstupní napětí vrcholové: | $U_{9/16M} \geq 0,7\text{ V}$, | vstupní proud: | $I_3 \leq 2,0\text{ }\mu\text{A}$. |
| vstupní proud vrcholový: | $I_{9M} = 0,03\ až 10\text{ mA}$, | | |
| vstupní odpor: | $R_{9/16} = 200\text{ }\Omega$. | Vnější přepínání hodnot porovnávání fáze I | |
| Impuls zpětného běhu (vývod 05) | | (filtry smyčky a zisk smyčky, např. pro použití videorekordéru) ¹⁰⁾ | |
| vstupní napětí vrcholové: | $U_{5/16M} = \pm 1\text{ V}$, | požadované přepinaci napětí | |
| vstupní proud vrcholový: | $I_{5M} = 0,05\ až 1\text{ mA}$, | $R_{11/16} = 150\text{ }\Omega$: | $U_{10/16} \geq 4,5\text{ V}$, |
| vstupní odpor: | $R_{5/16} = 400\text{ }\Omega$, | $R_{11/16} = 2\text{ k}\Omega$: | $U_{10/16} \leq 2,0\text{ V}$, |
| doba impulsu ($f = 15\ 625\text{ Hz}$): | $t_{ip5} \leq 10\text{ }\mu\text{s}$. | požadovaný přepinací proud | |
| Synchronizační impulsy kladné (vývod 07) | | $R_{11/16} = 150\text{ }\Omega, U_{10/16} = 4,5\text{ V}$ ¹⁰⁾ : | $I_{10} = 80\text{ }\mu\text{A}$, |
| výstupní napětí mezi vrcholové: | $U_{7/16\ M/M} = 10\text{ V}$, | $R_{11/16} = 2\text{ k}\Omega, U_{10/16} = 2,0\text{ V}$ ¹⁰⁾ : | $I_{10} = 120\text{ }\mu\text{A}$. |
| výstupní odpor (náběžná hrana): | $R_{7/16} = 50\text{ }\Omega$, | | |
| výstupní odpor (cestupná hrana): | $R_{7/16} = 2,2\text{ k}\Omega$, | | |
| přidavný vnější zatěžovací odpor: | $R_{7/16\ ext} \geq 2,0\text{ k}\Omega$, | | |
| Budicí impuls (vývod 02) | | | |
| výstupní napětí mezi vrcholové: | $U_{2/16\ M/M} = 10\text{ V}$, | | |
| výstupní proud střední: | $I_{2AV} \leq 20\text{ mA}$, | | |
| výstupní proud vrcholový: | $I_{2M} \leq 200\text{ mA}$, | | |
| výstupní odpor ¹⁾ : | $R_{2/16} = 2,5\text{ nebo }15\text{ }\Omega$, | | |
| doba výstupního impulsu ²⁾ : | $t_2 = 12\ až 32\text{ }\mu\text{s}$, | | |
| dovolené zpoždění mezi náběhovou hranou výstupního impulsu a zpětnovazebním impulsem | | | |
| $t_{ip5} = 12\text{ }\mu\text{s}$, | | | |
| napájecí napětí pro vznik výstupních impulsů: | | | |
| Oscilátor | | | |
| kmitočet volnoběžných oscilací | | | |
| $R_{15/16} = 3,3\text{ k}\Omega^3)$: | | | |
| rozptyl kmitočtu při jmenovitých hodnotách vnějších součástek TBA920 ⁴⁾ (TBA920S) | | | |
| změna kmitočtu při zmenšení napájecího napětí na 4 V: | | | |
| citlivost na řízení kmitočtu | | | |
| rozsa nastavení v doporučeném zapojení TBA920 (TBA920S) | | | |
| Vliv napájecího napětí na kmitočet $U_{1/16} = 12\text{ V}$: | | | |

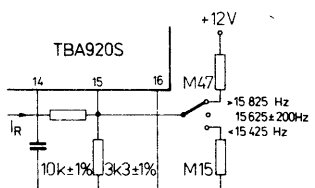


Obr. 66. Zapojení k jemnému nastavení volnoběžného oscilačního kmitočtu f_{osc} obvodu TBA920

tických údajů, které dále zlepšují funkční vlastnosti součástky. Rozsah nastavení kmitočtu oscilačního kmitočtu v zapojení podle obr. 66 je max. $\pm 5\%$, tolerance polohy fáze mezi náběžnou hranou synchronizačního impulsu a středem impulsu zpětného běhu je max. $\pm 0,4\text{ }\mu\text{s}$. Rozptyl kmitočtu oscilačního kmitočtu je rovněž podstatně menší (max. $1,5\%$).

K hrubému nastavení kmitočtu oscilačního kmitočtu lze použít zapojení s další

möžnou úpravou pomocí třípolohového přepínače, který je na obr. 67. Přepínač se použije místo potenciometru. Odpory použitých rezistorů jsou proti obvyklému zapojení pozměněny.



Obr. 67. Zapojení k hrubému nastavení kmitočtu oscilátoru f_{osc} obvodu TRA920

IO PRO NÍZKOFREKVENČNÍ ZESILOVAČE NAPĚtí A VÝKONU

Záznamový a snímací
zesílovač A1818D

Integrovaný obvod A1818D z výroby podniku VEB Halbleiterwerk Frankfurt/Oder, NDR, je určen především pro přenosné monofonní kazetové magnetofony a diktafony. V důsledku komplexnosti systému obvodu je jeho použití omezeno na několik základních zapojení, která jsou dále popsána. Nejvhodnější je používat IO v náročných předesilovačích s velmi malým číslem.

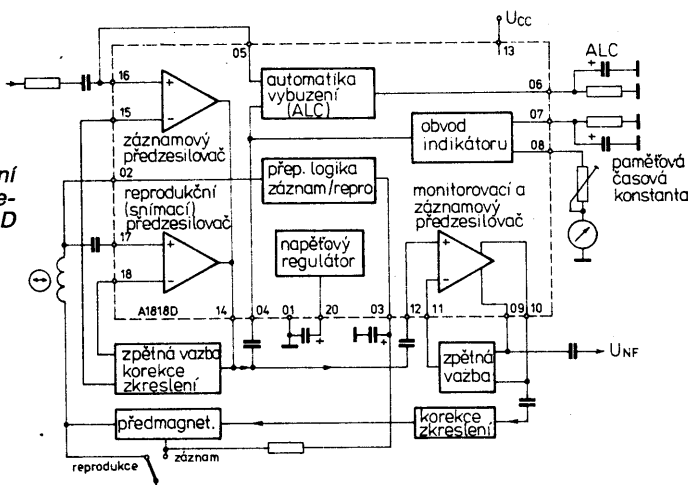
Obvod A1818D sdružuje mimo „mazací“ oscilátor všechny aktivní součástky potřebné ke konstrukci kazetového magnetofonu. Elektronické obvody sdružené na společném křemíkovém čipu mají tyto funkce: předzesilovač pro snímání, monitorovací a záznamový zesilovač, automata vybuzení (ALC) a zapojení pro indikaci vybuzení. Funkční skupinové zapojení obvodu A1818D je na obr. 68.

Integrovaný obvod se dodává v plastovém pouzdru DIL-20 s 2 x deseti vývody ve dvou řadách s roztečí 2,54 mm a odstupem řad 7,62 mm. Funkce vývodu: 01 – zemnící bod, 02 – přepínání hlavy, 03 – přepínání záznam/reprodukce, 04 – vstup ALC, 05 – tranzistor ALC, 06 – časová konstanta ALC, 07 – indikace časové konstanty, 08 – výstup indikátoru, 09 – výstup monitorovacího zesilovače, 10 – výstup záznamového zesilovače, 11 – zpětná vazba monitoru a záznamového zesilovače, 12 – vstup monitoru a záznamového zesilovače, 13 – přípoj kladného napájecího napětí, 14 – výstup předzesilovače, 15 – zpětná vazba mikrofonního zesilovače, 16 – vstup mikrofonního zesilovače, 17 – vstup reprodukčního (snímačního) zesilovače, 18 – zpětná vazba reprodukčního zesilovače, 19 – kolektor vstupního tranzistoru, 20 – blokování vnitřního napájecího napětí. Elektrické údaje A1818D jsou v tab. 18.

Funkce záznamu a reprodukce (snímání záznamu z pásku) se přepínají elektronickou cestou přímo v systému obvodu. Z vnějších součástek je k tomu zapotřebí pouze jeden jednopólový přepínač. Vnitřní napěťový regulátor slouží k účinnému potlačení brumu a výrovná rozdíly a kolísání napájecího napětí, které může být použito v širokém rozsahu.

Oba předzesilovače mají stejnou konstrukci a mají společný výstup. Funkční blokové zapojení předzesilovače je na obr. 69. Funkce záznam/reprodukce se přepínají změnou předpěti druhého stupně obou předzesilovačů. Jeden ze zesilovačů se používá jako mikrofonní zesilovač druhý jako zesilovač reprodukční

Obr. 68. Funkční skupinové zapojení obvodu A1818D



Vstup předzesilovačů je v emitorovém zapojení s vnitřním předpětím báze. Zpětnovazební vývod je vytvořen emitorovým vývodom vstupního tranzistoru. Aby se v prvním stupni dosáhlo dobrých šumových vlastností, je u něj pevně nastaven kolektorový proud na $50 \mu\text{A}$ a maximální proudové zesílení při nejmenším odporu v bází.

Druhý stupeň zesilovačů má nastavený kolektorový proud na $15 \mu\text{A}$. Jinak je navržen rovněž tak, aby jeho šumové vlastnosti byly stejně dobré. Ekvivalentní šumové vstupní napětí předzesilovače je průměrně $0,5 \mu\text{V}$ v celém přenášeném kmitočtovém pásmu do 20 kHz . Malé požadované šumové napětí v nízkofrekvenčním signálu vyžaduje velmi malou vnitřní impedancii generátoru. Z tohoto důvodu se musí použít vstupní vazební kondenzátor s poměrně velkou kapacitou. Odtud ovšem pramení velká doba zpoždění při zapínání.

Integrovaný obvod A1818D má speciální nabíjecí zapojení s typickým rychlým nabíjecím proudem okolo $200\ \mu\text{A}$, které odstraňuje již popsané nevýhody. Oba předzesilovače využívají společného zpětnovazebního obvodu dimenzovaného tak, aby zaručil pracovní bod výstupního stupně s optimálním využitím.

Reprodukční zesilovač má vyveden kolektor vstupního tranzistoru (vývod 19), proto lze v kritických zapojeních použít vnější tranzistor s extrémně malým šumem. V tomto případě se vnitřní vstupní tranzistor překlené zkratováním vývodů 17 a 18. Zpětná vazba se pak přivádí na vnější tranzistor.

Oba předzesilovače pracují stabilně při jakémkoli zesílení větším než 5 a mají velké zesílení otevřené smyčky. Vnitřní předpětí báze je teplotně stabilní, čímž se dosahuje rovněž stabilního výstupního napětí předzesilovače. Kondenzátor připojený mezi vývody 20 a zem slouží k potlačení brumového napětí předzesilovače. Nemá se volit s příliš velkou kapacitou (nejvhodnější kapacita je 1 μ F), neboť se tím prodlužuje doba zapínání. Vstupní impedance předzesilovače je prům. 45 k Ω .

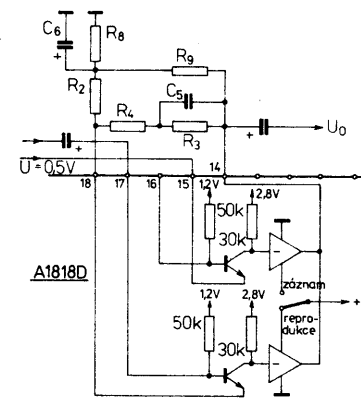
Výstupní stejnosměrné napětí se vypočte podle přibližného vztahu

$$U_0 \approx \left(1 + \frac{R_g}{R_a}\right) (0.5 - 50 \cdot 10^{-6} R_2) \quad [V]$$

Za podmínky platnosti

$R_2 + R_3 + R_4 > 10R$
bude platit vztah

$$R' = -\frac{R_8 R_9}{R_8 + R_9}$$



Obr. 69. Funkční skupinové zapojení předzesilovače

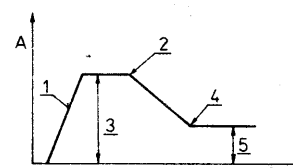
Zesílení střídavého napětí při reprodukci je dáno vztahem

$$A_{ac} = \frac{R_4 + \frac{R_3}{1 + j 2\pi f C_5 R_3}}{R_2} + 1$$

Pro běžně používané pásky Fe_2O_3 v kazetách můžeme dosadit za R_3 C₅ konstantu $\tau_1 = 3180 \mu\text{s}$, za R₄ C₅ konstantu $\tau_2 = 120 \mu\text{s}$.

Protože napětí ze snímací hlavy magnetofonu je velmi malé, je k zesílení zapotřebí zesilovač s velkým napěťovým zesílením; zesílení je účelně rozdělit rovnoměrně mezi předzesilovač a následný zesilovač.

V předzesilovači se přitom koriguje zkreslení kmitočtové charakteristiky. Monitorovací zesilovač, připojený za předzesilovač, pracuje lineárně. Při provozu „záznam“ pracuje předzesilovač zcela lineárně, záznamový zesilovač zesiluje a koriguje vstupní signál (zdůrazňuje výšky a hloubky). Není-li záznamový zesilovač dostatečně vybaven na vysokých kmitočtech, musí se výšky zdůraznit pasivně.

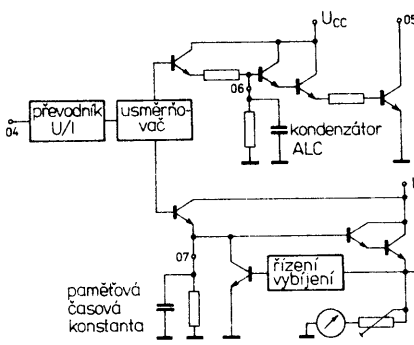


Obr. 70. Přenosová charakteristika předzesilovačů obvodu A1818D podle obr. 69 je definována body:

$$\begin{array}{ll} 1 A_{ac}/2\pi \quad (R_8 \parallel R_9) \quad C_6 & 4 1/2\pi R_4 C_5 \\ 2 1/2\pi \quad R_3 \quad C_5 & 5 1 + R_4/R_2 \\ 3 1 + (R_3 + R_4)/R_2 & \end{array}$$

Ke zdůraznění výšek se používá kombinace dvou metod.

K zamezení akustické zpětné vazby při záznamu se musí odpojit reprodukční zesilovač. Proto postačuje jeden společný vstupní a zpětnovazební vývod pro oba zesilovače. Výstupy jsou odděleny, aktivují se pro daný druh provozu, takže lze používat rozdílně navrhované zpětnovazební členy. Zesilovače mají vnitřní kompenzaci, proto pracují s velkou stabilitou při zesílení větším než 3 dB. Výstupy mohou odevzdát na zatěžovacím odporu proud až do $400 \mu\text{A}$ při rozkmitu 500 mV bud vůči napájecímu napětí nebo zemi. Je-li k buzení záťaze zapotřebí větší proud než $400 \mu\text{A}$, může se připojit k výstupu zesilovače větší vnější odpor. Zpětná vazba nemá být volena s velkou impedancí, neboť posunutí pracovního bodu může ovlivnit schopnost vybuzení. Funkční skupinové zapojení na obr. 71 platí pro monitorovací a záznamový zesilovač.



Obr. 72. Funkční skupinové zapojení automatiky vybuzení a indikace vybuzení obvodu A1818D

K výstupu 06 se připojuje paměťový kondenzátor ALC, který má přídavnou funkci při přepínání mezi provozem „záznam“ a „reprodukce“. Z tohoto důvodu je potřebný též v případě, kdy se ALC nevyužívá.

Úkolem funkční skupiny indikátoru využené je vyhodnotit a indikovat nastavenou záznamovou úroveň. Paměťová časová konstanta je určena vnějším časovým členem RC , připojeným k vývodu 07. Zapojení je navrženo tak, že časová konstanta přechodného napětí se mění v závislosti na velikosti výchylky indikátoru pomocí speciálního vybijecího zapojení.

Pod maximální záznamovou úrovňí 0 dB, která odpovídá přibližně napětí 0 V až 0,7 V na vývodu 08, slouží malá časová konstanta pro rychlou reakci měřicího přístroje při změnách úrovni. Mezi úrovněmi 0 dB až +3 dB (napětí 0,7 V až 1,1 V), nastává uložení vrcholové hodnoty, která se zobrazí při velkém vybuzení. Při úrovni větší než +3 dB (odpovídá napětí většímu než 1,1 V), se rychle vybije člen RC na vývodu 07, čímž se předejde poškození měřicího přístroje indikátoru vybuzení. Budíci výstup přístroje může dodávat stejnosměrný proud 2 mA, takže k obvodu A1818D se může připojit přes sériový rezistor libovolný vhodný měřicí přístroj.

$$A_{uz} = R_{15}/R_{14},$$

při reprodukci vztahem

$$A_{uz} = 1 + (R_{16}/R_{14})$$

Vnitřního řízení zesílení obvodu A1818D se může využívat k zamezení silného kolísání úrovně při záznamu, jež příčinou může být přebuzení magnetofonového pásku nebo malý odstup signálu k šumu. Řídící obvod dodává při provozu „záznam“ poměrně konstantní výstupní napětí v širokém rozsahu vstupních napětí.

Cínnost automatiky vybuzení (ALC) je založena na změně vlastností impedance nasyceného tranzistoru, který pracuje v napěťovém dělící před vstupem předesilovače. Vstupní signál je zeslabí o to více, čím je vodivější tranzistor ALC na vstupu (vývod 05). Zapojení ALC dostává řídicí signál z výstupu předesilovače (vývod 74). Vstup tohoto zapojení na vývodu 04 pracuje jako převodník napětí na proud, který dodává usměrněné napětí proporcionalní signálu pro indikaci úrovně vybuzení. Funkční skupinové zapojení obou funkčních částí je na obr. 72.

Zapojení ALC začíná pracovat při vstupním efektivním napětí na vývodu 04 okolo 45 mV. Nastane-li potřeba posunout bod nasazení směrem k většímu napětí, musí se k vazebnímu kondenzátoru sériově připojit rezistor. Vstupní impedance na vývodu 04 je asi 5 k Ω , se sériovým rezistorem stejným odporem se dosáhne zdvojení napětí bodu regulace.

grovaný obvod nyní pracuje jako záznamový zesilovač. Při přepnutí z provozu „záznam“ na „snímání“ probíhají přesně stejné postupy v obráceném pořadí. Z popsaného postupu můžeme konstatovat, že časové konstanty na vývodech 03 a 06 se musí navzájem překrývat. Kondenzátor ALC na vývodu 06 se musí vybit na napětí 0,7 V dříve, než se přepne předzesilovač. Nabít se může na napětí max. 3,2 V. Doba vybití je proto závislá na vybíjecím proudu a kapacitách podle vztahů

$$t_1 = \frac{C_{ALC} U}{I_1} = C_{ALC} \frac{3,2 - 0,7 \text{ V}}{350 \mu\text{A}} = 72 \text{ ms}$$

za předpokladu, že C_{ALC} má kapacitu $10 \mu F$.

Dobu mezi oběma body přepnutí určuje člen RC na vývodu 03 podle vztahu

$$t_2 = RC \ln \frac{U_{cc}}{0.3U_{cc}} - RC \ln \frac{U_{cc}}{0.5U_{cc}} =$$

$$= 0.51RC.$$

K tomu, aby se zajistilo plné vybití kondenzátoru ALC, musí se splnit podmínka $t_2 > t_1$, takže platí vztah

$$RC > \frac{t_1}{0.51} = 141 \text{ ms.}$$

Bude-li kapacita kondenzátoru $C_1 = 10 \mu\text{F}$, musí se použít rezistor $R \geq 15 \text{ k}\Omega$ ($15 \text{ k}\Omega \leq R \leq 50 \text{ k}\Omega$).

Rezistor, připojený k vývodu 03, musí mít odpor menší než $50\text{ k}\Omega$, čímž se zajistí, že vstupní proud vývodu 03 nevyvolá ofsetové napětí větší než 200 mV . Informativní velikost vstupního proudu vývodu 03 je maximálně $3\text{ }\mu\text{A}$.

Vývodu může být maximálně 3 μ A. Podmínkou velkého zesílení snímacího (reprodukčního) zesilovače je současně potlačení brumového napětí, což se týká především předesilovače. Proto se používá u předesilovače zemnicí vedení, jímž se zmenší rušivé napětí způsobované zemnicími proudy. Vnitřní napěťový regulační dodává stabilizované napětí 2,8 V, které je přístupné přes rezistor 200 Ω na vývodu 20. K tomuto vývodu se může připojit přídavný vyhlažovací elektrolytický kondenzátor s typickou kapacitou asi 1 μ F. Jako zdroj referenčního napětí slouží zdroj typu band-gap, který mimoto přispívá k velké teplotní stabilitě referenčního zdroje.

Elektrické údaje integrovaného obvodu A1818D jsou uvedeny v tabulce. Uvedená data platí v zapojení podle obr. 73, v němž je zisk obou předzesilovačů pevně nastaven na 40 dB, zisk monitorovacího a záznamového zesilovače na 20 dB. Zisk jednotlivých zesilovačů je dán vztahy snímací zesilovač

$$A_{uR} = 1 + \frac{R_3}{B_1} = 40 \text{ dB},$$

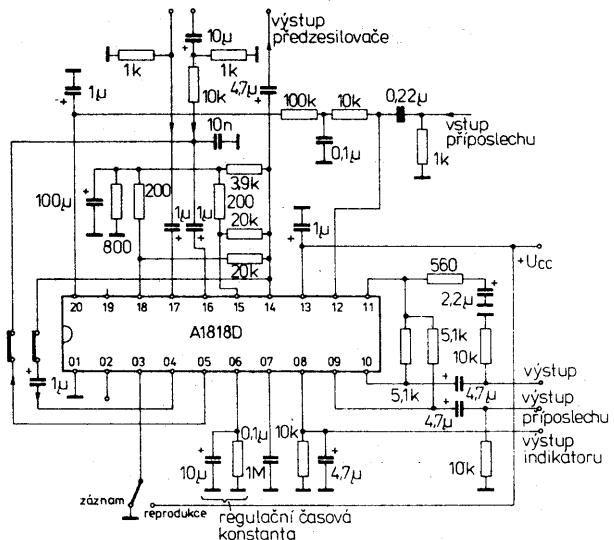
záznamový zesilovač

$$A_{uZ} = 1 + \frac{R_5}{R_4} = 40 \text{ dB},$$

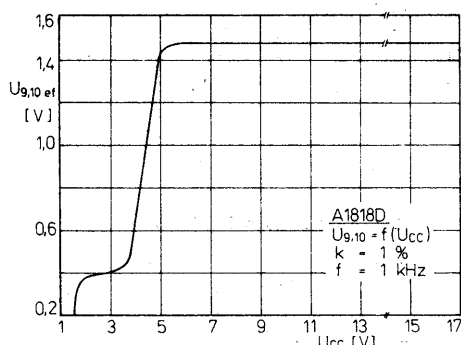
monitorovací zesilovač

$$A_{uM} = 1 + \frac{R_7}{R_6} = 1 + \frac{R_8}{R_6} = 20 \text{ dB}$$

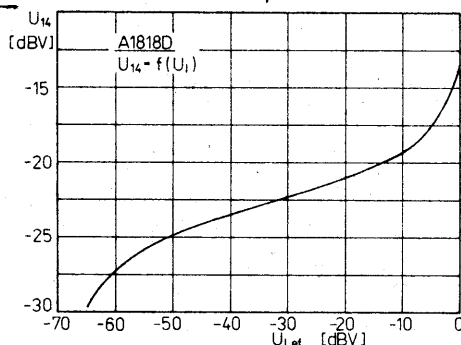
Šumové vlastnosti integrovaného obvodu A1818D se měří ve speciálním zapojení podle obr. 74, které platí pro provoz



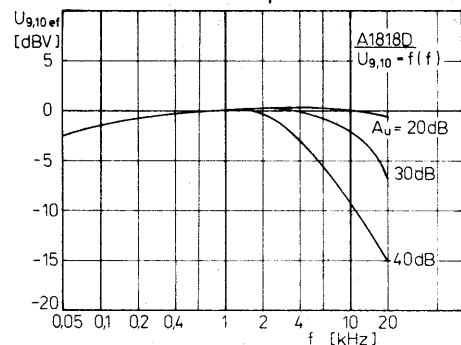
Obr. 73. Měřicí zapojení obvodu A1818D



Obr. 75. Schopnost vybuzení monitorovacího, popř. záznamového zesilovače obvodu A1818D v závislosti na napájecím napětí



Obr. 76. Typická regulační charakteristika obvodu A1818D — závislost výstupního napětí vývodu U_{14} na vstupním napětí



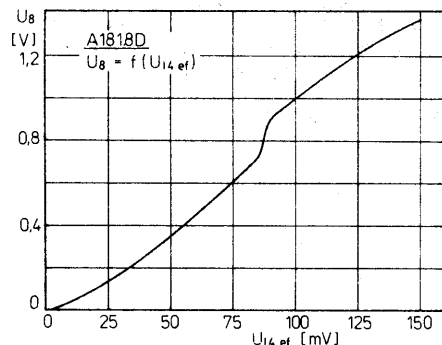
Obr. 77. Závislost výstupního napětí obvodu A1818D na přenášeném kmitočtu pro konstantní zisk 20 dB, 30 dB, 40 dB

„snímání“ s pevně určeným průběhem kmitočtové charakteristiky konstantami $\tau_1 = 3180 \mu\text{s}$ a $\tau_2 = 120 \mu\text{s}$. Použitý materiál pásku je Fe_2O_3 . V provozu „záznam“ se nastaví lineární kmitočtová charakteristika.

Monitorovací, popř. záznamový zesilovač je zapojen s lineárním průběhem charakteristiky. S použitým přídavným zesilovačem se ziskem 40 dB se může ekvivalentní vstupní šumové napětí určovat přímo z naměřeného napětí (naměřené napětí = U_r , $10\ 000$).

Některé typické závislosti obvodů A1818D jsou uvedeny na dalších obrázcích. Schopnost vybuzení monitorovacího popř. záznamového zesilovače v závislosti na použitém napájecím napětí je na obr. 75. Průběh platí pro měření signálem o kmitočtu 1 kHz, konstantní zkreslení 1 %. Na obr. 76 je regulační charakteristika – závislost výstupního napětí vývodu 14 na vstupním napětí

Další důležitá grafická závislost na obr. 77 ukazuje průběh výstupního napětí jako funkce přenášeného kmitočtu. Pro zisk 20 dB křivka výstupního napětí mírně stoupá až do kmitočtu 4 kHz, kdy do 20 kHz velmi mírně klesá. Při zisku 30 dB je začátek křivky stejný jako při zisku 20 dB, pokles výstupního napětí začíná však dříve na 4 kHz, na 20 kHz dosahuje pokles již -6 dB. Podstatně prudší pokles výstupního napětí je při zisku 40 dB, kdy se iž od 2 kHz začíná napětí dosti prudce

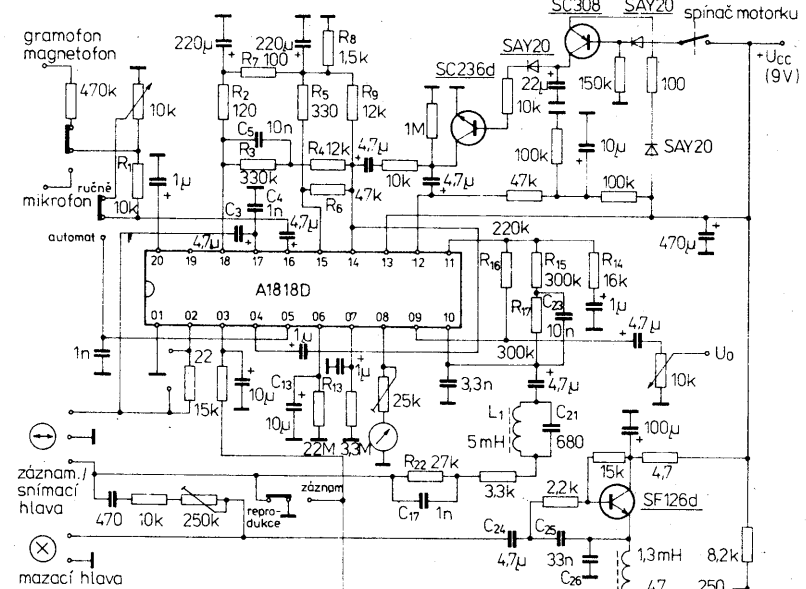


Obr. 78. Závislost stejnosměrného výstupního napětí vývodu U_8 pro připojení indikátoru vybuzení v závislosti na vstupním napětí

zmenšovat. Na 10 kHz je již pokles napětí -9 dB, na 20 kHz pokles dosahuje -15 dB.

Průběh závislosti stejnosměrného výstupního napětí U_8 pro indikátor vybuzení je na obr. 78. Při vstupním napětí 75 mV je výstupní napětí 0,6 V, při 150 mV výstupní napětí 1,35 V. Tato napětí vyhovují pro pripojení běžných ručkových indikátorů, ale též indikátorů optoelektronických.

Základní zapojení integrovaného obvodu A1818D v monofonním kazetovém magnetofonu je na obr. 79. Při provozu snímání přichází nízkonapěťový signál ze snímací



Obr. 79. Typické zapojení obvodu A1818D ve monofonním kazetovém magnetofonu

Tab. 18. Elektrické údaje A1818D

| Mezní údaje | |
|---|--|
| Napájecí napětí: | $U_{CC} = 0 \text{ až } 18 \text{ V}$. |
| Stejnosměrné napětí na vývodu 02: | $U_2 = 0 \text{ až } 0,1 \text{ V}$. |
| Stejnosměrné napětí na vývodu 05: | $U_5 = 0 \text{ až } 0,1 \text{ V}$. |
| Výstupní proud — vývod 14: | $I_{14} = 0 \text{ až } 5 \text{ mA}$. |
| Výstupní proud zobrazovače — — vývod 08: | $-I_8 = 0 \text{ až } 3 \text{ mA}$. |
| Ztrátový výkon: | $P_{tot} \leq 650 \text{ mW}$. |
| Přepínací napětí záznamu/snímání: | $U_3 = 0 \text{ až } U_{CC}$. |
| Doporučené provozní podmínky | |
| Napájecí napětí: | $U_{CC} = 3,5 \text{ až } 18 \text{ V}$. |
| Napětí pro provoz snímání: | $U_3 = 0,7U_{CC} \text{ až } U_{CC}$. |
| Napětí pro provoz záznamu: | $U_3 = 0 \text{ až } 0,3U_{CC}$. |
| Rozsah provozních teplot okolí: | $\theta_a = 0 \text{ až } +70^\circ\text{C}$. |
| Charakteristické údaje A1818D | |
| Platí při $U_{CC} = 6 \text{ V}$, $\theta_a = 25^\circ\text{C}$ — 5 K , není-li uvedeno jinak. | |
| Napájecí proud v klidu $U_3 = U_{CC}$: | $I_{CC} \leq 12 \text{ mA}$. |
| Výstupní napětí předzesilovače vývod 14 $U_{17} = 5 \text{ mV}$, $U_3 = U_{CC}$: $U_{16} = 5 \text{ mV}$, $U_3 = 0$: | $U_{14} = 400 \text{ až } 700 \text{ mV}$, $U_{14} = 400 \text{ až } 700 \text{ mV}$. |
| Zkreslení mikrofonního zesilovače $U_{17} = 5 \text{ mV}$, $U_3 = U_{CC}$, $f = 1 \text{ kHz}$: $U_{16} = 5 \text{ mV}$, $U_3 = 0$, $f = 1 \text{ kHz}$: $U_{14} = 100 \text{ mV}$, $U_3 = U_{CC}$, $f = 1 \text{ kHz}$: $U_{14} = 100 \text{ mV}$, $U_3 = 0$, $f = 1 \text{ kHz}$: | $k \leq 1,5 \%$, $k \leq 1,5 \%$, $k = 0,09 \%$, $k = 0,09 \%$. |
| Výstupní napětí monitorovacího zesilovače — vývod 09, při snímání $U_{12} = 100 \text{ mV}$, $U_3 = U_{CC}$: | $U_{9_ef} = 0,8 \text{ až } 1,2 \text{ V}$. |
| Zkreslení monitorovacího zesilovače při snímání $U_{12} = 100 \text{ mV}$, $U_3 = U_{CC}$, $f = 1 \text{ kHz}$, $U_9 = 1000 \text{ mV}$: | $k \leq 0,5 \%$. |
| Výstupní napětí monitorovacího zesilovače — vývod 10 při záznamu $U_{12} = 100 \text{ mV}$, $U_3 = 0$: | $U_{10_ef} = 0,8 \text{ až } 1,2 \text{ V}$. |
| Zkreslení monitorovacího zesilovače při záznamu $U_{12} = 100 \text{ mV}$, $U_3 = 0$, $f = 1 \text{ kHz}$, $U_{10} = 1000 \text{ mV}$: | $k \leq 0,5 \%$. |

hlavy přes kondenzátor C_3 do snímacího zesilovače. Kondenzátor C_4 společně s indukčností snímací hlavy zvětšuje napětí na vysokých kmitočtech, čímž se vyrovnaní ztráty ve snímací hlavě.

Kmitočtový průběh se upravuje ve zpětnovazební odbočce snímacího zesilovače. Nejčastěji používaný magnetofonový pásek z materiálu Fe_2O_3 vyžaduje nastavit časovou konstantu R_{3,C_5} na $3180 \mu\text{s}$, člen R_4,C_5 na $120 \mu\text{s}$. Zesílený signál je vydán na vývod 14, prochází přepínatelným napěťovým děličem, složeným z rezistoru $10 \text{ k}\Omega$ a cesty kolektor-emitor tranzistoru. Uvedeným zapojením se může realizovat automatika zesílení, která je řízena ze spínače motorku pro pohon pásku a aktívuje se při každém přepnutí. Nf signál se pak přivádí přes kondenzátor na vstup monitorovacího zesilovače, kde se zesílí lineárně a je pak k dispozici na vývodu 09.

V provozu „záznam“ je spojen vývod 03 rezistorem $15 \text{ k}\Omega$ se zemním potenciálem, vývod 02 svádí jeden vývod hlavy rovněž k zemi a přejímá záznamový proud. Záznamový signál prochází přes regulátor úrovně (buď rušení nebo automatický) do lineárně zesilujícího záznamového zesilovače, pak je rovněž veden přes automatiku zesílení do záznamového zesilovače. V zesilovači se ve zpětnovazební odbočce upraví hloubky korekčním členem R_{15}, C_{23} ($r_1 = 3180 \mu\text{s}$). Výsky se upravují výlučně v přizpůsobovacím členu hlavy součástkami R_{21}, R_{22} a C_{17} .

Člen L_1, C_{21} tvoří blokovací obvod pro predmagnetizační signál. Oscilátor maza-

| | |
|--|--|
| Řízení ALC monitorovacího zesilovače vývod 14, při záznamu $U_{11} = 3 \text{ mV}$, $U_3 = 0$: $U_{12} = 3 \text{ mV} + 30 \text{ dB}$, $U_3 = 0$: | $U_{14_ef} = 57,5 \text{ mV}$, $U_{14_ef} \leq 7,2 \text{ mV}$. |
| Zkreslení monitorovacího zesilovače při záznamu $U_1 = 3 \text{ mV} + 30 \text{ dB}$ s ALC, $U_3 = 0$: | $k = 0,37 \%$. |
| Napětí indikátoru vybuzení $U_4 = 100 \text{ mV}$, $U_3 = 0$, $f = 1 \text{ kHz}$: | $U_8 \geq 600 \text{ mV}$. |
| Kontrola výstupních signálů při odpojených zesilovačích monitorovacího zesilovače — vývod 09 $U_{12} = 100 \text{ mV}$, $U_3 = 0$, $f = 1 \text{ kHz}$: | $U_9 \leq 300 \text{ mV}$. |
| Napětí monitorovacího zesilovače vývod 10 $U_{12} = 100 \text{ mV}$, $U_3 = U_{CC}$, $f = 1 \text{ kHz}$: | $U_{10} \leq 300 \text{ mV}$. |
| Kontrola výstupních signálů při odpojeném zesilovači $U_{16} = 5 \text{ mV}$, $U_3 = 0$, $f = 1 \text{ kHz}$: | $U_{14} \leq 10 \text{ mV}$. |
| Výstupní napětí záznamového zesilovače $U_{17} = 5 \text{ mV}$, $U_3 = U_{CC}$, $f = 1 \text{ kHz}$: | $U_{14} \leq 10 \text{ mV}$. |
| Šumové napětí (vztaženo na vstup) při provozu snímání $A_u = 40 \text{ dB}$ při $f = 400 \text{ Hz}$, pásmový filtr $22 \text{ Hz} \text{ až } 22 \text{ kHz}$: | $U_{IN} \leq 1,4 \text{ }\mu\text{V}$. |
| Referenční napětí: Vstupní proud: | $U_{20} = 2,89 \text{ V}$. |
| Vstupní odpor vývod 04, $U_{114} = 100 \text{ mV}$: | $I_{112} = 0,64 \text{ }\mu\text{A}$. |
| vývod 16, $U_{114} = 100 \text{ mV}$: | $R_{14} = 5,3 \text{ k}\Omega$, |
| vývod 17, $U_{117} = 100 \text{ mV}$: | $R_{116} = 45 \text{ k}\Omega$, |
| Doba regulace pro skok -20 dB $U_{14} = 100 \text{ mV}$, $U_3 = 0$, $R = 1 \text{ M}\Omega$, $C = 10 \text{ }\mu\text{F}$, $f = 10 \text{ kHz}$: | $t_r = 2,25 \text{ s}$. |
| Doba regulace pro skok $+20 \text{ dB}$ $U_3 = 0$, $R = 1 \text{ M}\Omega$, $C = 10 \text{ }\mu\text{F}$, $f = 10 \text{ kHz}$: | $t_s = 11,5 \text{ ms}$. |
| Bod nasazení ALC $\Delta U_0/\Delta U_1 = 2 \text{ dB}/10 \text{ dB}$: | $U_{14} = 45 \text{ mV}$. |
| Rozsah ALC $U_{14} = 8 \text{ dB}$: | $U_1 = 52 \text{ dB}$. |

cího signálu je ve tříbodovém zapojení s kapacitním napěťovým děličem (Clappův oscilátor). Použitý křemíkový tranzistor n-p-n, SF126D, se zesilovacím činitelem 110 až 280 pracuje v kolektovém zapojení. Laděný obvod složený z indukčnosti mazací hlavy a kondenzátorů C_{24}, C_{25} a C_{26} je volně navázán cestou báze-emitor. Tímto způsobem je dosaženo velké kmitočtové stability. Předmagnetizační proud se přivádí do odbočky záznamového proudu kapacitně přes proměnný rezistor. Vybuzení je indikováno nastavitelným rezistorem, takže pro indikaci vybuzení je možné používat nejrůznější měřidla.

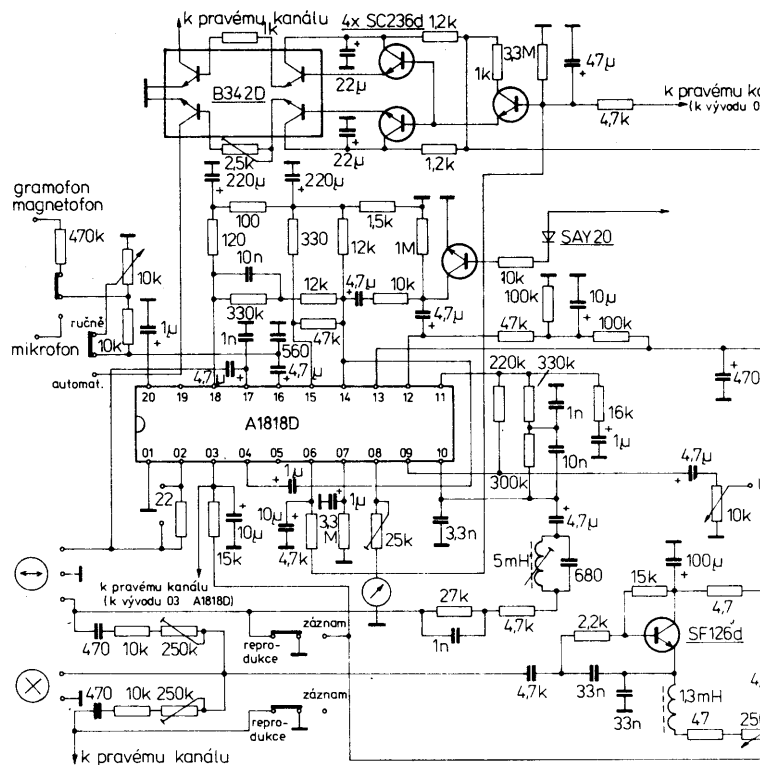
Zapojení na obr. 80 ukazuje příklad zapojení obvodu A1818D ve stereofonním provozu. Podle potřeb konstruktérů se může uvedené zapojení vhodně upravit. Využití všech funkčních skupin bez přídavných vnějších součástek není v tomto případě v podstatě možné. Týká se to především indikace vybuzení a automatické regulace úrovně. Pro stereofonní provoz se musí použít dva integrované obvody A1818D. Signál pro automatické řízení úrovně se přivádí z výstupu předzesilovače (vývod 14) přes kondenzátor na vývod 04, odebírá se z vývodu 06 a přes rezistory se sčítá na kondenzátoru ALC. Sečtená napětí se zapojením dále zpracovávají a slouží stejnou mírou oběma stereofonním kanálům k řízení úrovně, obvykle pomocí kondenzátoru ACL (vývod 05). Z ručního na automatické řízení se obvod přepíná přepínačem P_{r3} .

Signál pro automatické řízení úrovně a indikaci vybuzení se může získávat rovněž ze záznamového zesilovače (vývod 10) přes příslušné navržený předzájemný rezistor. Má to ovšem nevýhodu, že při provozu „snímání“ nelze indikovat vybuzení bez dalších přídavných vnějších součástek. Zbyvající součástky popsaného zapojení jsou shodné se zapojením na obr. 79 monofonního magnetofonu.

Zdůraznění výšek v odbočce záznamu se rozděluje na přizpůsobovací obvod hlavy a zpětnovazební odbočku záznamového zesilovače, kde je rovněž pevně stanovena hranice kmitočtu 12 kHz .

Casová konstanta korekce záznamového a snímacího zkreslení se pro jiné používané druhy magnetického pásku, jako např. CrO₂, přizpůsobuje přepnutím příslušného přizpůsobovacího obvodu. Potřebná je rovněž změna rozkmitu mazacího signálu a tím i předmagnetizace. K přepínání mezi záznamem a snímáním se používají dva spřažené jednopólové přepínače. Jedním z nich se ovládají navzájem spojené vývody 03. Přes snímací kontakt z pohonné jednotky lze realizovat automatiku zesílení působící na oba kanály.

V popisu funkce obvodu A1818D uvedené pevné časové konstanty časových členů na vývodech 03 a 06 se musejí bezpodmínečně dodržet při návrhu přepínače záznam/snímání. Jinak vznikají jisté problémy, je-li trvale zapojena ALC. Při přepnutí z provozu „snímání“ na provoz



Obr. 80. Typické zapojení obvodu A1818D ve stereofonním kazetovém magnetofonu

„záznam“ se v tomto případě plně aktivuje automatické řízení úrovně a to skokovým napětím na vývodu 14 a integrovaný obvod A1818D nebude nadále řízen. Následná doba, kdy opět regulace začne působit, je až 2 minuty. K zamezení tohoto jevu se používá mimo zvětšení kapacity kondenzátoru na vývodu 03 ještě přídavné zapojení na vývodu 06 během přepínání na zemní potenciál.

Ačkoli integrovaný obvod A1818D je speciálně určen pro použití v kazetových magnetofonech, je jej možno používat v celé řadě dalších zapojení, v nichž se ovšem nevyužívá všechno jeho funkcí. Tak např. čtyři integrované zesilovače A1818D, z nichž oba předzesilovače mají zvlášť malý šum, se mohou používat pro speciální zesilovače s malým šumem. Na obr. 81 je příklad zapojení monofonního zesilovače s řízením hlasitosti a barvy tónu. Vnější součástky pro úpravu a řízení barvy tónu se zapojují do zpětnovazební větve výstupního zesilovače. Předzesilovač se používá k přizpůsobení úrovně zisku (okolo 15 dB), což zaručuje dobrý poměr signál k šumu. Hlasitost se řídí pasivně na výstupu potenciometrem s logaritmickým průběhem. Dosažené technické vlastnosti jsou uvedeny v tab. 20.

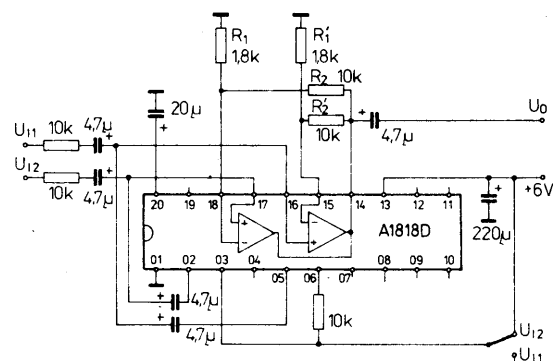
Na obr. 82 je zapojení přepínače zdroje signálů s obvodem A1818D. Signál se přepíná z jednoho z obou vstupů na výstup. Z obvodu se využívají pouze oba předzesilovače se ziskem 15 dB (menší zisk způsobuje malou stabilitu zesilovače, větší zmenšuje vstupní napětí). Přidavná funkce ALC a přepínání hlasiv na vývodu 02 se využívá ke zlepšení přeslechového útlumu.

Jiný zajímavý způsob využití obvodu A1818D je na obr. 83. Dva integrované obvody pracují jako korekční zesilovače pro ořezání charakteristiky pro magnetické snímání ve stereofonním provozu. Korekce zkreslení kmitočtového průběhu je rozdělena na předzesilovač a následný zesilovač tak, že se získá optimální odstup cizích napětí. Použije-li se toto zapojení s uvedenými hodnotami součástek, dosáhne se časové konstanty τ_1 , τ_2 a τ_3 podle normovaného jmenovitého kmitočtového průběhu korekce zkreslení. Vstupní odpor předzesilovače A1818D je asi 45 až 48 k Ω . Dosažené technické vlastnosti popsaného zapojení jsou v tab. 21.

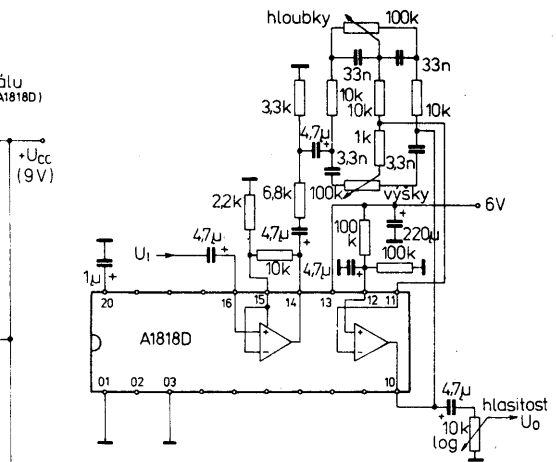
Popsaných vlastností zajímavého integrovaného obvodu A1818D lze velmi úspěšně využívat při konstrukci přenosných monofonních kazetových magnetofonů, ale i diktafonů, popříp. k zesilování a úpravě nízkofrekvenčních signálů z jiných zvukových zdrojů.

Nakonec ještě několik doporučení pro konstruktry:

Zemnicí vedení musí mít co nejmenší odpor a musí být realizováno tak, aby nenastala jakákoli vazba mezi výstupy a vstupem. Neinvertující vstup (vývod 12) snímacího a monitorovacího zesilovače se musí připojit přes délič z rezistorů na napětí $U_{CC}/2$, příp. se musí spojit přes



Obr. 81. Regulační zapojení k řízení hlasitosti a barvy tónu pomocí obvodu A1818D



Obr. 82. Zapojení přepínače zdroje signálů s obvodem A1818D

Tab. 19. Typické technické údaje zesilovače podle obr. 81

Platí při $U_{CC} = 6$ V, $f = 1$ kHz

| | |
|---|--------------------------|
| Spotřeba proudu: | $I_{CC} = 5$ mA. |
| Vstupní napětí: | $U_I \leq 220$ mV. |
| Výstupní napětí: | $U_O = 350$ mV. |
| Výstupní napětí maximální při plném zdůraznění výšek: | $U_{O \max} \leq 1,6$ V. |
| Zkreslení: | $k = 0,06\%$. |
| Rozsah regulace tónů při 100 Hz a 10 kHz: | ±12 dB. |
| Odstup cizího napětí | $U_I = 220$ mV: |
| | (S+N)/N = 84 dB. |

Tab. 20. Typické technické údaje přepínače zdroje signálů podle obr. 82

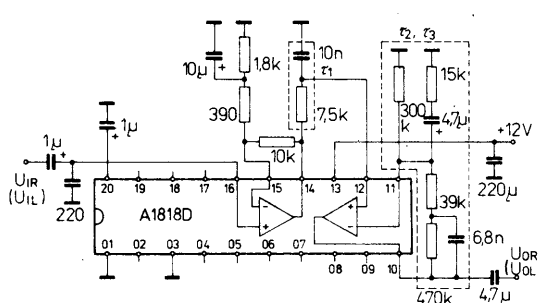
Platí při $U_{CC} = 6$ V

| | |
|--|-----------------------------------|
| Vstupní napětí maximální: | $U_{I \max} = 250$ mV. |
| Výstupní napětí: | $U_O = 1,4$ V. |
| Zkreslení: | $K = 0,06\%$. |
| Cizí výstupní napětí | |
| $R_g = 5,1$ k Ω , $B = 15$ kHz: | $U_{ro \text{ ef}} = 13$ μ V. |
| otevřený vstup, $B = 15$ kHz: | $U_{ro \text{ ef}} = 28$ μ V. |
| Přeslechový útlum | |
| $R_g = 5,1$ k Ω , $f = 1$ kHz: | $a_p = 97$ dB. |

fonů, ale i diktafonů, popříp. k zesilování a úpravě nízkofrekvenčních signálů z jiných zvukových zdrojů.

Nakonec ještě několik doporučení pro konstruktory:

Zemnicí vedení musí mít co nejmenší odpor a musí být realizováno tak, aby nenastala jakákoli vazba mezi výstupy a vstupem. Neinvertující vstup (vývod 12) snímacího a monitorovacího zesilovače se musí připojit přes délič z rezistorů na napětí $U_{CC}/2$, příp. se musí spojit přes



Obr. 83. Zapojení korekčního zesilovače s obvodem A1818D pro ořezání kmitočtové charakteristiky. Dvěma stejnými zesilovači se může zpracovávat a upravovat stereofonní signál

Tab. 21. Typické technické údaje korekčního zapojení podle obr. 83

| | |
|---|---------------------------------|
| Napájecí napětí: | $U_{CC} = 12 \text{ V}$ |
| Spotřeba proudu: | $I_{CC} = 11 \text{ mA}$ |
| Vstupní napětí maximální efektivní: | $U_{I_{max}} \leq 8 \text{ mV}$ |
| Zkreslení: | |
| $U_{I_{max}}, f = 1 \text{ kHz}$: | $k = 0,02 \%$ |
| Odstup cizího napětí | |
| $B = 15 \text{ kHz}, R_g = 0$, vztaheno k $U_I = 1 \text{ mV}$: | $(S+N)/N = 63 \text{ dB}$ |
| Zesílení | |
| $f = 1 \text{ kHz}$: | $A_u = 40 \text{ dB}$ |
| Přeslechový útlum | |
| $f = 1 \text{ kHz}$: | $A_p = 78 \text{ dB}$ |

rezistor s vnitřním referenčním napětím na vývodu 20. Zpětná vazba snímacího a monitorového zesilovače má mít co nejmenší impedanci, čímž se zabrání posunu výstupního pracovního bodu, který ovlivňuje vstupní proudy.

Zisk záznamového a monitorového zesilovače může být větší než 30 dB. Při menším zisku nastává zřetelný pokles zesílení při kmitočtech vyšších než 10 kHz. Z důvodu stabilního provozu musí být zesílení předesilovačů větší než 5, popříp. větší než 3 u záznamového a monitorovacího zesilovače. Kondenzátor na vývodu 20 určuje potlačení bručivého napětí předesilovačů. Z důvodu prodloužení doby zapínání nemá být jeho kapacita podstatně větší než 1 μF . Obvod zpětné vazby předesilovače určuje mimo střídavé zesílení též úroveň stejnospěrného výstupního napětí předesilovačů, proto se musí volit účelně tak, aby se dodržel co nejmenší posuv pracovního bodu při přepínání druhu provozu.

Kondenzátor ALC na vývodu 06 se musí použít i tehdy, nepoužívá-li se ALC. Připojujovací vedení záznamové/snímací hlavy se musí dobře odstínit.

Jestliže se zdůrazní výšky při provozu pomocí zpětné vazby v záznamovém zesilovači, musí se přihlížet ke schopnosti vybuzení tohoto zesilovače. Impedance člena RC na vývodu 03 nemá být větší než 50 k Ω . Tím se předejdete ofsetovému napětí většímu než 200 mV, které je vyvoláno protékajícím vstupním proudem. Signál přiváděný na vývod 04 se musí od zdroje oddělit galvanicky pomocí kondenzátoru. Proudovou zatížitelnost výstupů 09 a 10 je možno zvětšit pomocí vnějšího rezistoru (pull-up).

Protože ALC spočívá ve změnách vlastnosti impedance nasyceného tranzistoru, musí se používat sériový předřadný rezistor ve vývodu 16. K dosažení optimální regulační charakteristiky může být jeho odpor asi 10 k Ω . ALC se zapojí, připojí-li se mezi vývody 05 a 16 kondenzátor.

Vstupní impedance vývodu 04 je asi 5 k Ω , se sériovým rezistorem stejněho odporu se bod nasazení regulace posune asi o 6 dB směrem nahoru. Vstupní napětí na vývodu 04 má být z důvodu optimálního vybuzení pro úroveň záznamu 0 dB asi 0,1 mV (efektivní hodnota).

Konstruktér se musí důsledně ředit při používání popsaného integrovaného obvodu výše uvedenými doporučeními. Protože obvod je funkčně složitý, musí se rovněž deska s plošnými spoji navrhovat zvláště pečlivě.

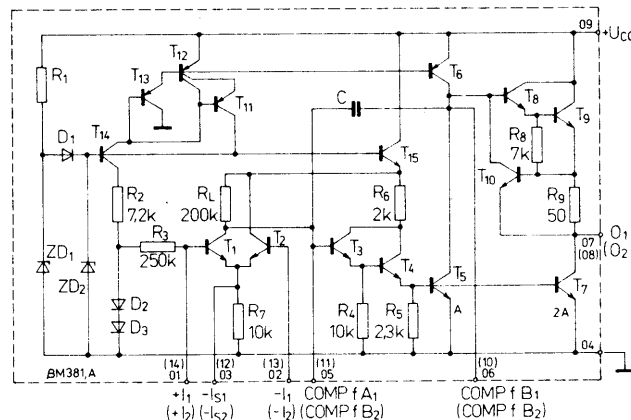
Integrovaný obvod A181D je analogem integrovaného obvodu typu LM181N firmy National Semiconductor, od něhož se podstatně neliší. Zapojení vývodů součástek obou výrobčů jsou stejná, rovněž tak použité plastové pouzdro.

Dvojitý nízkofrekvenční předzesilovač $\beta M381$, $\beta M381A$

Rumunský podnik I.P.R.S v Baneasa vyrábí velmi užitečný bipolární dvojitý nízkofrekvenční předzesilovač, určený pro použití v zesilovačích, pracujících s malou úrovni signálu, u nichž se vyžadují co nejlepší vlastnosti, a to především minimální šum.

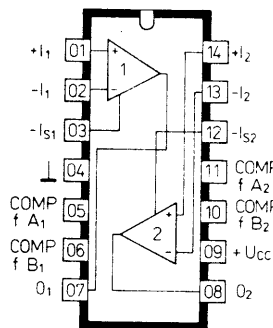
Každý z obou zesilovacích systémů na společném čipu je zcela nezávislý. Výrobce zaručuje oddělení kanálů 60 dB. Zesilovače jsou vybaveny regulátorem „protivazby“ vůči napájecímu zdroji, kterým se zajišťuje potlačení vlivu napájecího napětí 120 dB. Vstupní stupeň obou zesilovačů tvoří rozdílové zesilovače, kterým je vlastní rozdílový vstup a jednostranně vyvedené spojené emity obou tranzistorů rozdílového zesilovače. Oba zesilovací systémy jsou vnitřně kompenzovány. Pro některá speciální použití, jako jsou úzkopásmové zesilovací obvody, je možné zavést přídavnou vnější kmitočtovou kompenzaci. Vnitřní elektrické zapojení poloviny integrovaného obvodu $\beta M381$, $\beta M381A$ je na obr. 84.

Obr. 84. Vnitřní elektrické zapojení poloviny obvodu $\beta M381$, $\beta M381A$

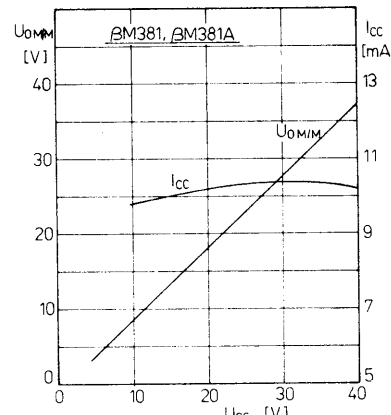


Integrované obvody jsou v plastovém pouzdří DIL-14 s mezinárodním označením TO-116 s 2x sedmi vývody ve dvou řadách. Vzdálenost vývodů mezi sebou je 2,54 mm, vzdálenost řad vývodů je 7,62 mm. Zapojení vývodů je na obr. 85. Funkce vývodů: $+I_1$, $-I_1$, $+I_2$, $-I_2$ — invertující vstup systému 1, 2; $-I_1$, $-I_2$ — invertující vývod spojených emitorů systému 1, 2; COMP f A₁, COMP f B₁ — vnější přídavná kmitočtová kompenzace systému 1; COMP f A₂, COMP f B₂ — vnější přídavná kmitočtová kompenzace systému 1; O₁, O₂ — výstup systému 1, 2.

Uplné elektrické údaje obvodů $\beta M381$, $\beta M381A$ jsou v tab. 22. Oba typy součástek jsou elektricky zcela



Obr. 85. Zapojení vývodů $\beta M381$, $\beta M381A$

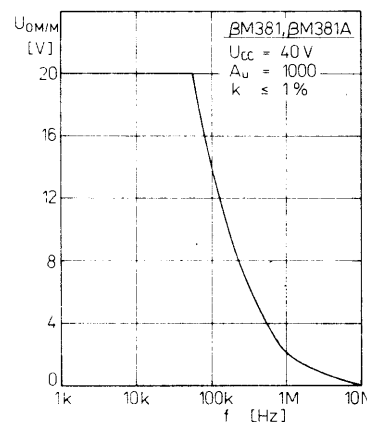


Obr. 86. Závislost rozkmitu výstupního napětí a napájecího proudu jednoho systému $\beta M381$, $\beta M381A$ na napájecím napětí

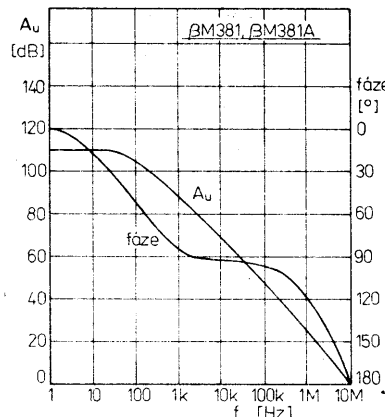
shodné s výjimkou ekvivalentního výstupního šumového efektivního napětí, které je zaručováno u $\beta M381A$ max. 0,7 μV , u $\beta M381$ max. 1,0 μV . Obě součástky mají s ohledem na malý šum

a velké napěťové zesílení vynikající vlastnosti.

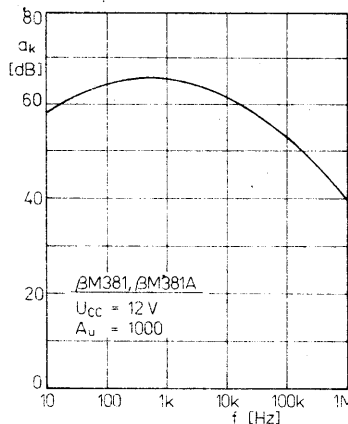
Integrované zesilovače $\beta M381$, $\beta M381A$ se napájejí napětím $U_{CC} = 9$ až 40 V. Vyznačují se velkým rozkmitem výstupního napětí, které může dosahovat mezikvartolově až $U_{CC} = 2 \text{ V}$. Při rozkmitu výstupního napětí 20 V a napájecím napětí 24 V je výkonová šířka přenášeného pásmá 75 kHz. Šířka pás-



Obr. 87. Závislost rozkmitu výstupního napětí při zesílení 1000 na pracovním kmitočtu obvodů $\beta M381$, $\beta M381A$

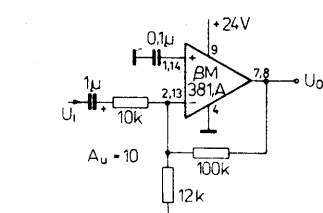


Obr. 88. Napěťový zisk a natočení fáze βM381, βM381A v závislosti na pracovním kmitočtu

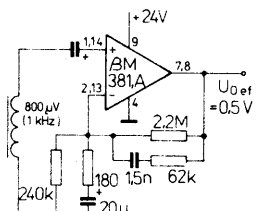


Obr. 89. Oddělení kanálů βM381, βM381A v závislosti na pracovním kmitočtu při zesílení 1000

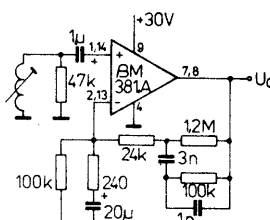
ma při jednotkovém zesílení zesílovače je typicky 15 MHz. Z hlediska spolehlivosti provozu jsou výstupy zesílovačů chráněny před zkratekem. Napájecí proud zesílovače, který je uváděn typicky 10 mA, se mění se změnou napájecího napětí velmi nepatrně — změna je až asi 0,4 mA.



Obr. 90. Typické zapojení βM381, βM381A v nf zesílovači napětí s extrémně malým šumem a zesílením 10



Obr. 91. Typické zapojení vstupního snímacího zesílovače s βM381, βM381A v magnetofonech



Obr. 92. Typické zapojení vstupního zesílovače s βM381, βM381A v gramofonech s magnetickou přenoskou

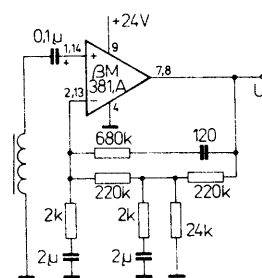
Závislost vzájemného oddělení obou kanálů integrovaného obvodu na přenášeném kmitočtu je na obr. 89.

Doporučená zapojení

Zapojení typického nízkofrekvenčního zesílovače s extrémně malým zkreslením (max. 0,05 %) s obvody βM381, βM381A je na obr. 90. Při napájecím napětí 24 V a zesílení 10 může odevzdat zesílovač výstupní efektivní napětí 3 V.

Popsané dvojité zesílovače byly navrženy pro použití především ve snímačích zesílovačích cívkových magnetofonů třídy hifi. Typické zapojení snímacího zesílovače s korekčním obvodem je na obr. 91. Na obr. 92 je další zapojení dvoupólového snímacího rychlého předesílovače s korekcí NAB pro cívkové i kazetové magnetofony.

Mimo popsaná zapojení se mohou obvody použít rovněž v předesílovačích stupních gramofonů hifi s magnetickou přenoskou, typické zapojení je na obr. 93.



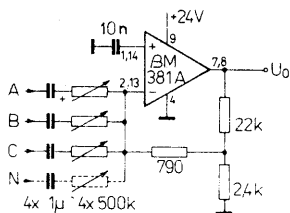
Obr. 93. Zapojení dvoupólového rychlého snímacího předesílovače βM381, βM381A s korekcí typu NAB v magnetofonech hifi

Velmi malý šum lze považovat při návrhu nízkofrekvenčních směšovacích zapojení za podstatnou přednost. Na obr. 94 je typické zapojení směšovače nízkofrekvenčních signálů se třemi nebo více kanály. Signály z jednotlivých kanálů se přivádějí na vstup zesílovače přes vstupní potenciometry. Na jejich

Tab. 22. Elektrické údaje βM381, βM381A

| Mezní údaje: | |
|--|------------------------------------|
| Napájecí napětí: | $U_{CC} \leq 40$ V. |
| Ztrátový výkon celkový: | $P_{tot} \leq 500$ mW. |
| Teplohmota přechodu: | $\theta_J \leq 125$ °C. |
| Rozsah provozních teplot okolí: | $\theta_a = -25$ až $+70$ °C. |
| Rozsah skladovacích teplot: | $\theta_{stg} = -25$ až $+125$ °C. |
| Teplotní odpor přechod — okolí: | $R_{thja} = 200$ K/W. |
| Charakteristické údaje | |
| Plati při $\theta_a = 25$ °C, $+U_{CC} = 14$ V, není-li uvedeno jinak. | |
| Napěťový zisk otevřené smyčky diferenciální vstup, $f = 100$ Hz: | $A_u = 160\ 000$ V/V, |
| jednoduchý vstup, $f = 100$ Hz: | $A_u = 320\ 000$ V/V. |
| Napájecí proud obvodu | |
| $U_{CC} = 9$ V až 40 V, $R_L = \infty$: | $I_{CC} = 10$ mA. |
| Vstupní odpor — kladný vstup: | $R_{I+} = 100$ kΩ. |
| Vstupní odpor — záporný vstup βM381: | $R_{I-} = 200$ kΩ, |
| βM381A: | $R_{I-} = 100$ kΩ. |
| Vstupní proud — záporný vstup: | $I_I = 0,5$ μA. |
| Výstupní odpor (otevřená smyčka): | $R_O = 150$ Ω. |

| | |
|--|--|
| Výstupní proud ze zdroje: zmenšený: | $I_O = 8$ mA, $I_O = 2$ mA. |
| Rozkmit výstupního napětí: | $U_{OM/M} = U_{CC} - 2$ V. |
| Šířka přenášeného pásma ($A_u = 1$): | $f_1 = 15$ MHz. |
| Výkonová šířka pásma $U_{CC} = 24$ V, $U_{OM/M} = 20$ V: | $f = 75$ kHz. |
| Vstupní napětí efektivní, maximální, lineární provoz: | $U_{Ieff} \leq 300$ mV. |
| Potlačení vlivu napájecího napětí, $f = 1$ kHz: | SVR = 120 dB. |
| Oddělení kanálů, $f = 1$ kHz: | $a_k = 60$ dB. |
| Celkové zkreslení harmonickými, $f = 1$ kHz, $A_u = 60$ dB: | $k = 0,1$ %. |
| Celkový ekvivalentní šum, efektivní vstupní napětí $R_S = 600$ Ω, $f = 10$ Hz až 10 kHz, $A_u = 1000$ | |
| βM381A: βM381: | $U_{Ieff} = 0,5; \leq 1$ μV, $U_{Ieff} = 0,5; \leq 0,7$ μV. |



Obr. 94. Zapojení nízkofrekvenčního směšovače zvuku s BM381, BM381A

provedení a kvalitě však závisí vlastní šumové podmínky zesilovače.

Integrované obvody BM381 a BM381A jsou přesným analogonem integrovaných obvodů firmy National Semiconductor typu LM381 a LM381A, od nichž se v ničem neliší.

Dvojitý nízkofrekvenční předzesilovač βM387N, βM387AN

Integrované obvody BM387N a BM387AN rumunské výroby podniku I.P.R.S. jsou upravenou, zjednodušenou verzí již popsaných obvodů BM381. Jsou to dva samostatné, zcela nezávislé nf zesilovače na společné křemíkové podložce. Výjimku tvoří přívody napájecího napětí a „země“, které jsou společné pro oba systémy. Hlavní použití obvodů je v nízkofrekvenčních zesilovačích, pracujících s malým signálem, neboť obvody se vyznačují velmi malým šumem.

Vnitřní elektrické zapojení obou obvodů je na obr. 95. Každý z obou zesilovačů je vnitřně kompenzovaný kondenzátorem C pro provoz se zesílením větším než 10. Oba systémy jsou opatřeny regulátorem potlačení vlivu napájecího napětí na vlastnosti zesilovače. Kanálové zesilovače jsou konstruovány tak, aby oddělení kanálů (přeslechy) bylo větší než 40 dB, typická velikost se uvádí 60 dB.

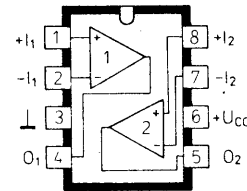
Oba typy obvodů se liší pouze ve dvou parametrech: Typ βM387N se může provozovat s napájecím napětím max. 30 V, βM387AN s napájecím max. 40 V, druhý rozdíl spočívá v šumových vlastnostech. U βM387AN je zaručeno vstupní šumové napětí 0,65 μV, max. 0,9 μV, u typu βM387N jen o málo větší 0,8 μV, max. 1,2 μV. Od obvodů βM381 se odlišují popisované zesilovače tím, že oba systémy nemají vyvedeny vývody pro přídavnou vnější kmitočtovou kompenzaci. Proto jsou tyto součástky v menším plastovém pouzdru.

Integrované obvody BM387N, BM387AN jsou v krátkém plastovém pouzdru DIL-8 mezinárodního typu MP48 s 2x čtyřmi vývody ve dvou řadách s roztečí 2,54 mm a odstupem řad 7,62 mm. Zapojení vývodů je na obr. 96. Funkce vývodů: +I₁, +I₂ — neinvertující vstup systému 1, 2; -I₁, -I₂ — invertující vstup systému 1, 2; O₁, O₂ — výstup systému 1, 2.

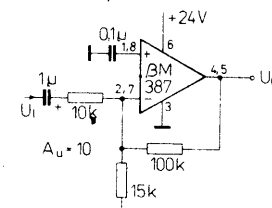
Elektrické údaje obvodů jsou v tab. 23. Z ní jsou zřejmě velmi výhodné vlastnosti (velmi malý šum a velké zesílení). Obvody BM387AN jsou v podstatě vybrané součástky ze základní vyráběné řady jak co do velikosti vstupního šumového napětí, tak na možnost provozu s větším napájecím napětím do 40 V. Většina elektrických údajů je u obou typů shodná, nebo se jen nepatrně odlišuje. Proto i grafické závislosti napájecího proudu, rozkmitu výstupního napětí v závislosti na napájecím napětí a na provozním kmitočtu (obr. 86, 87.), rovněž závislost oddělení kanálů (obr. 89.) a napěťové zesílení (obr. 88) obvodů BM381 platí rovněž pro typy βM387N, βM387AN.

Doporučená zapojení

Základní zapojení invertujícího nf zesilovače s extrémně malým zkreslením a šumem je na obr. 97. Použité



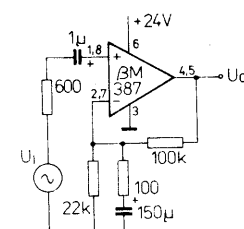
Obr. 96. Zapojení vývodů βM387N, βM387AN



Obr. 97. Zapojení nf zesilovače s βM387N, βM387AN s extrémně malým šumem

součástky byly zvoleny tak, aby nejmenší zesílení bylo 10. Šum zesilovače silně ovlivňuje kvalitu použitých pasivních součástek, jejichž výběru se musí věnovat mimořádná pozornost.

Zapojení neinvertujícího zesilovače s plochým průběhem zesílení 1000 je na obr. 98. Na obr. 99 je zapojení předzesilovače s korekcí NAB pro snímání



Obr. 98. Nízkofrekvenční předzesilovač se zesílením 1000 s obvodem βM387N, βM387AN

Tab. 23. Elektrické údaje βM387N, βM387AN

| Mezní údaje | |
|--|------------------------------------|
| Napájecí napětí βM387N: | $U_{CC} \leq 30$ V, |
| βM387AN: | $U_{CC} \leq 40$ V. |
| Ztrátový výkon celkový: | $P_{tot} \leq 300$ mW. |
| Teplota přechodu: | $\theta_j \leq 125$ °C. |
| Rozsah provozních teplot okolí: | $\theta_a = -25$ až $+70$ °C. |
| Rozsah skladovacích teplot: | $\theta_{sig} = -25$ až $+125$ °C. |
| Tepelný odpor přechod okolí: | $R_{thja} = 250$ K/W. |
| Charakteristické údaje | |
| Platí při $\theta_a = 25$ °C, $+U_{CC} = 14$ V, není-li uvedeno jinak. | |
| Napěťové zesílení otevřené smyčky, $f = 100$ Hz: | $A_u = 160\,000$. |
| Napájecí proud obvodu, $+U_{CC} = 9$ V až 30 V, $R_L = \infty$, βM387N: | $I_{CC} = 10$ mA. |
| $+U_{CC} = 9$ V až 40 V, $R_L = \infty$, βM387AN: | $I_{CC} = 10$ mA. |
| Vstupní odpór — kladný vstup: | $R_{I+} = 100$; ≥ 50 kΩ. |
| Vstupní odpór — záporný vstup: | $R_{I-} = 200$ kΩ. |
| Vstupní odpór — záporný vstup: | $I_{B} = 0,5$; $\leq 3,1$ μA. |
| Výstupní proud (otevřená smyčka): | $R_O = 150$ Ω. |
| Výstupní proud ze zdroje: zmenšeny: | $I_O = 8$ mA. |
| Rozkmit výstupního napětí: | $I_O = 2$ mA. |
| Šířka přenášeného pásma, $A_u = 1$: | $U_{OM/M} = U_{CC} - 2$ V. |
| Výkonová šířka pásma, | $f_1 = 15$ MHz. |
| $U_{CC} = 24$ V, $U_{OM/M} = 20$ V: | $f_2 = 75$ MHz. |
| Vstupní napětí efektivní, maximální lineární provoz: | $U_{Ief} \leq 300$ mV. |

Potlačení vlivu napájecího napětí, $f = 1$ kHz:

$$SVR = 110 \text{ dB.}$$

$$a_k = 60; \geq 40 \text{ dB.}$$

Celkové zkreslení harmonickými, $f = 1$ kHz, $A_u = 60$ dB:

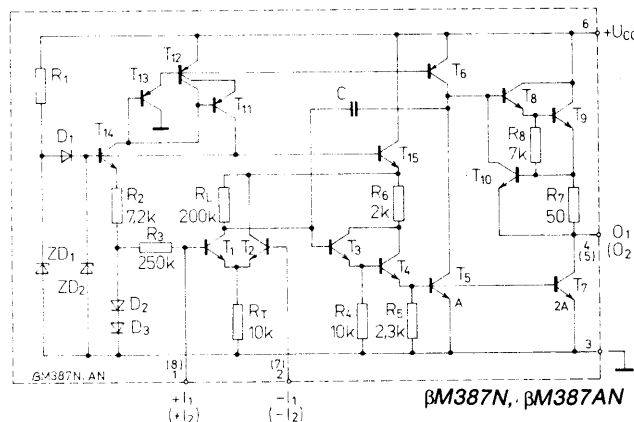
$$k = 0,1; \leq 0,5 \text{ %.}$$

Celkový ekvivalentní vstupní šum, efektivní šumové napětí,

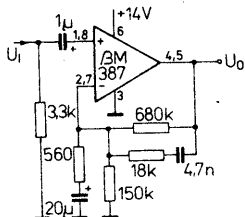
$$R_s = 600 \Omega, f = 10 \text{ Hz až } 10 \text{ kHz},$$

$$A_u = 1000:$$

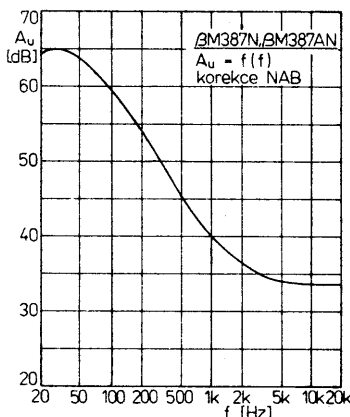
$$U_{INef} = 0,8; \leq 1,2 \mu\text{V.}$$



Obr. 95. Vnitřní elektrické zapojení poloviny obvodu βM387N, βM387AN



Obr. 99. Zapojení nf předzesilovače s obvodem BM387N, BM387AN a korekcí typu NAB pro snímání zápisu v magnetofonech

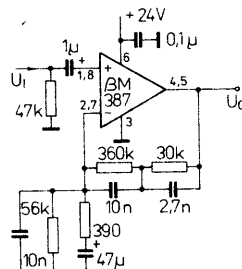


Obr. 100. Kmitočtové vlastnosti nf předzesilovače podle obr. 99 s korekcí NAB

záznamu z magnetofonového pásku v magnetofonech třídy hifi a v zařízeních pro pořizování a snímání playbackových záznamů. Kmitočtové vlastnosti tohoto zesilovače v provozu „playback“ znázorňuje graficky obr. 100.

Po změně vývodu (vzhledem k odlišnému pouzdru) se může použít zapojení podle obr. 93 k sestrojení dvoupólových rychlých spínacích předzesilovačů pro snímání záznamu z magnetofonového pásku v kazetových a cívkových magnetofonech.

Typické zapojení předzesilovače pro snímání záznamu magnetodynamickou přenoskou v gramofonech třídy hifi je na obr. 101.



Obr. 101. Zapojení předzesilovače s obvodem BM387N, BM387AN pro zesilování napětí z magnetické přenosky v gramofonech

Integrované obvody BM387N a BM387AN jsou přesnou mechanickou i elektrickou obdobou součástek LM387N a LM387AN amerických výrobců National Semiconductor a Signetics. Mezi součástkami ostatních výrobců polovodičových součástek zejména RVHP nemají žádnou obdobu.

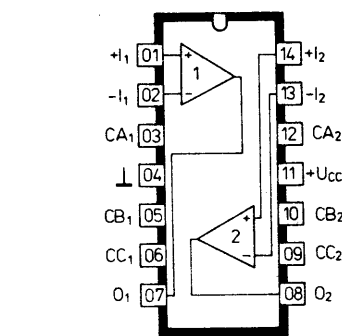
Dvojitý nízkofrekvenční předzesilovač BM382

Integrovaný obvod BM382 z výroby rumunského podniku I.P.R.S. je dvojitý nf zesilovač pro nízkofrekvenční předzesilovače napětí, pracující s malým signálem, od nichž se vyžadují optimální šumové vlastnosti. Každý z obou zesilovačů, které jsou vyrobeny na společném křemíkovém podložce, je úplně nezávislý, je vybaven vnitřním regulárem potlačení vlivu změn napájecího napětí na vlastnosti zesilovače. Společný je pouze vývod pro přivádění napájecího napětí a zemnicí vývod. Oba zesilovací systémy jsou elektricky totožné. Vyznačují se velkým napěťovým ziskem 100 dB a velkou šířkou přenášeného kmitočtového pásma 75 kHz při rozmezí výstupního napětí 20 V. Obvod se napájí kladným napětím v širokém rozsahu od 9 do 40 V.

Vnitřní elektrické zapojení jedné poloviny obvodu je na obr. 102. Zvláštností tohoto obvodu je rezistorová maticice, připojená mezi invertujícím vstupem a výstupem, která slouží k jednoduché volbě různých napěťových zisků uzavřené smyčky a kmitočtových přenosových vlastností, jako je např. upravená plochá charakteristika, popř. korekce podle systému NAB nebo RIAA. Oba systémy jsou vybaveny vnitřní kmitočtovou kompenzaci kondenzátorem C. Výstupy zesilovačů jsou chráněny proti zkratám. Provedení zesilovače zaručuje dobré vzájemné oddělení obou kanálů (typický přeslech je 60 dB, min. 40 dB) a potlačení vlivu změn napájecího napětí na vlastnosti zesilovače typicky 120 dB.

Integrované obvody BM382 jsou v plastovém pouzdru DIL-14 typu TO-116 s 2x sedmi vývody ve dvou řadách. Rozteč vývodů je 2,54 mm, odstup řad vývodů 7,62 mm. Zapojení vývodů je na obr. 103. Funkce vývodů: +I₁, +I₂ — neinvertující vstup systému 1, 2; -I₁, -I₂ — invertující vstup systému 1, 2; CA₁, CA₂, CB₁, CB₂, CC₁, CC₂ — vývody pro řízení zisku systému 1, 2; O₁, O₂ — výstup systému 1, 2.

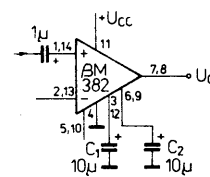
Elektrické údaje v tab. 24 jsou velmi podobné údajům základního provedení zesilovače BM381, od něhož se odlišují připojením rezistorové matice, která je vyrobena monolitickou bipolární technologií na společném křemíkovém čipu.



Obr. 103. Zapojení vývodů obvodu BM382

Doporučená zapojení

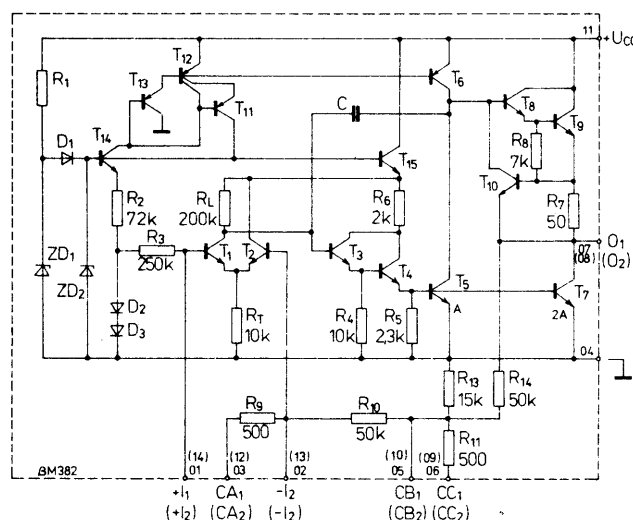
Typické zapojení nízkofrekvenčního zesilovače s obvodem BM382 je na obr. 104. Napěťový zisk zesilovače lze pevně určovat připojením kondenzátoru C₁,



Obr. 104. Typické zapojení nf předzesilovače s pevným zesílením s obvodem BM382, které je dánou použitými kondenzátory C₁ a C₂

s kapacitou 10 μF k vývodu 06 u systému 1, popř. 09 u systému 2, a dalšího kondenzátoru C₂ k vývodu 03, popř. 12. Použije-li se pouze jeden kondenzátor C₁ (vývod 03, popř. 12 zůstává volný), má zesilovač pevně nastavený zisk 40 dB. Použije-li se pouze kondenzátor C₂ (vývod 06, popř. 09 zůstává volný), zvětší se pevně nastavený zisk na 55 dB. Oba kondenzátory připojené na určených místech (podle zapojení na obrázku) zajišťují pevný napěťový zisk 80 dB. Zisk zesilovače se může nastavovat ručně vhodnými přepínači, nebo se může podle potřeby programovat a přepínat elektronickými přepínači po stupních 40 dB, 55 dB a 80 dB. Přenosová charakteristika zesilovačů je rovná prakticky až do 75 kHz, kdy se při zvyšujícím se kmitočtu zmenšuje výstupní napětí.

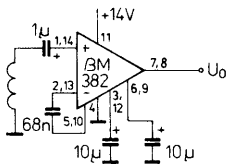
Na obr. 105 je zapojení předzesilovače s obvodem BM382 a korekcí typu NAB pro snímání z magnetofonového



Obr. 102. Vnitřní elektrické zapojení poloviny obvodu BM382

Tab. 24. Elektrické údaje βM382

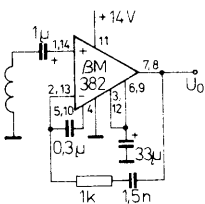
| Mezní údaje | |
|---|---------------------------------------|
| Napájecí napětí: | $U_{CC} \leq 40$ V. |
| Ztrátový výkon celkový: | $P_{tot} \leq 500$ mW. |
| Teplota přechodu: | $\vartheta_j \leq 125$ °C. |
| Rozsah provozních teplot okolí: | $\vartheta_a = -25$ až $+70$ °C. |
| Rozsah skladovacích teplot: | $\vartheta_{sig} = -25$ až $+125$ °C. |
| Tepelný odpor přechod—okolí: | $R_{thja} = 200$ K/W. |
| Charakteristické údaje | |
| Platí při $\vartheta_a = 25$ °C, $+U_{CC} = 14$ V, není-li uvedeno jinak | |
| Napěťový zisk otevřené smyčky, $f = 100$ Hz: | $A_u = 100\,000$. |
| Napájecí proud obvodu, $U_{CC} = 9$ V až 40 V, $R_L = \infty$: | $I_{CC} = 10$; ≤ 16 mA. |
| Vstupní odpor — kladný vstup: | $R_{I+} = 100$ kΩ. |
| Vstupní odpor — záporný vstup: | $R_{I-} = 200$ kΩ. |
| Vstupní proud — záporný vstup: | $I_{IB} = 0,5$ μA. |
| Výstupní odpor (otevřená smyčka): | $R_O = 150$ Ω. |



Obr. 105. Zapojení předzesilovače s korekcí NAB s obvodem BM382 pro snímání záznamu z magnetofonové pásky

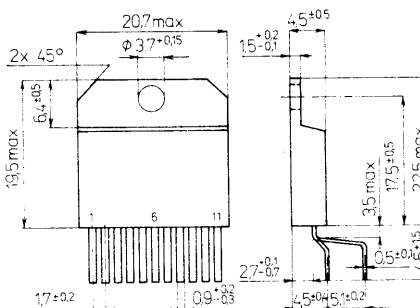
pásku. Zapojení se vyznačuje nepatrným zkreslením 0,1 %, které se nemění v kmitočtovém rozsahu od 10 Hz do 5 kHz při zisku 40 dB. Při nastaveném zisku 60 dB se zkreslení zvětší na 0,17 % na kmitočtu 5 Hz.

Předesilovač s β M382 pro použití v gramofonech hifi s elektrodynamickou přenoskou a korekcí typu RIAA je na obr. 106. Napěťový zisk zesilovače (asi 65 dB) je pevně nastaven spojením vývodů 03 a 06, popříp. 09 a 12, a k nim připojeným kondenzátorem 33 μ F vůči zemi.



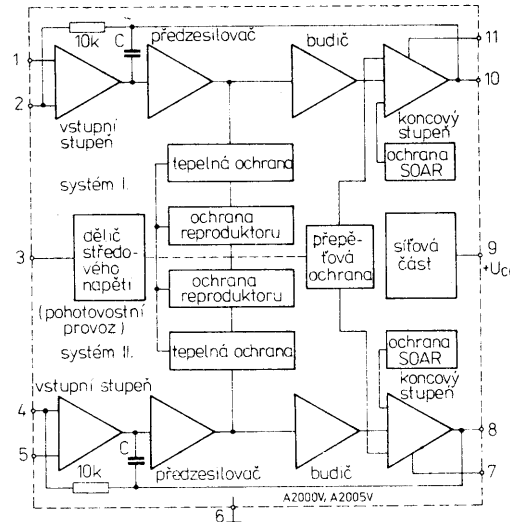
Obr. 106. Zapojení předzesilovače s korekcí RIAA s obvodem β M382 pro snímání záznamu v gramofonech s magnetickou přenoskou

Integrovaný obvod β M382 vyniká velmi dobrými šumovými vlastnostmi potřebnými právě pro konstrukce vstupních předzesilovačů s velmi malým



Obr. 107. Vnější provedení a hlavní rozměry integrovaných obvodů A2000V, A2005V

Výstupní napětí:
Výstupní proud ze zdroje:
zmenšený:
Rozkmit výstupního napětí,
 $R_L = 10 \text{ k}\Omega$:
Šířka přenášeného pásma,
 $A_u = 1$:
Výkonová šířka pásma
 $U_{CC} = 24 \text{ V}$, $U_{O\text{MM}} = 20 \text{ V}$:
Vstupní napětí efektivní, maximální
lineární provoz:
Potlačení vlivu napájecího napětí
 $f = 1 \text{ kHz}$:
Oddělení kanálů, $f = 1 \text{ kHz}$:
Celkové zkreslení harmonickými,
 $f = 1 \text{ kHz}$, $A_u = 60 \text{ dB}$:
Celkový ekvivalentní vstupní šum,
efektivní napětí,
 $R_S = 600 \Omega$, $f = 10 \text{ Hz až } 10 \text{ kHz}$,
 $A_u = 1000$:



Obr. 108. Funkční skupinové zapojení zesilovačů výkonu A2000V, A2005V

šumem. Výrobce uvádí (sice pouze jako informativní) vstupní šumové napětí na kmitočtu 100 Hz typicky 15, na 1 kHz asi 0,95, na 10 kHz asi 0,8 nV/ $\sqrt{\text{Hz}}$, vstupní proud na stejných kmitočtech 0,85, 0,7 a 0,58 pA/ Hz .

Integrovaný obvod μ M382 je plnou elektrickou mechanickou obdobou součástky LM382 výrobce National Semiconductor. Je to integrovaný obvod s vysokou výkonností, který je určen pro použití v elektrotechnice.

Dvojitý nf zesilovač výkonu A2000V, A2005V

Integrované zesilovače nf výkonu podléhají stále novému vývoji podle potřeb výrobců přístrojů spotřební elektroniky. Dalšími ze známých a oblíbených zesilovačů z výroby podniku VEB Halbleiterwerk Frankfurt/Oder, NDR, jsou dvojitě nízkofrekvenční zesilovače výkonu se ztrátovým výkonom celkovým max. 30 W, označené typovým znakem A2000V, A2005V. Zesilovače jsou vhodné pro osazování stereofonních zesilovačů v autopříjmačích, popříp. přenosných radiomagnetofonech s napájením ze sítě a baterií apod. Vhodné jsou i pro některá průmyslová použití.

Integrované obvody A2000V jsou vhodné k osazování koncových stupňů radiomagnetofonů, kde mohou odevzdat výstupní výkon $2 \times 5\text{ W}$ na zatěžovací impedanci 4Ω při napájení napětím $14,4\text{ V}$. Druhý typ zesilovače A2005V je určen pro koncové stupně autopřijímačů s výkonem $2 \times 10\text{ W}$ na zatěžovací impedanci 2Ω při napájení stejným napětím $14,4\text{ V}$. Přednost

obou typů zesilovačů je široký dovolený rozsah přípustného napájecího napětí od 4 do 18 V. Dvojčinný koncový stupeň, pracující ve třídě B s téměř obvody, může dodávat značné výstupy vrcholové proudy v závislosti na použitém napájecím napětí při bezvadné funkci obvodů (tab. 25).

Oba integrované obvody A2000V, A2005V se dodávají v plastovém pouzdro typu multiwatt s jedenácti jednostranně vyvedenými vývody v provedení V, které je určeno pro vertikální montáž na desku s plošnými spoji. Vnější provedení a všechny hlavní rozměry pouzdra jsou na obr. 107. Z hlediska montáže je pouzdro multiwatt velmi výhodné, neboť nevyžaduje speciálních montážních příslušenství a přitom zaručuje mimořádně malý tepelný odpor. Mezní údaje parametrů obou typů integrovaných zesilovačů jsou stejné. Pro použití v můstkových zapojeních se vybírají obvody s některými stejnými vlastnostmi. Vybrané obvody jsou označeny upraveným typovým znakem A2000Vm, A2005Vm.

Funkce vývodů: 1 — vstup 1,
 2 — vstup zpětné vazby 1, 3 — dělič
 středového napětí (vypnuto), 4 — vstup
 zpětné vazby 2, 5 — vstup 2,
 6 — zemnicí bod, 7 — zpětná vazba
 bootstrap 2, 8 — výstup 2, 9 — připoj-
 kladného napájecího napětí, 10
 — výstup 1, 11 — zpětná vazba
 bootstrap 1.

Tab. 25. Elektrické údaje A2000V, A2005V

| Mezní údaje | | | |
|--|--|---|--|
| Napájecí napětí: Rozsah provozního napájecího napětí: | $U_{CC} \leq 28$ V. | A2005V, $U_{CC} = 14,4$ V, $R_L = 2 \Omega$: | $k = 0,22; \leq 1\%$. |
| Výstupní proud vrcholový, omezený uvnitř obvodu A2000V: A2005V: | $U_{CC} = 4$ až 18 V. $I_{BM}, I_{10M} \leq 2,5$ A, $I_{BM}, I_{10M} \leq 3,5$ A. | A2000V: | $k = 0,22; \leq 1\%$. |
| Ztrátový výkon celkový $\vartheta_a \leq 60^\circ C$: | $P_{tot} \leq 30$ W. | A2005V: | $A_{uo} = 84$ dB. |
| Rozsah provozních teplot okolí: | $\vartheta_a = -25$ až $+70^\circ C$. | Vstupní odpor — vývod 1, příp. 5 | $R_{11}, R_{15} = 180; \geq 70$ k Ω , |
| Vnitřní tepelný odpor: | $R_{thja} \leq 3$ K/W. | A2005V: | $R_{11}, R_{15} = 150; \geq 70$ k Ω . |
| Charakteristické údaje | | $R_{12}, R_{14} = 10$ k Ω . | |
| Platí v zapojení stereofonního zesilovače, $U_{CC} = 14,4$ V, $R_L = 4$ Ω , $f = 1$ kHz, zisk 40 dB. | | $f_d = 40; \leq 50$ Hz, $f_h = 85; \geq 20$ kHz. | |
| Klidový proud A2000V: A2005V: | $I_{CC} = 30; \leq 40$ mA, $I_{CC} = 75; \leq 115$ mA. | Přeslech mezi kanály | $a = 50$ dB. |
| Klidový proud bez vybuzení $U_1 = 0$ V: | $I_{CC0} = 3,5$ mA. | $U_0 = 4$ V, $R_G = 10$ k Ω : | $U_{IN} = 3,0$ μ V. |
| Výstupní napětí střední: | $U_0 = 7,2; 6,6$ až $7,8$ V. | Vstupní šumové napětí | |
| Rozdíl výstupního napětí středního A2000Vm, A2005Vm typ 8 až 10: | $U_0 \leq 150$ mV. | $R_G = 10$ k Ω : | |
| Výstupní výkon ($k = 10\%$) | $\bar{P}_o = 6,25; \geq 6$... $P_o = 6,5; \geq 6$ W, $P_o = 3,75; \geq 2,8$ W, $P_o = 10,6; \geq 9,0$ W. | A2000V: | SVR = 50 dB, |
| A2000V: | | A2005V: | SVR = 47 dB. |
| A2005V: | | Nasazení tepelné ochrany, $P_o = 6$ W | |
| A2000V, $U_{CC} = 9$ V, $R_L = 2$ Ω : | | A2000V: | $t_{OCHR} = 145^\circ C$, |
| A2005V, $U_{CC} = 14,4$ V, $R_L = 2$ Ω : | | A2005V: | $t_{OCHR} = 150^\circ C$. |
| Zkreslení ($P_o = 50$ mW) | $k = 0,25; \leq 1\%$, $k = 0,15; < 1\%$ | Nasazení přepěťové ochrany | |
| A2000V: | | A2000V: | $U_{OCHR} = 20,6$ V, |
| A2005V: | | A2005V: | $U_{OCHR} = 20,4$ V. |
| Stereofonní můstkový zesilovač: | | | |
| Výstupní výkon | | | |
| A2000V, $U_{CC} = 10,5$ V, $k = 10\%$: | | $P_o = 10,9$ VA, | |
| A2000V, $U_{CC} = 12,0$ V, $K = 1010\%$: | | $P_o = 14,5$ VA, | |
| A2005V, $U_{CC} = 14,4$ V, $k = 10\%$: | | $P_o = 21,3$ VA. | |

Funkční skupinové zapojení obou typů integrovaných zesilovačů je v podstatě shodné a je na obr. 108. Nízkofrekvenční signál, přivedený na vstup obvodu, prochází vstupní částí, předesilovačem, budicím a koncovým stupněm na výstup obvodu. Na různých místech systému integrovaného obvodu jsou umístěny ochranné obvody, které chrání součástku v provozu před zničením nadměrným oteplením, přepětím a zkratem na výstupu. Systém zesilovače je vybaven automatickým řízením pracovního provozu ve spolehlivé oblasti, SOAR, které je známé u moderních typů křemíkových výkonových tranzistorů.

Na vstupu integrovaného obvodu je použit tranzistor n-p-n v emitorovém zapojení. Báze tranzistoru má stejnosměrné předpětí asi $2U_{BE}$ (tj. 1,3 V). U systému 1 je báze vyvedena na vývod 1, u systému 2 na vývod 5. Vstupní zákončovací rezistor, který se musí u jiných typů integrovaných zesilovačů použít jako vnější součástka, je u popisovaných obvodů integrovaná na společném čipu jako rezistor PINCH s odporem 220 k Ω . Použité uspořádání má přednost v menším šumu, zvláště pak v menším ekvivalentním šumovém proudu a šumovém napětí. Navíc přispívá k lepším spínacím vlastnostem tranzistoru.

Nevýhodou popsaného nesymetrického vstupu je tepelná zpětná vazba pro signály nízkých kmitočtů z výstupu na vstup. Proto je stanoven klidový proud vstupního stupně na $15\text{ }\mu\text{A}$, což tvoří dobrý kompromis mezi šumem, nastaveným zesílením, šířkou pásma a rychlosťí přeběhu. Vstupní stupeň a předzesílovač mají hlavní podíl na velkém napěťovém zesílení naprázdně, které je větší než 80 dB . Zpětná vazba mezi předzesílovači v horném kmitočtovém rozsahu je vytvořena integrova-

ným kondenzátorem C. Proto není nutné zavádět vnější kmitočtovou kompenzaci. Zesílení je dáné stupněm zpětné vazby, která působí přes zpětnovazební vývod 2, popříp. 4 kapacitní vazbou z vnějšího napěťového děliče zpětné vazby, který je připojen k výstupu (vývod 10, popříp. 8) vůči zemi. Stejnosměrné napětí na zpětnovazebním vývodu 2 je dáno napětím báze U_{BE} (asi 0,65 V). Vnější dělič zpětnovazebního napětí je tvořen rezistory R_1 (1,2 k Ω), R_2 (10 Ω). Mezi vývody 2 a 10 (popříp. 4 a 8) je zapojen integrovaný zpětnovazební rezistor s odporem asi 10 k Ω .

Konstrukce budíčkůho stupně dovoluje zavést vazbu typu „bootstrap“ na vývodu 11, popříp. 7. Vazební rezistory bootstrap mají odpor 75Ω a jsou integrovány na čipu zesilovače. Vně připojeným kondenzátorem pak lze dosáhnout toho, že se přes budíčkůstupeň zmenší saturační napětí „horního“ tranzistoru koncového stupně.

Dvojčinné koncové stupně třídy E jsou určeny pro zatížování různě velkými vrcholovými výstupními proudy, které u zesilovače A2000V mohou být až 2,5 A, u A2005V až 3,5 A při velmi malých saturačních napětích. Napětí, určující výstupní výkon, je poněkud menší než použité napájecí napětí. Při provozu bez zpětné vazby bootstrapping může vývody 11 a 7 připojit na napájecí napětí. Rezistor 120 k Ω mezi vývody 3 a 9, který slouží k opravě středového napětí, pak odpadá. Je-li přesné nastavení klidový proud koncového stupně na 5 mA u typu A2000V, popř. 20 mA u typu A2005V, neprojde se žádné zkreslení ani v oblasti dolního kritického rozsahu vybrané

dobnino kritického rozsáhu využití.
Oba popisované zesilovače jsou vybaveny ochrannými zapojeními, která slouží výhradně k ochraně a spolehlivému chodu integrovaných obvodů. Proto konstruktér nemůže uplatňovat zásadu, že při návrhu jiných funkčních částí přístroje může šetřit na úkor použitých zesilovačů A2000V č. A2005V.

Tepelná ochrana je založena na využití tepelného senzoru — tranzistoru, který je umístěn v nejteplejším bodě čipu, tj. přímo na výstupním tranzistoru. V klidovém stavu je tranzistor nastaven na napětí báze-emitor 400 mV. Jestliže se zvýší teplota až na +150 °C, nastaví se při -2 mV/K pracovní bod tak, aby se uvedl senzorový tranzistor do vodivého stavu a obdobně se zmenší i přiváděný budící výkon.

Přepěťová ochrana je zaměřena především proti vlivu napěťových špiček, které vznikají při provozu automobilu. Tyto napěťové impulsy se zpravidla vyhlažují dolní propustí LC, kterou je vybaven každý autopříjímač moderní konstrukce. Zapojení přepěťové ochrany začíná pracovat při napájecím napětí větším než 18 V. Budící stupeň se přitom odpojuje a chrání se horní tranzistor koncového stupně. Během tohoto postupu přechází napětí kolektor-báze z U_{CE0} do U_{CEB} .

V důsledku zapojení reproduktoru vůči zemi vyžaduje se ochrana typu SOAR pouze pro horní tranzistor koncového stupně (neboť je namáhaný nejvíce). Ochrana začíná pracovat, jakmile vybuzení dosáhne a přesáhne hyperbolu ztrátového výkonu. Uvedeným postupem se soustavně řídí napětí tranzistoru pro dosažení optimálního výstupního výkonu. Cílem je napětí větší, o to menší musí být proud kolektoru. Nasadil-li činnost ochrana SOAR, analogicky se zmenšuje buzení koncového stupně.

Ochrana proti zkratu na výstupu začíná svou činnost, nastane-li stejnosměrný zkrat na výstupech 10 nebo 8 vůči zemi. Po odstranění zkratu je obvod opět schopen plnit svou funkci, což nastává samočinně. Výstupy 10, popříp. 8 se ovšem nesmí zkratovat vůči napájecímu napětí. Tento druh zkratu přivedí naprosté zničení integrovaného obvodu!

Síťová část využívá jako zdroje referenčního napětí zdroj typu band-gap, což umožňuje používat obvod až na dolní hranici napájecího napětí 4 V.

Zmenšení spotřeby klidového proudu je výsledkem připojení napěťového děliče zpětné vazby za vazební kondenzátor.

Rezistor $120\text{ k}\Omega$ mezi vývody 3 a 9 slouží ke korekci středového napětí výstupu při provozu s vazbou bootstrap. Zapojení je navrženo tak, aby uvedené středové napětí při provozu bez vazby bootstrap dovolilo symetrické vybuzení. K maximálnímu vybuzení při napájecím napětí menším než 6 V se musí zmenšit odpor rezistoru $120\text{ k}\Omega$ mezi vývody 3 a 9. Připojí-li se vývod 3 na zemní potenciál, bude sledovat středové výstupní napětí tento zemní potenciál a obvod postupně zmenší „zvukový“ výkon a „oněmí“. Současně s tím se podstatně zmenší klidový proud. V přechodové oblasti „oněmí“ způsobí elektronický přepínač malé spínací lupnutí.

Příklady zapojení

V dalších odstavcích si popíšeme několik praktických příkladů zapojení integrovaných obvodů A2000V a A2005V. Dva elektricky stejné nízkofrekvenční zesilovače výkonu na společném čipu obvodu se používají především ve stereofonních zesilovačích, ale rovněž jako monofonní zesilovače v můstkovém zapojení. Součástky, které jsou vhodnější pro můstkové nf zesilovače výkonu jsou v typovém znaku doplněny písmenem m — tedy A2000Vm a A2005Vm.

Stereofonní zapojení

Typické zapojení stereofonního zesilovače je na obr. 109. K provozu integrovaného obvodu je zapotřebí jen několik vnějších součástek. Rezistory R_1 , R_2 a kondenzátor C_2 tvoří obvod zpětné vazby, kterou lze zmenšit napěťový ztisk naprázdno z 80 dB a více na potřebou velikost. Při přesné nastavování zesílení se musí brát v úvahu vnitřní zpětnovazební rezistor R_{GK} s odporem asi $10\text{ k}\Omega$. Proto platí základní vztah

$$A_C = 1 + [(R_{\text{GK}} R_1) / (R_{\text{GK}} + R_1)] / R_2.$$

Po zjednodušení bude platit

$$A_C = 1 + (R_1 / R_2).$$

Způsob zapojení vstupního stupně omezí vstupní napětí na 250 mV , což má za následek, že lze zisk nastavit pouze v rozsahu 24 dB až 52 dB . Z důvodu dostatečné stability by měl mít dělič napěťové zpětné vazby malou

impedanci a měl by být zemněn zásadně ve společném zemnicím bodě vstu- pu. Kondenzátor C_1 slouží k oddělení stejnosměrného napětí mezi výstupem předzesilovacího stupně a vstupy integrovaného obvodu A2000V, A2005V.

Baucherotův člen, který se skládá ze sériově zapojeného kondenzátoru $0,1\text{ }\mu\text{F}$ a rezistoru $1\text{ }\Omega$, slouží k zamezení zakmitávání dvojčinného koncového stupně třídy B při vyšších kmitočtech. Uvedený člen se doporučuje zemnit v zemnicím bodě vývodu v místě mezi záporným pólem napájecího napětí a vývodem 6. Dolní mezní kmitočet je dán kapacitou použitého vazebního elektrolytického kondenzátoru a zatěžovacím odporem. Horní mezní přenášený kmitočet je vnitřně kompenzo- ván a může se měnit v závislosti na zisku:

$$A_U = 52\text{ dB při kmitočtu } 30\text{ kHz}, \\ A_U = 24\text{ dB při kmitočtu } 280\text{ kHz},$$

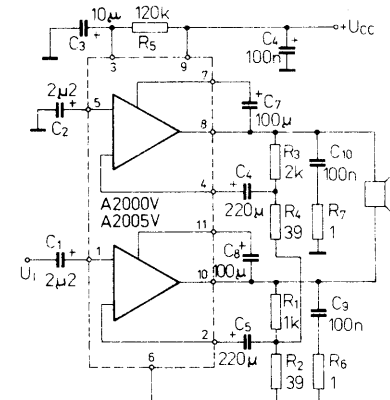
což znamená, že je vždy mnohem vyšší než 20 kHz .

Vstupní a výstupní zemnicí body se musejí připojit na zemní potenciál integrovaného obvodu (vývod 6) od- dělení. Případné zakmitávání vý- lze potlačit kondenzátorem 220 pF , připojený mezi vývod 1, popří- 5 a „vstupní“ zem. Případné zapojení v tzv. provozní přípravenosti (stand-by) stereofonního zesilovače s obvody A2000V, A2005V je možné pouze v případě, bude-li vývod 3 spojen se zemí.

Stereofonní zesilovač s řízením šířky pásmá je na obr. 110. Navržené zapojení zesilovače s odpojováním řízení šířky

Monofonní můstkové zapojení zesilo- vače

K dosažení co největšího výstupního výkonu při malém napájecím napětí lze použít můstkové zapojení dvojice zesilovačů s obvody A2000Vm, A2005Vm podle obr. 111. Můstkový zesilovač odevzdá ve srovnání s obvyklým zesilo-



Obr. 111. Typické můstkové zapojení monofonního zesilovače s obvodem A2000Vm, A2005Vm

vačem při stejných pracovních podmínkách asi čtyřnásobný výstupní výkon. Přitom platí, že přivedené napájecí napětí a maximální přípustný výstupní vrcholový proud dvojčinného koncového stupně třídy B a jeho saturační napětí určují dolní mezní přípustný zatěžovací odpor. Platí proto vztah:

$$R_L \min = (U_{CC} - 2U_{CE \text{ sat}}) / I_{O \text{ max}}$$

kde $I_{O \text{ max}}$ se rovná $2,5\text{ A}$, použije-li se obvod A2000Vm, nebo $I_{O \text{ max}} = 3,5\text{ A}$ při obvodu A2005Vm. Pro uvedené proudy $I_{O \text{ max}}$ je saturační napětí $U_{CE \text{ sat}}$ asi 2 V .

Protože oba typy popisovaných integrovaných obvodů sdružují ve společném pouzdro dva stejné zesilovače, lze konstruovat můstkové zesilovače velmi jednoduše, elegantní formou. Zpětnovazební obvod tvoří rezistory R_1 , R_2 , R_3 , R_4 a kondenzátory C_4 , C_5 . Pro nastavení zesílení platí vztah:

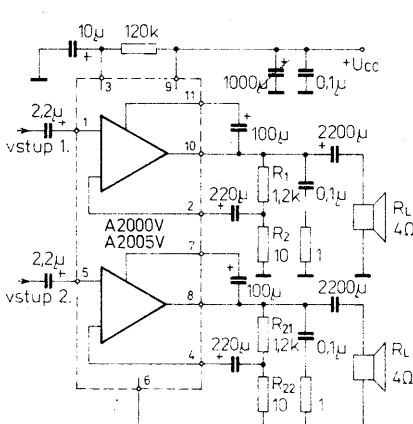
$$A_U = \frac{U_o}{U_i} = 1 + \frac{R_1}{(R_2 R_4) / (R_2 + R_4)} + \frac{R_3}{R_4}$$

Za předpokladu, že bude $R_2 = R_4$ a $R_3 = 2R_1$, zjednoduší se vztah na

$$A_U = 4(R_1 / R_2).$$

Zisk lze nastavovat pouze v rozsahu od 37 dB do 52 dB v závislosti na vstupním efektivním napětí, které nemá být větší než 250 mV , a napájecím napětí. Ekvivalentní vstupní šumové napětí se zvětší asi na dvojnásobek, přičemž se zlepší potlačení bručivého napětí asi o 6 dB .

V můstkovém zapojení oproti běžnému zesilovači odpadá vazba nízkofrekvenčního signálu kondenzátorem s velkou kapacitou. Proto se nesmí navzájem odlišovat středová výstupní napětí obou zesilovačů, neboť jinak by protékal reproduktorem stejnosměrný proud. Středová výstupní napětí se mohou lišit max. o 100 mV — toto klidové napětí může trvale snášet bez



Obr. 110. Typické zapojení stereofonního zesilovače s obvody A2000V, A2005V s řízením šířky stereofonní báze

stereofonní báze dovoluje plynule zúžovat a rozširovat šířku stereofonní báze regulačním rezistorem $100\text{ }\Omega$. Informace o směru signálu vychází z diferenciálního signálu $+R$ a $-L$, popří- $-R$ a $+L$. Při zapnutí řízení šířky stereofonní báze mezi oba vstupy zpětné vazby (vývody 2 a 4) se diferenciální signály sečtou. Budou-li rezistory R_1 a $R_{BBS} = 2R_1$, bude pro $+R$ a $-L$, popří- $-R$ a $+L$ na výstupech integrovaného obvodu (vývody 10 a 8) $2R$ a $2L$. Přitom se zmenší vstupní napětí natolik, že se nepřebudí výstupy. Bude-li R_{BBS} menší než $2R_1$, dojde k neurčitému jevůmu (zkreslení). Zapojení pro oněmění zesilovače lze realizovat zkratováním vývodu 3 vůči zemi.

Obr. 109. Typické zapojení stereofonního zesilovače s obvody A2000V, A2005V

Tab. 26. Vlastnosti součástek v můstkovém zesilovači s obvody A2000Vm, A2005Vm

| Součástka | Doporučená hodnota | Použitá hodnota jiná než doporučená menší | Použitá hodnota jiná než doporučená větší |
|---|-----------------------|--|---|
| R ₁ , R ₃ , R ₂ , R ₄ | 1 kΩ 2 kΩ 12 kΩ | nastavení zisku uzavřené smyčky | viz popis můstkového zesilovače |
| R ₅ | 120 kΩ | optimalizuje výstupní symetrii | menší P _{O max} |
| R ₆ , R ₇ | 1 Ω | kmitočtová stabilita | poškození oscilacemi na vyšších kmitočtech při indukční zátěži |
| C ₁ | 2,2 μF | kapacitní vazba vstupu | zvětší se zpoždění |
| C ₂ | 2,2 μF | optimalizuje zpoždění při zapnutí a praskotu | zvětší se praskot, zvýší se přenášení nízkých kmitočtů, zvětší se šum |
| C ₃ | 0,1 μF | blokovací kondenzátor | poškození oscilacemi |
| C ₄ | 10 μF | potlačení zvlnění | zvětší se SVR, prodlouží se doba spinání |
| C ₅ , C ₇ | 100 μF | zpětná vazba bootstrap | zvětší se zkreslení na nízkých kmitočtech |
| C ₆ , C ₈ | 220 μF | stejnosměrné blokování zpětnovazebního vstupu, určuje nízké kmitočty | zvýší se dolní mez nízkých kmitočtů |
| C ₉ , C ₁₀ | 0,1 μF | kmitočtová stabilita | poškození oscilacemi |

Tab. 27. Vztahy pro výpočet výstupních veličin můstkového a jednoduchého nf zesilovače výkonu s A2000V, A2005V

| Parametr | | Můstkové zapojení | Jednoduché zapojení |
|--------------------|---------------------------|--|---|
| U _{O max} | výstupní napětí vrcholové | $U_{CC} - 2U_{CE\ sat}$ | $0,5(U_{CC} - 2U_{CE\ sat})$ |
| I _{O max} | výstupní proud vrcholový | $\frac{(U_{CC} - 2U_{CE\ sat})}{R_L}$ | $0,5 \frac{U_{CC} - 2U_{CE\ sat}}{R_L}$ |
| P _{O max} | výstupní efektivní výkon | $\frac{(U_{CC} - 2U_{CE\ sat})^2}{2R_L}$ | $0,25 \frac{(U_{CC} - 2U_{CE\ sat})^2}{2R_L}$ |

poškození většina reproduktorů s impedancí kmitační cívky 4 Ω.

Rovněž v můstkovém zapojení je možné zapojení pro onemění zesilovače. K úspore povedu při bateriovém provozu a naopak k využití plného výkonu při napájení ze sítě je možné využívat přepínače provozu, P₁, u něhož se využívá změny zesílení obvodů.

Zapojení monofonního můstkového zesilovače s rezistory R₁ až R₄ podle obr. 111 je navrženo pro napěťový zisk A_u asi 40 dB, což je v oblasti optimálních využitelných zisků. Změnil-li se odpory uvedených rezistorů, může se zisk zvětšit či zmenšit podle tabulky:

| A _u [dB] | 50 | 40 | 30 |
|-------------------------------------|----|----|-----|
| R ₂ , R ₄ [Ω] | 12 | 39 | 130 |

Odpory rezistorů R₁, R₃ zůstávají stej-

né. Zisk 30 dB je však krajním použitelným ziskem.

Typické zapojení zesilovače podle obr. 111 bylo navrženo s ohledem na optimálně dosažitelné vlastnosti zesilovače. Použili-li se jiné součástky, mohou se měnit vlastnosti zesilovače, popříp. mohou nastat nežádoucí vedlejší projevy či může být ovlivněna činnost. Jak změny hodnot součástek působí, ukazuje přehledně tab. 26. Informace v ní soustředěně mohou velmi přispět konstruktérům ke správnému návrhu i jiných než nf zesilovačů stupňů.

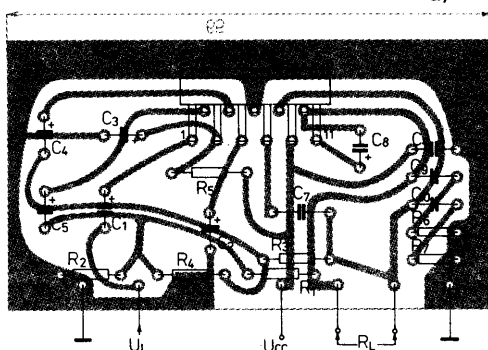
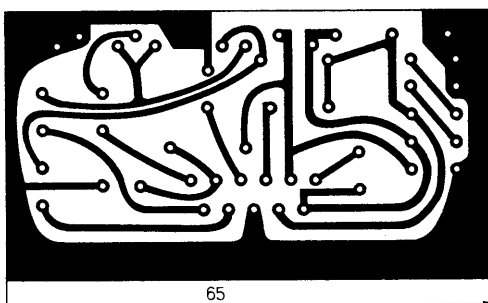
Na obr. 112a je deska s plošnými spoji monofonního zesilovače podle obr. 111, na obr. 112b je rozložení součástek na desce. Kondenzátor C₁₂ na desce s plošnými spoji není umístěn. Spolu s jednopólovým dvoupolovým přepínačem se umístí na vhodném místě skříně zesilovače tak, aby přeprána byl z vnějšku snadno přistupný.

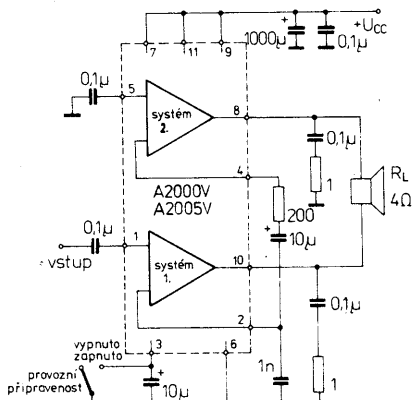
Při návrhu zapojení můstkového zesilovače si zaslouží pozornost základní informace o vlastnostech můstkového zesilovače ve srovnání s jednoduchým zesilovačem — v tab. 27. V tabulce jsou uvedeny základní vztahy pro výpočet maximálního výstupního napěti, proudu a výkonu. Je třeba dodat, že rozmístit napětí a proud je u můstkových zesilovačů dvojnásobný proti zesilovačům jednoduchým. Jinými slovy: Se stejnou zatěžovací impedancí R_L může odevzdat můstkové zapojení výstupní výkon, který je čtyřnásobek výstupního výkonu jednoduchého zesilovače, neboť při stejném maximálním výstupním proudu odevzdá můstkový zesilovač dvojnásobný výstupní výkon než zesilovač jednoduchý.

Pozornost se musí věnovat návrhu napájecího napětí U_{CC} a zatěžovací impedance R_L s ohledem na vrcholový výstupní proud, který by mohl překročit dovolenou mezní velikost. Z daného proudu I_{O max}, doporučeného napájecího napětí U_{CC} = 14,4 V a saturačního napětí kolektor-emitor U_{CE sat} můžeme vypočítat minimální zatěžovací impedance integrovaného obvodu A2000Vm, A2005Vm v můstkovém zapojení podle vztahu

$$R_L \min = \frac{U_{CC} - 2U_{CE\ sat}}{I_{O\ max}} \quad [\Omega; V; V; A].$$

Obr. 112. a) Deska s plošnými spoji W21 monofonního zesilovače v můstkovém zapojení podle obr. 104, b) rozložení součástek na desce s plošnými spoji





Obr. 113. Zapojení monofonního můstkového zesilovače s obvody A2000Vm, A2005Vm pro nenáročné

Pro integrovaný obvod A2000Vm dostaneme po dosazení příslušných údajů

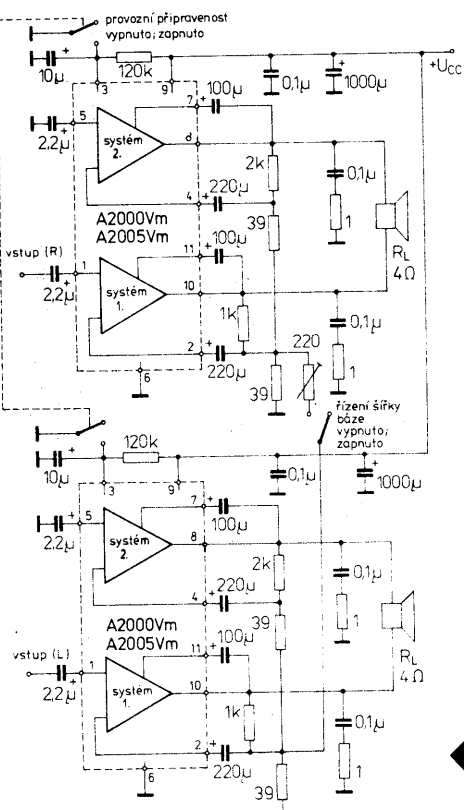
$$R_L \min = \frac{14,4 - 4}{2,5} = 4,16 \Omega,$$

pro obvod A2005Vm

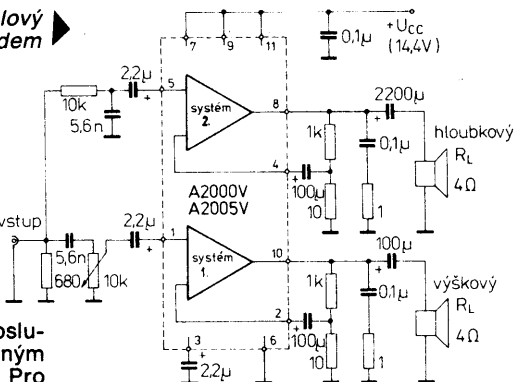
$$R_L \min = \frac{14,4 - 4}{3,5} = 2,97 \Omega.$$

Pro nenáročné účely se hodí jednoduchý, avšak hodnotný můstkový zesilovač pro monofonní provoz podle obr. 113, který vyžaduje minimální počet vnějších součástek, proto je velmi levný. Nevýhodou tohoto zapojení je změna zesílení při oteplení integrovaného obvodu. Proto se musí integrovaný obvod velmi dobře chladit velkým, rozmněným chladičem nejlépe z hliníkového profilu. Chování zesilovače při zapínání se zhoršuje se zmenšováním kapacity vstupního kondenzátoru.

Zapojení na obr. 114 představuje naopak stereofonní zesilovač v můst-



Obr. 115. Jednoduchý dvoukanálový monofonní zesilovač s obvody A2000V, A2005V

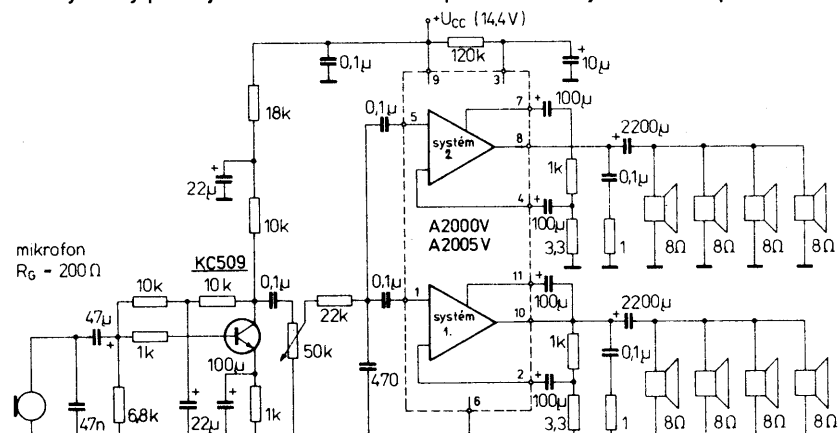


kovém zapojení pro náročné posluchače. Zapojení je opatřeno účinným řízením šírky stereofonní báze. Pro informace o směru platí stejně podmínky jako při jednoduchém stereofonním provozu. Zesilovač je konstruován se dvěma obvody A2000V nebo A2005V, které mají jako zátěž reproduktor s impedancí 4 Ω. Dvojpólovým přepínačem P2 je možno zesilovač uvést do stavu provozní připravenosti (spojení vývodu 3 u obou zesilovačů se zemním potenciálem). Šírka stereofonní báze se řídí potenciometrem 220 kΩ, řízení lze odpojit vypínačem P1. Všechny použité součástky jsou prakticky shodné s již popsanými můstkovými zesilovači.

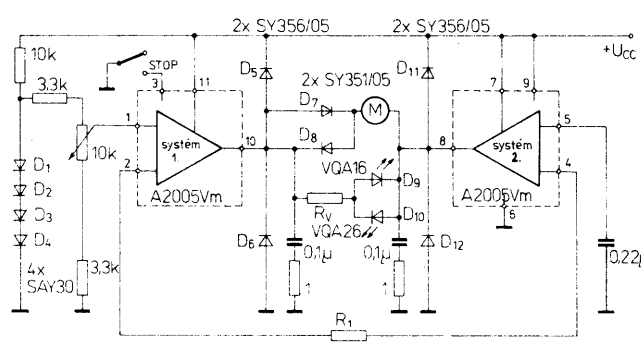
Integrované obvody A2000V, A2005V se mohou velmi výhodně používat též ke stavbě jednoduchého dvoukanálového monofonního zesilovače, jehož základní zapojení je na obr. 115. Systém 1 integrovaného obvodu slouží k zesílení signálu s vysokými kmitočty, systém 2 k zesílení nízkých kmitočtů. Oba systémy pracují zcela nezávisle na

sobě. Vstupní signál je do výškového a hloubkového kanálu rozdělován na vstupu zesilovače členy RC, intenzita vstupního signálu (a tím též stupeň zesílení) výškového kanálu se řídí potenciometrem 10 kΩ na vstupu systému 1. Dosažený výstupní výkon zesilovače je 20 W. Zesilovač pracuje se zkreslením menším než 0,5 %.

Upraví-li se popsáne zapojení monofonního dvoukanálového zesilovače výkonu podle obr. 116, může dobré sloužit jako mikrofonní zesilovač v autobusech či jiných dopravních prostředcích pro hlášení stanic řidičem či výklad průvodce turistům. Signál z dynamického mikrofona se zesiluje napěťovým zesilovačem s tranzistorem KC509 se středním zesilovacím činitelem a malým šumem. Zesílený signál, jehož velikost se může řídit potenciometrem 50 kΩ na vstupu zesilovače, se přivádí se stejnou úrovni přes vazební



Obr. 116. Zapojení monofonního zesilovače 20 W s A2000V, A2005V pro použití jako mikrofonní zesilovač výkonu



Obr. 117. Zapojení pro lineární řízení rychlosti otáčení motorků v obou směrech s obvodem A2005Vm

Obr. 114. Stereofonní zesilovač v můstkovém zapojení se dvěma obvody A2000V, A2005V s řízením šírky stereofonní báze

kondenzátory $0,1 \mu\text{F}$ na neinvertující vstupy obou systémů integrovaného obvodu A2000V či A2005V. K výstupům obou zesilovacích systémů jsou připojeny reproduktové soustavy, každá se čtyřmi reproduktory s impedancí 8Ω . Dosažený výstupní výkon zesilovače je 20 W.

Zachová-li konstruktér všechny platné podmínky pro určení pracovního bodu a pracovních podmínek, může s obvody A2000V a A2005V konstruovat mnoho zajímavých i nekonvenčních zesilovačů. Stejně zajímavá jako zapojení zesilovačů jsou zapojení pro průmyslové účely. I zde je možnost nejrůznějších konstrukcí a jejich modifikací. Některé z nich jsou popsány jako příklady typických zapojení.

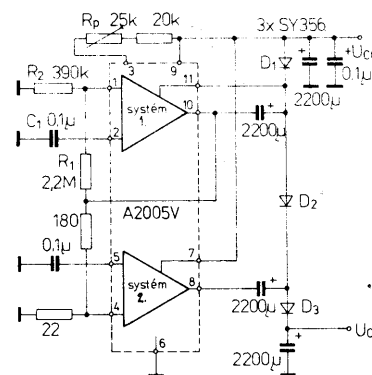
Zapojení podle obr. 117 slouží k lineárnímu řízení rychlosti otáčení stejnosměrých motorků v obou směrech. Oby systémy integrovaného obvodu A2005V jsou zapojeny do můstku. Rezistorem R_1 lze nastavit zesílení můstku v mezích od 20 do 40 dB. K vyvážení můstku je zapotřebí napětí na vstupu zesilovače (vývod 1) asi $2U_{BE}$, tj. 1,3 V. Vnějším posuvem napětí pod nebo nad 1,3 V lze napětí na motoru v obou polaritách libovolně nastavovat až do bodu, kdy je $U_{CC} - 2U_{CE\text{ sat.}}$

Obvod lze řídit čtyřmi diodami, zapojenými sériově v propustném směru, které slouží jako zdroj referenčního napětí s paralelně připojeným potenciometrem. Antiparalelně připojený pár diod v sérii s motorkem slouží k lepšímu nastavení nulové polohy. Zapojením lze spínat proudy až do 2 A. Rychlé zastavení je možné připojením vývodu 3 na zemní potenciál. Směr otáčení motorku ukazují rozsvícené světlé diody připojené antiparalelně k motorku.

Řízení směru otáčení složitějším zapojením je na obr. 118. K přímému řízení směru otáčení motorku se používá modifikovaná úroveň TTL, jejímž využitím lze řídit otáčení motorku doprava, doleva a motorek vypínat. K řízení je zapotřebí zdroj signálů se třemi úrovňemi TTL, jehož jednoduchý návrh je na obr. 118. Pracovní funkci motorku určují logické stavy pro jednotlivé vstupy řídícího zapojení podle tabulky:

Tab. 28.

| Zdroj signálu TTL pro vývod | | | Výstup |
|--------------------------------|---|---|---------------------|
| 1 | 5 | 3 | (funkce motor-ku) |
| H | L | H | otáčení „do- předu“ |
| L | H | H | otáčení „doza- du“ |
| L | L | L | stop |
| H | H | L | stop |
| H | H | X | stop |
| L | L | X | stop |
| H | L | L | stop |
| L | H | L | stop |



Obr. 120. Neřízený měnič výkonu s obvodem A2005V

Pro přibližné výstupní napětí platí vztah

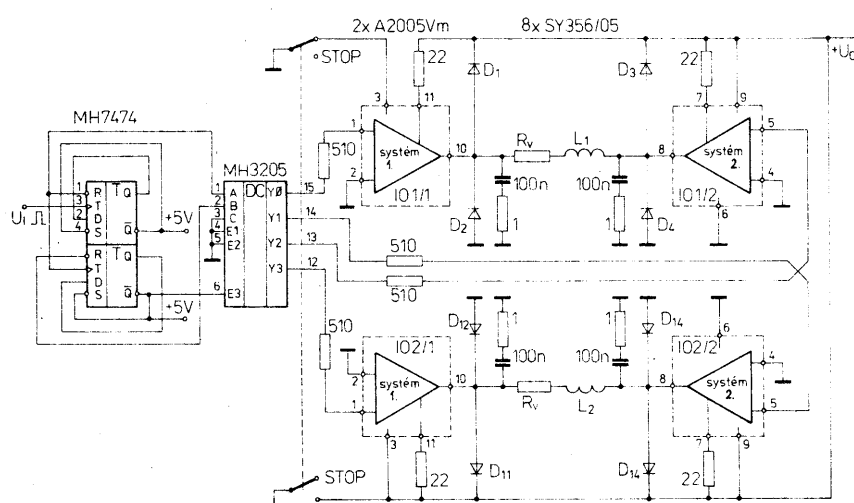
$$U_O = U_{CC} + U_{1OM/M} - U_{D1} - U_{D2} + U_{8M/M} - U_{D3}$$

Kmitočet měniče se určuje kondenzátorem C_1 — v provozu nemá být vyšší než 6 kHz, neboť se v důsledku vnitřní kompenzace na vyšších kmitočtech účinnost měniče zmenšuje. Vhodným nastavením polohy běžce potenciometru R_p se může poněkud zlepšit účinnost měniče.

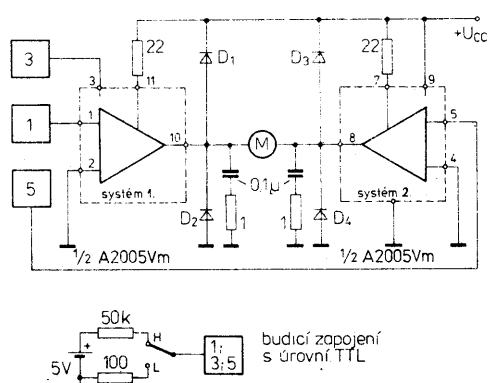
Informace a doporučení pro konstruktéry

Všechny elektrické údaje obvodů A2000V a A2005V se vztahují k základnímu zapojení stereofonního zesilovače na obr. 110, popříp. k zapojení typického monofonního můstkového zesilovače podle obr. 111. Přednosti konstrukce popsaných integrovaných obvodů jsou zcela zřejmé a není k nim nutno nic dodávat. Odevzdaný výstupní výkon a potřebný napájecí proud v závislosti na napájecím napětí integrovaných obvodů A2000V a A2005V v jednotlivých základních zapojeních přehledně ukazují závislosti na obr. 121 až 124.

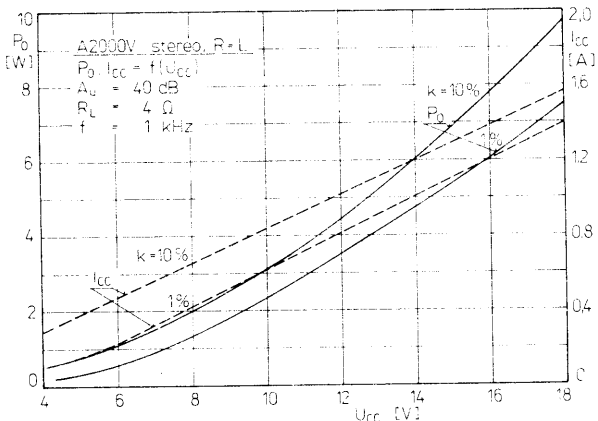
Dobrá funkce zesilovačů vyžaduje nezbytně napájet je z tvrdého zdroje napájecího napětí. Se zvětšujícím se vnitřním odporem nestabilizovaného síťového zdroje se zvětší ztráty výstupního výkonu, které se často kompenzují větším napájecím napětím, aby se dosáhlo žádaného výstupního výkonu. Výsledkem je větší zkreslení a přetěžování integrovaného obvodu, což může způsobit různé funkční poruchy zesilovače. K tomu se dále navíc přidává brumové napětí v důsledku úbytu



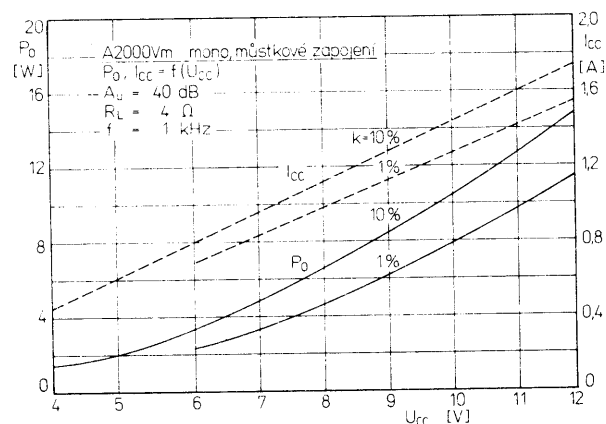
Obr. 118. Řídicí obvod rychlosti motoru pomocí signálů úrovně TTL, přiváděných na vývody můstkové zapojeného zesilovače s A2005Vm



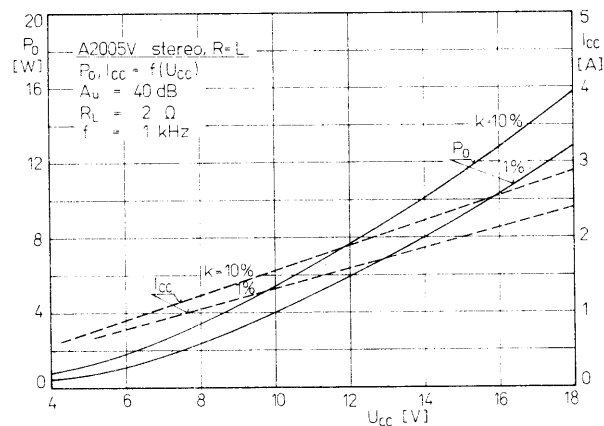
Obr. 119. Číslicové řízení motorku se dvěma obvody A2005Vm



Obr. 121. Výstupní výkon a napájecí proud obvodu A2000V v závislosti na napájecím napětí ve stereofonním zesilovači



Obr. 123. Výstupní výkon a napájecí proud v závislosti na napájecím napětí obvodu A2000Vm v můstkovém zapojení monofonního zesilovače

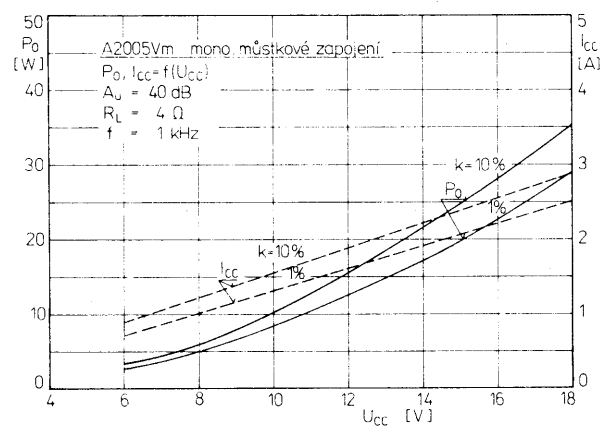


Obr. 122. Výstupní výkon a napájecí proud obvodu A2005V v závislosti na napájecím napětí ve stereofonním zesilovači

ku napětí na vnitřním odporu napájecího zdroje.

Jednou z nesporných předností obou popsaných integrovaných obvodů je možnost udržovat zesilovače v tzv. stavu provozní připravenosti, který je známý u mnohých přenosných radio-přijímačů kombinovaných s kazetovým magnetofonem, dovážených k nám ze zemí Dálného východu. Přijímač se zpravidla nevpíná síťovým spínačem, ale přepínačem se pouze přepne koncový stupeň do stavu provozní připravenosti. Všechny ostatní stupně obvykle dále pracují, přijímač pouze oněmi a odebírá ze sítě velmi malý proud. Obvody A2000V a A2005V jsou vybaveny touto možností provozu. Stačí přepnout vývod 3 přepínačem na zemní potenciál a zesilovač přejde do stavu provozní připravenosti (oněmi). Výsledkem je velmi malý klidový proud $I_{cc,0}$, asi 3,5 mA. Tento klidový proud stejně jako klidové proudy při provozu zesilovače jsou v závislosti na napájecím napětí na obr. 125.

Integrované obvody A2000V, A2005V jsou vybaveny ochranným zapojením proti působení sledu napěťových impulsů, které přicházejí po napájecím vedení na vývod 9, pokud mají průběh podle obr. 126. Jestliže jsou však napěťové impulsy nebo napěťové špičky větší než 40 V, musí se použít k jejich vyhlazení samostatný filtr LC , který se zařadí mezi napájecí zdroj a vývod 9. Doporučené zapojení filtru je na obr. 127. Jeho působení se upraví průběh nebezpečných rušivých impulsů na limit podle obr. 126. Filtr účinně omezuje sled impulsů s napětím až do 120 V a šířkou impulsu 2 ms, přicháze-



Obr. 124. Výstupní výkon a napájecí proud v závislosti na napájecím napětí obvodu A2005Vm v můstkovém zapojení monofonního zesilovače

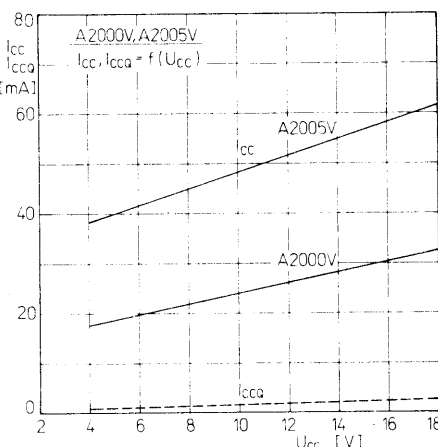
Bod nasazení analogově působící teplotní ochrany je dán teplotou $+120^\circ\text{C}$, při teplotě $+150^\circ\text{C}$ ochrana součástku vypoujde z provozu. Teplenný odpor chladiče se určí podle vztahu

$$R_{thch} = \frac{\vartheta_1 - \vartheta_a}{P_{tot}} - (R_{thch} + R_{pt}).$$

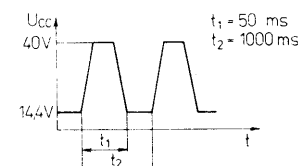
Při návrhu desky s plošnými spoji s integrovanými obvody A2000V a A2005V je třeba postupovat především s ohledem na tyto zvláštnosti: Hlavní přívody napájecího napětí, rozvod zemního potenciálu a výstupů pro připojení reproduktorů mají mít co nejmenší impedanci. Zemnicí vývod

jíž na vstup filtrov (bod A), na dovolenou velikost. Popsaný způsob ochrany se musí použít vždy, je-li použito napájecí napětí (ať stejnosměrné nebo impulsní) integrovaného obvodu větší než 18 V.

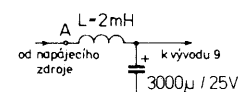
Potřebná velikost chladiče se musí vypočítat známým a často publikovaným postupem. Pro přímou montáž součástky a chladiče platí teplenný přenosový odpor $R_{th} = 1 \text{ K/W}$. Teplenné odpory obou typů integrovaných obvodů jsou $R_{thch} < 3 \text{ K/W}$, $R_{thpt} < 50 \text{ K/W}$. Chladicí těleso integrovaného obvodu stejně jako vlastní chladič se musí vodivě spojit se zemním potenciálem.



Obr. 125. Klidový proud obvodů A2000V, A2005V v závislosti na napájecím napětí. Čárkový průběh platí ve stavu provozní připravenosti



Obr. 126. Průběh vnějších impulsů, proti jejichž účinkům jsou integrované obvody A2000V, A2005V chráněny



Obr. 127. Doporučené zapojení vyhlažovacího filtru rušivých impulsů, které přicházejí na integrované obvody A2000V, A2005V po napájecím vedení

Baucherotova členu (kondenzátor $0,1 \mu\text{F}$, rezistor 1Ω) se musí připojit co nejbliže k integrovanému obvodu. V žádném případě se nesmí připojit Baucherotův člen až za vazebním výstupním elektrolytickým kondenzátorem.

Vstupní a výstupní zem se musí přivést k vývodu 6 odděleně. Těleso chladiče se musí spojit se zemí. Na vývody 10 nesmí působit žádne trvalé mechanické zatížení. Součástky se k chladiči musí připevnit tak, aby se dosáhlo dobrého tepelného spojení. Doporučuje se nanést na styčné plochy chladicích těles obvykle používanou silikonovou vazelinu, kterou se zmenší přechodový tepelný odpor styčných chladicích ploch na minimum.

Největší vstupní efektivní napětí nesmí překročit 250 mV . Zesílení se nastavuje napěťovým děličem s malou impedancí. Zemnicí body tohoto napěťového děliče se připojují ke vstupnímu zemnicímu potenciálu.

Rozhodne-li se konstruktér nevyužít vazbu bootstrap, musí se vypustit rezistor mezi vývody 3 a 9 integrovaného obvodu, vývody 7 a 11 se pak připojí na napájecí napětí. Z důvodu dostatečné vysokofrekvenční stability se musí přívod napájecího napětí blokovat kondenzátorem těsně u integrovaného obvodu. Nízkofrekvenční vstupy (vývod 1, popř. 5) se mohou při určitých provozních podmínkách spojit se zemí přes kondenzátor s kapacitou nejvýše 220 pF . Je-li vývod 3 spojen se zemí, lze integrovaný obvod zapojit do stavu provozní připravenosti.

Ochranné obvody, kterými je vybaven systém integrovaných obvodů A2000V, A2005V slouží výlučně jen k jejich vlastní vnitřní ochraně. Začnou-li ochranné obvody pracovat, může v přechodovém stavu docházet k významným výkonům. Vhodnými opatřeními lze zařízení potlačit.

Zatěžovací odpory (reproduktoři) se připojují mezi výstup a zemní potenciál nebo mezi oba výstupy. Na rozdíl od jiných integrovaných nf zesilovačů nedovoluje výrobce připojovat produktoře mezi výstup a kladný pól napájecího napětí. Při takto připojeném produktoři by se zničil integrovaný obvod.

Integrované obvody A2000V a A2005V mají své zahraniční analogony, od nichž se funkčně a elektricky neliší. Obvod A2005V má obdobu ve výrobku italské výroby SGS typu TDA2005S, A2005Vm v typu TDA2005M. Obvod A2000V je jen přibližně podobný dvojtému zesilovači výrobce Siemens TDA4925, který má obdobné pouzdro, avšak pouze devět vývodů. U zesilovačů Siemens nelze zavést vazbu bootstrap.

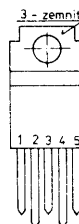
Integrovaný nf zesilovač výkonu 10 W, UL1413G

Spektrum integrovaných nízkofrekvenčních zesilovačů vyráběných v zemích RVHP vhodně doplňuje integrovaný obvod UL1413G polské výroby Unitra-CEMI, který je určen především jako koncový zesilovač v přijimačích, kazetových přehrávačích a nf zesilovačích pro automobily. Integrovaný zesilovač se vyznačuje výstupním výkonem 10 W v jednoduchých stupních, napáje-

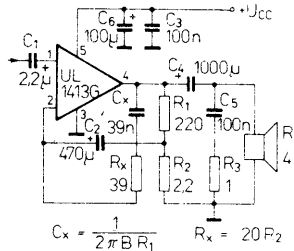
ných nesymetricky kladným napětím (typicky $14,4 \text{ V}$) a se zatěžovací impedancí 2Ω , popříp. výstupním výkonem 6 W se zatěžovací impedancí 4Ω . Zesilovač je ovšem možné napájet napětím v širokém rozsahu od 8 do 18 V .

Nespornou předností integrovaného obvodu UL1413G je jednoduchost praktického zapojení, které vyžaduje malý počet vnějších součástek, nevyžaduje velký prostor, obvod se snadno montuje na chladič nebo chladič desky a nevyžaduje proto velkých finančních nákladů. Zesilovač se dále vyznačuje velkou proudovou zatížitelností vrcholovým proudem až do $3,5 \text{ A}$, malým hármonickým zkreslením. Spolehlivý provoz zesilovače je zaručen integrovanou ochranou proti stejnosměrným a střídavým zkratám mezi všemi vývody a zemním potenciálem, ochranou proti tepelnému přetížení, napěťovým špičkám z napájecího zdroje až do napětí 40 V , ochranou proti zájemné polarity napájecího zdroje až do napětí 12 V a odpojení zemnicího vývodu.

Integrovaný vývod je v plastovém pouzdru typu Pentawatt TO-220 s pěti páskovými vývody. Funkce vývodů: 1 — neinvertující vstup, 2 — invertující vstup, 3 — zemnicí vývod, 4 — výstup, 5 — přípoj kladného napájecího napětí. Zapojení vývodu je patrné z pohledu na součástku na obr. 128.



Obr. 128. Zapojení vývodů nf zesilovače výkonu UL1413G

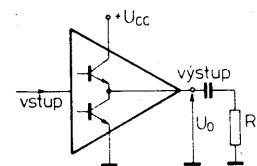


Obr. 129. Měřicí a doporučené provozní zapojení nf zesilovače výkonu UL1413G

Elektrické mezní a charakteristické údaje obvodu UL1413G jsou v tab. 29. Platí v měřicím zapojení, které se shoduje s provozním doporučeným zapojením podle obr. 129. Údaje výstupního výkonu se vztahují na použitý zatěžovací odpor (4Ω nebo 2Ω). Integrovaný obvod je schopen pracovat se zatěžovacím odporem min. $1,6 \Omega$, kdy je výstupní výkon největší — průměrně 12 W . Obráceně, zatěžovací odpor větší než 4Ω se nedoporučuje, protože přizpůsobení výstupu se zhorší a výstupní výkon se podstatně změní.

Největší výstupní výkon, který můžeme získat na výstupu integrovaného zesilovače výkonu, závisí na řadě činitelů, z nichž jsou nejdůležitější:

- elektrické vlastnosti integrovaného obvodu,
- napájecí napětí,
- zatěžovací impedance.



Obr. 130. Zjednodušené zapojení výstupu nf zesilovače výkonu UL1413G

Při posuzování vlivů jednotlivých činitelů musíme vycházet ze základního zapojení výstupního obvodu IO, který je zjednodušené na obr. 130. V klidovém stavu, tj. ve stavu, kdy je na vstupu zesilovače nulový budící signál, bude na výstupu zesilovače stejnosměrné (klidové) napětí, jehož velikost se rovná približně polovině použitého napájecího napětí, tedy bude platit vztah

$$U_0 = 0,5 U_{CC}$$

Připojené střídavé vstupní napětí způsobí, že se výstupní napětí bude měnit okolo pevné klidové velikosti od minimální do maximální úrovni. Minimální velikost rozkmitu výstupního napětí je asi $0,5 \text{ V}$, maximální velikost dosahuje téměř velikosti použitého napájecího napětí, zmenšeného o $0,5 \text{ V}$. Plný rozkmit napětí na výstupu zesilovače, tzn. dynamika výstupu je proto daná velikostí napájecího napětí minus 1 V ; např. při napájecím napětí zesilovače 18 V je rozkmit výstupního napětí 17 V . Přivedeme-li na vstup zesilovače signál se sinusovým průběhem, bude na výstupu rovněž sinusové napětí s mezivrcholovou hodnotou menší o 1 V než je použité napájecí napětí zesilovače. Pro zjednodušení můžeme předpokládat, zanedbáme-li tento malý rozdíl napětí, že mezivrcholové výstupní napětí bude rovno približně napájecímu napětí. Efektivní výstupní napětí $U_{0,eff}$ bude pak $0,707$ poloviny napájecího napětí. Odtud můžeme vypočítat maximální výstupní výkon zesilovače podle vztahu

$$P_{0, max} = \frac{U_0^2}{R_L} = \left(\frac{1}{\sqrt{2}} \frac{U_{CC}}{2} \right)^2 \frac{1}{R_L} = \frac{U_{CC}^2}{8R_L} \quad (1)$$

V praxi to znamená: Použijeme-li napájecí napětí 18 V a zatěžovací impedanci 4Ω , bude na výstupu zesilovače výstupní výkon $18^2 / (8 \cdot 4) \approx 10,1 \text{ W}$.

Výstupní výkon integrovaného zesilovače omezují ovšem jeho přípustné provozní údaje, publikované výrobcem, především:

- maximální napájecí napětí,
- maximální výstupní proud,
- maximální ztrátový výkon.

Velikost maximálního výstupního proudu a maximálního ztrátového výkonu určují nejmenší přípustnou velikost zatěžovacího odporu zesilovače. Maximální výstupní proud je dán zesilovačem v podmírkách jeho plného vybuzení, tzn. tehdy, rovná-li se velikost výstupního napětí polovině napájecího napětí. Proto bude platit

$$I_{0, max} = \frac{U_{CC}}{2R_L} \quad (2)$$

Maximální ztrátový výkon má zesilovač při neúplném vybuzení. Ztrátový výkon je největší při vybuzení zesilovače na 64% maximální amplitudy výstupního napětí nebo proudu. Velikost ztrátového výkonu je dána vztahem

$$P_{tot, max} = \frac{U_{CC}^2}{2\pi^2 R_L} \quad (3)$$

Dosadíme-li do tohoto vztahu příslušné provozní údaje podle zvoleného

Tab. 29. Elektrické údaje ní výkonového zesilovače UL1413G

| Mezní údaje | | Výstupní napětí stejnosměrné: $U_O = \text{jmen. } 6,9; 6,1 \text{ až } 7,7 \text{ V.}$ | |
|--|--|---|---|
| Napájecí napětí pracovní: | $U_{CC} \leq 18 \text{ V.}$ | Výstupní výkon, $k = 10\%, R_L = 4 \Omega, f = 1 \text{ kHz.}$ | $P_O = \text{jmen. } 6; \geq 5,5 \text{ W.}$ |
| Napájecí napětí vrcholové, $t = 50 \text{ ms.}$ | $U_{CCM} \leq 40 \text{ V.}$ | $k = 10\%, R_L = 2 \Omega, f = 1 \text{ kHz.}$ | $P_O = \text{jmen. } 10; \geq 9 \text{ W.}$ |
| Výstupní proud: | $I_O \leq 3,5 \text{ A.}$ | Vstupní citlivost, | $U_I = 14 \text{ mV, } U_I = 55 \text{ mV.}$ |
| Výstupní proud impulsní (ojedinělý impuls): | $I_{OM} \leq 4,5 \text{ A.}$ | $P_O = 0,5 \text{ W, } R_L = 4 \Omega.$ | $B = 40 \text{ až } 15\,000 \text{ Hz.}$ |
| Ztrátový výkon celkový, $\theta_c = 90^\circ \text{C.}$ | $P_{tot} \leq 20 \text{ W.}$ | $P_O = 6 \text{ W, } R_L = 4 \Omega.$ | $k = 0,15\%,$ |
| Rozsah pracovních teplot okolí: | $\theta_a = 0 \text{ až } +70^\circ \text{C.}$ | $P_O = 0,05 \text{ až } 4,5 \text{ W, } R_L = 4 \Omega.$ | $k = 0,15\%.$ |
| Charakteristické údaje | | $P_O = 0,05 \text{ až } 7,5 \text{ W, } R_L = 2 \Omega.$ | $R_I = \text{jmen. } 150; \geq 70 \text{ k}\Omega.$ |
| Platí při $\theta_a = 25^\circ \text{C, } U_{CC} = 14,4 \text{ V, není-li uvedeno jinak.}$ | | Vstupní odpor, $f = 1 \text{ kHz}$ | $A_u = 40 \text{ dB.}$ |
| Napájecí napětí: | $U_{CC} = 8 \text{ až } 18 \text{ V.}$ | Napěťové zesílení otevřené smyčky $f = 1 \text{ kHz, } R_L = 4 \Omega:$ | |
| Klidový proud: | $I_{CC} = \text{jmen. } 44; \leq 50 \text{ mA.}$ | | |

příkladu, bude největší ztrátový výkon
 $P_{tot \max} = 18^2/2 \cdot \pi^2 \cdot 4 = 4,1 \text{ W.}$

Ještě několik doporučení ke konstrukci jednoduchých zesilovačů s obvodem UL1413G:

Při nežádoucí záměně polarity napájecího napětí může obvod protékat zkratový proud až do 5 A, který obvod nepoškodí po dobu, než se přepálí rychle pracující pojistka 1 A, zapojená sériově do přívodu zdroje. Jištění zesilovače tavnou pojistkou je naprostě nezbytné při používání zesilovače v automobilech, neboť je třeba při dopravní nehodě (při poškození přijímače) zabránit případnému vzniku požáru.

Odpojí-li se u přijímače v zapnutém stavu náhodně zem, běžný koncový zesilovač se zpravidla poškodí. Systém obvodu UL1413G je však vybaven ochrannou diodou, která zesilovač ochrání před poškozením.

Systém obvodu je dále vybaven ochrannou diodou mezi vývody 4 a 5, která chrání obvod před napěťovými špičkami při provozu s indukční zátěží.

Největší povolené napájecí napětí obvodu je 18 V. Obvod se nepoškodí ani krátkodobě připojeným stejnosměrným napětím až do 28 V. Nebezpečí přivedení tak velkého napětí vzniká v zimním období, kdy se někdy u zamrzlých motorů startuje automobil dvěma sériově zapojenými akumulátory.

Integrovaná tepelná ochrana systému zesilovače začíná pracovat při limitující teplotě systému okamžitě při přetížení výstupu (i trvalém) nebo při teplotě vyšší než je povolená teplota okolí. Ochrana začne pracovat též při nedokonalém chlazení součástky nebo náhodně odpojeném chladiči.

Při návrhu jiné desky s plošnými spoji než je dále uvedeno se doporučuje věnovat největší pozornost spojům ke vstupům 1 a 2, které se musí dobré odstínit zemním vývodem 3 od vývodu výstupu 4, protože jím protéká velký výstupní proud, který může vyvolat nežádoucí vlivy na vstupu zesilovače.

Integrovaný obvod není zapotřebí izolovat od chladiče. Vývod 3 je galvanicky spojen se zalisovanou kovovou vložkou v pouzdru součástky, která se připevňuje k vnějšímu chladiči šroubkem M3, popříp. M3,5.

Je-li to nezbytné, mohou se páskové vývody součástky po připájení do plošných spojů zkrátit na potřebnou délku. Doba pájení nezkrácených jednotlivých vývodů nesmí překročit 12 s.

Doporučené zapojení jednoduchého nf zesilovače s obvodem UL1413G podle obr. 129 je navrženo pro optimální

ní funkci, použité součástky lze však upravovat podle potřeby. Každá změna doporučených součástek přivede určitou změnu vlastností zesilovače. Blížší informaci podávají následující popis součástek. Změny kapacit kondenzátorů:

$C_1 = 2,2 \mu\text{F}$ — zajišťuje stejnosměrné oddělení vstupu zesilovače; při menší kapacitě může být v reprodukci šum při zapínání a vypínání.

$C_2 = 470 \mu\text{F}$ — slouží k potlačení vlivu napájecího napětí; menší kapacita potlačení zmenšuje.

$C_3 = 0,1 \mu\text{F}$ — blokování zdroje proti vf napětí; menší kapacita nezamezí případným škodám při vzniku oscilací.

$C_4 = 1000 \mu\text{F}$ — vazební kondenzátor výstupu k zátěži; menší kapacita potlačí nižší přenášené kmitočty.

$C_5 = 0,1 \mu\text{F}$ — zlepšuje kmitočtovou stabilitu; menší kapacita neuchrání obvod před poškozením oscilacemi na vyšších kmitočtech při provozu s indukční zátěží.

$C_X = 1/2\pi R_1$ — omezuje horní přenášený kmitočet; kapacita větší zužuje šířku pásma, menší šířku pásma rozšířuje. Změny odporu rezistorů:

$R_1 = (A_u - 1)R_2$ — určuje zisk; větší odpor zvětšuje proud obvodu.

$R_2 = 2,2 \Omega$ — určuje zisk a potlačení vlivu napájecího napětí; větší odpor zmenšuje účinnost vlivu potlačení napájecího napětí.

$R_3 = 1 \Omega$ — zajišťuje kmitočtovou stabilitu; větší odpor zmenšuje ochranu proti poškození oscilacemi na vyšších kmitočtech při provozu s indukční zátěží.

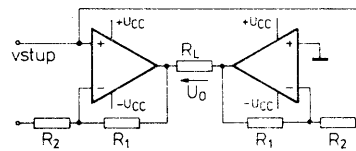
$R_X = 20R_2$ — omezuje dolní přenášený kmitočet; větší odpor nedostatečně zajišťuje vysokofrekvenční vlastnosti, menší odpor nezajišťuje ochranu před poškozením oscilacem.

Cinnost můstkového zesilovače výkonu

Jak vyplývá ze základního vztahu (1), závisí maximální výstupní výkon na napájecím napětí a odporu použité zátěže. Protože u nás prakticky nelze získat reproduktory s impedancí kmitační cívky menší než 4Ω , je možné konstatovat, že výstupní výkon je omezen pouze velikostí napájecího napětí (při konstantní zátěžovací impedanci).

Další omezení je dánou použitím napájecího napětí z pevných zdrojů jako např. v přijímačích a zesilovačích pro automobily, u nichž je napájecí napětí dánou napětím použitého akumulátoru. Při jmenovitém napětí akumulátoru, které je během jízdy 14,4 V, bude výstupní výkon jednoduchého zesilovače s obvodem UL1413 nejvýše 6,5 W.

Podstatně zvětšit výstupní výkon je možné i přes vyjmenovaná omezení můstkovým zapojením nízkofrekvenčního zesilovače se dvěma integrovanými obvody UL1413G. Jeho zjednodušené zapojení je na obr. 131. Zesilovač může odevzdat přibližně čtyřikrát větší výstupní výkon než zesilovač jednoduchý. Vstupní signál se přivádí současně na oba vstupy integrovaných obvodů tak, že na koncích zatěžovacích impedancí jsou napětí stejně absolutní velikosti, avšak s opačnou fazí. Napětí



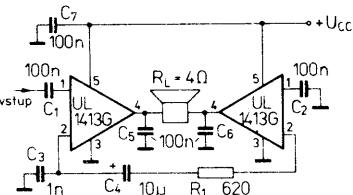
Obr. 131. Zjednodušené zapojení můstkového nf zesilovače výkonu

na zátěži je součtem obou napěti, absolutní velikost tohoto napěti je rovná přibližně dvojnásobku výstupního napěti jednoduchého zesilovače. Amplituda střídavého napěti na zátěži je navíc rovná přibližně napájecímu napětí zesilovače, efektivní velikost je dána 0,707 velikosti amplitudy. Výstupní výkon můstkového zesilovače může vypočítat podle vztahu

$$P_O = \frac{U_{CC}^2}{2R_L} \quad (4).$$

Dosadíme-li do vztahu (4) skutečné provozní podmínky, $U_{CC} = 14,4 \text{ V}, R_L = 4 \Omega$, dostaneme výstupní výkon 26 W. Tento údaj je však pouze teoreticky vypočtená velikost, která neuvažuje zanedbaná zjednodušení. V praxi se musí proto vypočítat výkon zmenšit o 15 až 20 %, což odpovídá uváděnému střednímu výstupnímu výkonu v tabulce elektrických údajů můstkového zesilovače, tedy 18 až 21 W. Dosažitelný výstupní výkon závisí však ještě i na dokonalosti chlazení integrovaného obvodu.

Praktické zapojení můstkového zesilovače se dvěma integrovanými obvody UL1413G je na obr. 132. Zapojení je skutečně více než jednoduché. Mimo oba integrované obvody vyžaduje pouze celkem pět kondenzátorů a dva rezistory. Elektrické údaje tohoto zesilovače jsou shrnutý v tab. 30. Popsaný můstkový zesilovač byl postaven na desce s plošnými spoji (obr. 133a, b) s rozměry pouze $63 \times 40 \text{ mm}$. Integro-



Obr. 132. Doporučené zapojení můstkového nf zesilovače výkonu se dvěma obvody UL1413G

vané obvody jsou umístěny svisle a chladicí plochou přišroubovány k dostatečně velkému chladiči.

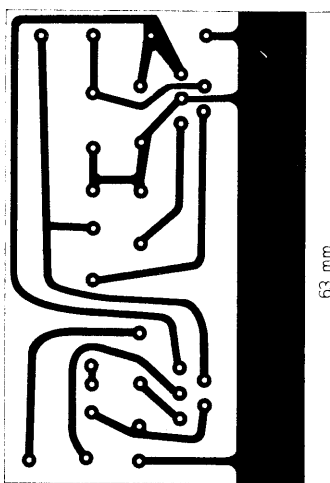
Protože požadavky na automobilové zesilovače a přijímače se stále více přiklázejí ke stereofonní verzi, je možné popsaný můstkový zesilovač konstruovat ve stereofonní úpravě na společné desce s plošnými spoji podle obr. 134a, na níž jsou umístěny dva zesilovače (pravý a levý kanál). Rozložení součástek na desce s plošnými spoji je na obr. 134b. Integrované obvody jsou připevněny ve svislé poloze na společném hliníkovém chladiči. Délka chladiče se rovná délce desky s plošnými spoji. Dosažené elektrické údaje jsou u obou zesilovačů shodné s údaji v tab. 30.

Tab. 30. Elektrické údaje můstkového zesilovače se dvěma obvody UL1413 v zapojení podle obr. 132

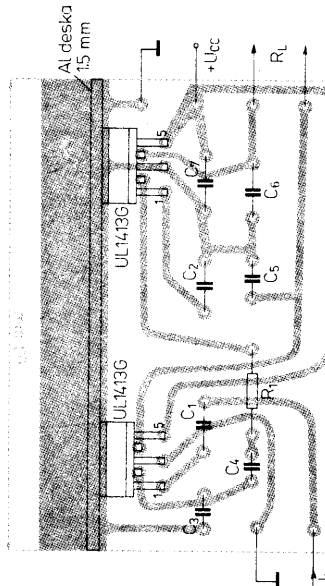
| | |
|---|--|
| Výstupní výkon, $U_{cc} = 14,4 \text{ V}$, $k = 10\%$: | $P_o = 18 \text{ až } 21 \text{ W}$, |
| $U_{cc} = 18 \text{ V}$: | $P_o = 32 \text{ až } 36 \text{ W}$. |
| Vstupní citlivost, $P_o = 6 \text{ W}$, $f = 1 \text{ kHz}$: | $U_i = 100 \text{ mV}$. |
| Šířka přenášeného pásmo, $P_o = 6 \text{ W}$: | $f = 12 \text{ až } 40 \text{ 000 Hz}$. |
| Součinitel nelineárního zkreslení, $P_o = 0,05 \text{ až } 16 \text{ W}$, | $k = 0,25 \%$. |
| $f = 1 \text{ kHz}$: | |
| Spotřeba napájecího proudu, $U_{cc} = 18 \text{ V}$, $P_o = 36 \text{ W}$: | $I_{cc} \leq 3 \text{ A}$. |

Popsaný můstkový zesilovač se napájí z akumulátoru v automobilu (12 V) nebo se může napájet ze stabilizovaného zdroje usměrněného napětí 15 až 18 V. Použije-li se síťový zdroj napájecího napětí, musí být jeho vnitřní odpor nepatrný (okolo 0,05 až 0,1 Ω). Zdroje s větším vnitřním odporem nejsou k napájení zesilovače vhodné, protože úbytek napětí, který vzniká při vrcholových výstupních proudech, způsobuje větší zkreslení zesilovaného signálu.

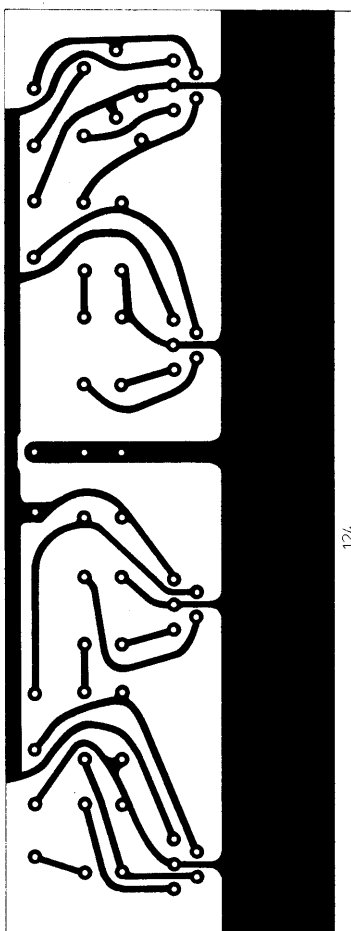
Na obr. 135 je upravené zapojení můstkového nf zesilovače výkonu se dvěma integrovanými obvody UL1413G, které je doplněno o některé další součástky. Především jsou to dva členy RC . Jeden je připojen paralelně ke svorkám reproduktoru (R_6 , C_6) a plní funkci vazby „bootstrap“, druhý člen (R_5 , C_5) je připojen mezi výstup a zem prvního integrovaného obvodu. Má stejné vlastnosti jako předchozí člen a upravuje impedanční přípůsobení vazby „bootstrap“. Invertující vstupy obou integrovaných obvodů jsou vázány elektrolytickými kondenzátory C_3 a C_4 , které mají odlišnou kapacitu (15 μF a 10 μF) proto, aby byl co nejlépe potlačen vliv změn napájecího napětí (SVR) (typicky 40 dB). Popsaný po-



Obr. 133a. Deska s plošnými spoji můstkového nf zesilovače výkonu se dvěma obvody UL1413G podle zapojení ní na obr. 132 (deska W212)



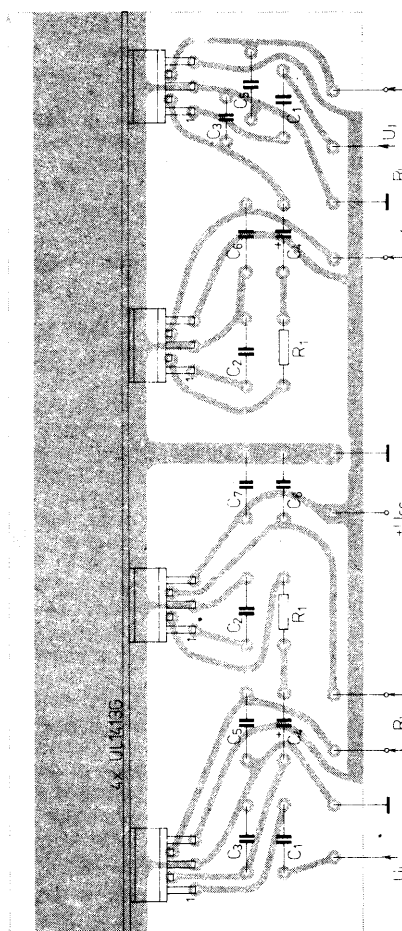
Obr. 133b. Rozmístění součástek



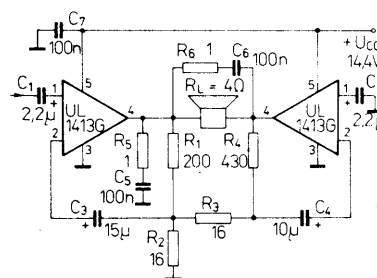
Obr. 134a. Deska s plošnými spoji W213 se dvěma můstkovými nf zesilovači výkonu se čtyřmi obvody UL1413G pro zesilování stereofonních signálů

někud složitější můstkový zesilovač může odevzdat nf výstupní výkon typicky do 20 W.

Integrovaný obvod UL1413G polské výroby je dobrou obdobou již známých starších, avšak dodnes hojně používaných nf zesilovačů výkonu TDA2003V, výrobce SGS, popříp. TDA2003 Telefunken. Z hlediska případných náhrad může obvod UL1413G nahradit méně výkonné obvody TDA2002 výrobce SGS, Telefunken apod.



Obr. 134b. Rozmístění součástek



Obr. 135. Zapojení můstkového nf zesilovače s výkonem 20 W

Nízkofrekvenční stereofonní regulátor zvuku, A1524D

Integrovaný obvod A1524D, výrobek podniku VEB Halbleiterwerk Frankfurt/Oder, NDR, je nízkofrekvenční stereofonní regulátor hlasitosti, výšek, hloubek a stereofonního vyvážení se zapínatelnou fyziologickou regulací hlasitosti, určený pro zpracování stereofonních signálů v nízkofrekvenčních zesilovačích třídy hifi a v televizních přijímačích se stereofonním nebo dvoukanálovým zvukovým doprovodem.

Integrovaný obvod sdružuje na společném čipu funkční skupiny: stabilizátor napětí, měnič nastavovacího napětí, nastavovací členy a zesilovače levého a pravého kanálu. Funkční skupinové zapojení obvodu A1524D je na obr. 136. Stabilizátor napětí vyrábí všechna potřebná napětí, popříp. proudy pro provoz jednotlivých integrovaných funkčních skupin. Dále se z něj odeberá referenční napětí pro napájení potenciometrů hlasitosti, hloubek, výšek a vyvážení kanálů. Výstup referenčního napětí se může navíc zatížit obvodem pro fyziologické nastavení hlasitosti.

Jako vstupní veličiny působí na měnič nastavovacího napětí vnější napětí pro regulaci hlasitosti U_1 , napětí pro regulaci výšek U_{10} , pro regulaci hloubek U_{16} a regulaci vyvážení kanálů U_{16} . Další veličinou je referenční proud $-I_{17}$ pro zapínání a vypínání fyziologického regulátoru hlasitosti. Uvedené vstupní veličiny jsou částečně navzájem svázány (např. regulace hlasitosti a regulace vyvážení kanálů, regulace hlasitosti a regulace hloubek při zapnutém fyziologickém regulátoru) a svými úrovněmi jsou přizpůsobeny tak, aby bylo možné vždy odebrat z nastavovacích prvků zpracovatelné řídicí napětí.

V nastavovacích členech a zesilovačích se zpracovávají nf signály v následujícím pořadí: regulace hlasitosti, regulace vyvážení kanálů, regulace hloubek a regulace výšek. Pro zpracování stereofonního signálu levého a pravého kanálu sdružuje obvod dva, přesně shodné zesilovací stupně, které se řídí shodnými signály z řídícího měniče.

Integrovaný obvod A1524D se dodává v plastovém pouzdru DIL-18 s 2x devíti vývodech ve dvou řadách s odstupem 2,54 mm, vzdálenost řad vývodů je 2,54 mm, vzdálenost řad vývodů je

7,62 mm podle normy TGL 26 713. Zapojení vývodů je patrné z funkčního skupinového zapojení a následujícího popisu funkce. **Funkce vývodů:** 1 — připoj regulátoru hlasitosti, 2 — připoj kondenzátoru pro blokování napájecího napětí, 3 — připoj napájecího napětí, 4 — vstup pravého kanálu (R), 5, 6 — připoj vnějšího člena pro řízení hloubek pravého kanálu, 7 — připoj vnějšího člena pro řízení výšek pravého kanálu, 8 — výstup pravého kanálu, 9 — připoj regulátoru hloubek, 10 — připoj regulátoru výšek, 11 — výstup levého kanálu, 12 — připoj vnějšího člena pro řízení výšek levého kanálu, 13, 14 — připoj vnějšího člena pro řízení hloubek levého kanálu, 15 — vstup levého kanálu (L), 16 — připoj regulátoru vyvážení kanálů, 17 — výstup referenčního napětí U_{17} , 18 — zemnicí vývod.

Všechny elektrické údaje integrovaného obvodu A1524D jsou v tab. 31. Specifikované charakteristické údaje platí v měřicím zapojení podle obr. 137. Všechny zakreslené spínače jsou v poloze 1. Uvedené údaje jednotlivých veličin platí při nejčastěji používaném napájecím napětí 15 V, kdy je spotřeba napájecího proudu obvodu maximálně 56 mA. Obvod se však může napájet napětím v rozsahu od 7,5 do 16,5 V. Vzhledem k poměrně velkému napájecímu proudu není popisovaný regulátor vhodný pro přístroje napájené z baterií: Při napájecím napětí 8,5 V je typická spotřeba napájecího proudu asi 27 mA, při napětí 12 V asi 35 mA.

Integrovaný obvod A1524D je obdobou stereofonního regulátoru zvuku TDA1524A výrobce Philips-Valvo, od něhož se mechanicky, zapojením vývodů a elektricky neliší. Výrobce však u něj zaručuje jen základní údaje a neuvedl celou řadu charakteristických údajů dynamických vlastností a všechny šumové vlastnosti, které jsou pro konstruktéry nezbytné, proto pouze informativně doplňujeme údaje v tabulce o vstupní a výstupní odpory obvodu, odvozené z literatury Philips (údaje se ovšem mohou odlišovat kus od kusu součástky):

vstupní odpor při

$$A_U = 20 \text{ dB} R_{1/4/18}, R_{1/15/18} \geq 10 \text{ k}\Omega,$$

$$A_U = -40 \text{ dB} R_{1/4/18}, R_{1/5/18} = 160 \text{ k}\Omega;$$

$$\text{výstupní odpor } R_{8/18}, R_{11/18} \leq 300 \text{ }\Omega.$$

Doporučené zapojení

Pro zpracování nízkofrekvenčních signálů v televizních přijímačích vybavených stereofonním nebo dvoukanálovým zvukovým doprovodem je vhodné doporučené zapojení integrovaného obvodu A1524D podle obr. 138. V podstatě je to komplexní regulátor stereofonního signálu, u něhož se při vedenými vnějšími řídícími napětími plynule nastavuje v obou kanálech úroveň hlasitosti, vyvážení kanálů, výšek a hloubek. Zapojení se vyznačuje jednoduchou konstrukcí a mimořádně malým počtem potřebných vnějších součástek. S ohledem na výkonné je zapojení nenákladné. Jestliže nepočítáme vstupní a výstupní vazební kondenzátory a čtyři nastavovací potenciometry, potřebuje obvod A1524D k zajištění svého provozu pouze 12 vnějších kondenzátorů.

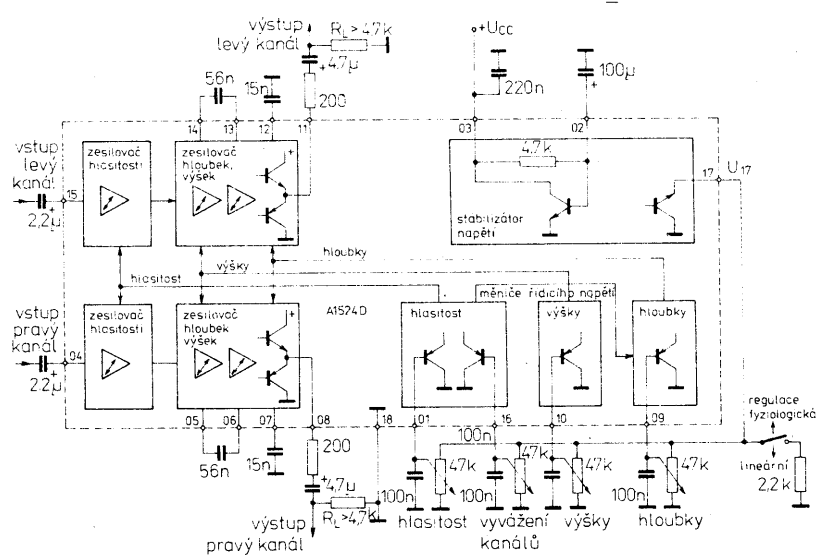
Jak vyplývá ze zapojení na obr. 138, má každý z obou kanálů vlastní nastavovací člen výšek, hloubek a zesílení signálu, kombinovaný s příslušným zesilovačem. Vnější regulační napětí, která se přivádějí na vývody 1, 16, 10 a 9, řídí vnitřní nastavovací člen nepřímo přes měnič nastavovacího napětí. Tím se umožnilo realizovat určitý průběh nastavovací charakteristiky a řízením zesílení nastavovat nejen hlasitost, ale i vyvážení obou kanálů.

Nastavovací napětí se mohou odebírat přímo z nastavovacích potenciometrů. Potenciometry se napájejí z vnitřního zdroje stabilizovaného napětí, a to přes vývod 17. Mohou se rovněž napájet z vnějšího zdroje referenčního napětí, což se používá např. při dálkovém ovládání nastavovaných veličin.

Nastavování hlasitosti se může volit jako kmitočtově nezávislé nastavení nebo jako fyziologické nastavení. Jestliže se přivede vnější zatěžovací proud $-I_{17}$ v rozmezí 1,5 mA až 10 mA na vývod 17, nezmění se kmitočtový průběh s nastavováním hlasitosti. Při proudu $-I_{17}$ do 0,5 mA se naproti tomu automaticky přizpůsobí kmitočtový průběh zpracovávaného zvuku fyziologii lidského ucha a to zcela nezávisle na nastavení regulátoru hlasitosti.

Celkový zisk, kterého lze dosáhnout v popsaném zapojení v každém kanálu, je nejméně 21,5 dB. Rozsah nastavování výšek a hloubek ΔA_{UH} , ΔA_{UT} je ve zjednodušeném zapojení podle obr. 136 pouze s kondenzátory s kapacitou 56 nF mezi vývody 5 a 6, jakož i 13 a 14, a kondenzátory 15 nF mezi vývodem 7 a zemí, jakož i vývodem 12 a zemí, okolo ± 16 dB. V úplném zapojení je možné rozsah nastavení rozšířit na hlubokých kmitočtech na ΔA_{UT} asi na $+22 \text{ dB} / -40 \text{ dB}$. Obvod je dále vybaven stejnosměrnou zpětnou vazbou, která slouží pro zvětšení vybuzení. K tomuto účelu slouží vnější členy RC 10 k Ω , 2,2 μF a 33 k Ω , zapojené mezi vývody 6 a 8, popříp. 13 a 11. Rozsah vybuzení výstupu se tak zvětší z původního výstupního efektivního napětí 1,5 V asi na dvojnásobek (3 V).

Aby byl provoz stabilní a při zatěžování kapacitě větší než 200 pF, doporučuje se zapojit sériově rezistory do obvodů výstupů (vývody 11 a 8) (doporučený odpor 200 Ω). Celkový zatěžovací odpor výstupů 11 a 8 nesmí být menší



Obr. 136. Funkční skupinové zapojení obvodu A1524D s vyznačenými vnějšími součástkami

Tab. 31. Elektrické údaje A1524D

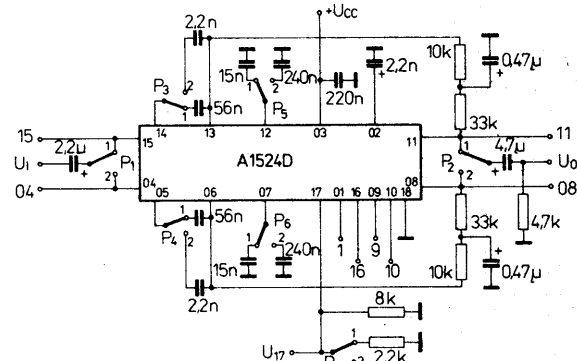
| Mezní údaje | |
|---|---|
| Napájecí napětí: | $U_{CC} = 0 \text{ až } 20 \text{ V}$. |
| Vstupní napětí pravého kanálu: levého kanálu: | $U_{4/18} = 0 \text{ až } U_{CC}$, $U_{15/18} = 0 \text{ až } U_{CC}$. $U_{17/18} = 4,5 \text{ až } 0,5U_{CC} - 0,7 \text{ V}$. $-I_{17} = 0 \text{ až } 10 \text{ mA}$. |
| Referenční napětí — vývod 17 ¹⁾ : | $U_1 = 0 \text{ až } 17 \text{ V}$, |
| Referenční proud — vývod 17: | $U_9 = 0 \text{ až } 17 \text{ V}$, |
| Nastavovací napětí pro hlasitost: | $U_{10} = 0 \text{ až } 17 \text{ V}$, |
| hloubek: | $U_{16} = 0 \text{ až } 17 \text{ V}$. |
| výšek: | $\theta_I \leq 150^\circ \text{C}$. |
| vyvážení kanálů: | |
| Teploprůchodus: | |
| Doporučené provozní podmínky | |
| Napájecí napětí: | $U_{CC} = 7,5 \text{ až } 16,5 \text{ V}$. |
| Charakteristické údaje | |
| Platí při $U_{CC} = 15 \text{ V}$, $\theta_I = 25^\circ \text{C}$ — 5 K , $f = 1 \text{ kHz}$, $U_1 = U_9 = U_{10} = U_{18} = 0,5U_{17}$, měřeno v zapojení podle obr. 137 | |
| Klíčový napájecí proud, $U_1 = 0 \text{ V}$: | $I_{CC} \leq 56 \text{ mA}$. |
| Vstupní napětí stejnosměrné, $U_1 = 0 \text{ V}$ pravého kanálu: levého kanálu: | $U_{4/18} = 6,5 \text{ až } 8,2 \text{ V}$, $U_{15/18} = 6,5 \text{ až } 8,2 \text{ V}$. |
| Výstupní napětí stejnosměrné, $U_1 = 0 \text{ V}$ pravého kanálu: levého kanálu: | $U_{8/18} = 5,7 \text{ až } 9,3 \text{ V}$, $U_{11/18} = 5,7 \text{ až } 9,3 \text{ V}$. |
| Referenční napětí, $U_1 = 0 \text{ V}$: | $U_{17/18} = 3,3 \text{ až } 4,2 \text{ V}$. |
| Zisk ²⁾ , $U_1 = 100 \text{ mV}$, $U_{17} = U_1$: | $A_U \text{ max} = 20 \text{ až } 26 \text{ dB}$. |
| Potlačení záblesku ²⁾ , $U_1 = 1 \text{ V}$, $U_1 = 0 \text{ V}$: | $A_U \text{ max} \leq -67 \text{ dB}$. |
| Souběh ⁴⁾ , $U_{1/1} = 0,7U_{17}$, $U_{1/2} = 0,8U_{17}$, $U_1 = 100 \text{ mV}$ ³⁾ : | $-2,5 \text{ až } +2,5 \text{ dB}$, |
| $U_1 = 1 \text{ V}$, $U_{1/3} = 0,4U_{17}$: | $2,5 \text{ až } +2,5 \text{ dB}$. |
| Zdůraznění výšek ²⁾ ⁵⁾ , $U_1 = 100 \text{ mV}$, $U_{10} = U_{17}$: | $A_{UH} \text{ max} \geq 10 \text{ dB}$. |
| Potlačení výšek ²⁾ ⁵⁾ , $U_1 = 1 \text{ V}$, $U_{10} = 0 \text{ V}$: | $A_{UH} \text{ min} \leq -10 \text{ dB}$. |
| Zdůraznění hloubek ²⁾ ⁶⁾ , $U_1 = 100 \text{ mV}$, $U_9 = U_{17}$: | $A_{UT} \text{ max} \geq 10 \text{ dB}$. |
| Potlačení hloubek ²⁾ ⁶⁾ , $U_1 = 100 \text{ mV}$ ³⁾ : | $A_{UT} \text{ min} \leq -10 \text{ dB}$. |
| $U_1 = 1 \text{ V}$, $U_9 = 0 \text{ V}$: | |
| Zdůraznění hloubek při zapnutém fyziologickém řízení ²⁾ ⁷⁾ , | |
| $U_1 = 1 \text{ V}$, $U_1 = 0,3U_{17}$: | $\Delta A_{UT} \geq 6 \text{ dB}$. |
| Zkreslení, $U_1 = 1 \text{ V}$: | $k \leq 0,5\%$. |
| Nastavení rovnováhy kanálů ⁸⁾ , $U_1 = 1 \text{ V}$, $U_{18/1} = 0,5U_{17}$: | |
| $U_{18/2} = U_{17}$ pravý kanál: levý kanál: | $\Delta A_{UB} = -3 \text{ až } +3 \text{ dB}$, |
| $U_{18/2} = 0 \text{ V}$ pravý kanál: levý kanál: | $\Delta A_{UB} \leq -30 \text{ dB}$, |
| Přeslechový útlum, $U_1 = 1 \text{ V}$, $U_1 = 0,6U_{17}$: | $\Delta A_{UB} = -3 \text{ až } +3 \text{ dB}$. |
| | $a_p \geq 46 \text{ dB}$. |

- Platí při $U_{CC} \geq 10,8 \text{ V}$, fyziologická regulace zapnuta.
- Přepínače P_1 a P_2 : zkouší se v poloze 1 levý kanál, v poloze 2 pravý kanál.
- Vyvážení $U_{18} : U_{16} = \Delta A_U = 0 \text{ dB}$ při $U_1 = 100 \text{ mV}$.
- $\Delta A_U = \frac{U_O \text{ při } P_2 \text{ a } P_1 \text{ v poloze 1}}{U_O \text{ při } P_2 \text{ a } P_1 \text{ v poloze 2}}$
- $\Delta A_{UH} = \frac{U_O \text{ při } P_5 \text{ a } P_6 \text{ v poloze 2}}{U_O \text{ při } P_5 \text{ a } P_6 \text{ v poloze 1}}$
- $\Delta A_{UT} = \frac{U_O \text{ při } P_3 \text{ a } P_4 \text{ v poloze 2}}{U_O \text{ při } P_3 \text{ a } P_4 \text{ v poloze 1}}$
- $\Delta A_{UT} = \frac{U_O \text{ při } P_7 \text{ v poloze 2}}{U_O \text{ při } P_7 \text{ v poloze 1}}$
- $\Delta A_{UB} = \frac{U_O \text{ při } U_{18/1}}{U_O \text{ při } U_{18/2}}$

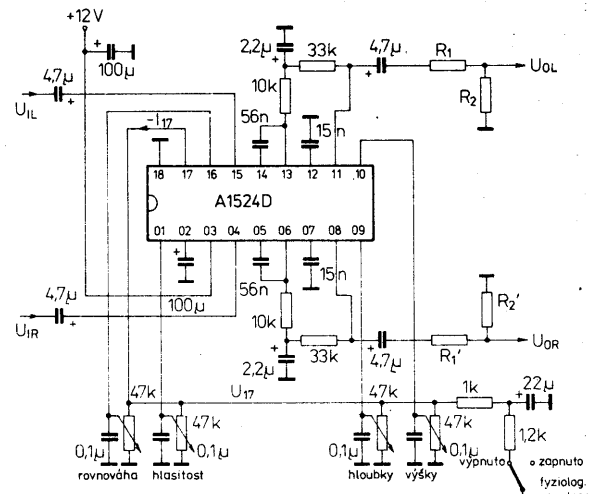
$$9. a_p R-L = \frac{U_O \text{ při } P_2 \text{ v poloze 1}}{U_O \text{ při } P_2 \text{ v poloze 2}} \quad (P_1 \text{ v poloze 1})$$

$$a_p L-R = \frac{U_O \text{ při } P_2 \text{ v poloze 2}}{U_O \text{ při } P_2 \text{ v poloze 1}} \quad (P_1 \text{ v poloze 2})$$

10. Vyvážení U_1 na $U_O = 2,2 \text{ V}$.



Obr. 137. Měřicí zapojení integrovaného obvodu A1524D



Obr. 138. Doporučené provozní zapojení A1524D

než $4,7 \text{ k}\Omega$. Odpor rezistorů R_1 , R_2 , popříp. R'_1 , R'_2 se musí volit podle vstupních podmínek a požadavků na přizpůsobení následujícího koncového zesilovače. S typickým činitelem zkreslení pod 0,5 % je popsáné regulační zapojení vhodné nejen pro použití v moderních televizních přijímačích, vybavených stereofonním zvukem nebo dvoukanálovým zvukovým doprovodem, ale též v jiných stereofonních

přístrojích napájených ze sítě a v autopřijímačích.

Na tomto místě je třeba připomenout, že popsáne doporučené zapojení s obvodem A1524D je vhodné hlavně pro lineární regulaci stereofonního signálu, která je sice moderní, ale ne-představuje špičkové řešení. Modernější regulační obvod typu TDA3820 má ve srovnání s popsanou součástkou v podstatě stejnou funkci, avšak všechny nastavovací a přepínací postupy se řídí číslicovými signály, které dodává mikropočítač pomocí sběrnice I²C. Na-

stavované veličiny, hlavně hlasitost, vyvážení kanálů, hloubky a výšky, je možné číslicovým řízením nastavovat jen stupňovitě, avšak v jemných, nepozorovatelných stupních. Dá se proto předpokládat, že obvod bude v další fázi vývoje digitalizace televizních přijímačů nahrazen v dokonalejších přijímačích modernější součástkou.

MĚNIČ NAPĚTI A ŘÍDICÍ OBVODY ZOBRAZOVÁCŮ

Integrovaný měnič záporného napětí, U7660DC

Velmi zajímavý a užitečný monolitický integrovaný měnič napětí U7660DC pro malé zdroje napětí je výrobkem podniku VEB Halbleiterwerk Frankfurt/Oder, NDR. Měnič je schopen přeměnit kladné vstupní napětí v rozsahu 2 V až 10 V na záporné napětí 2 V až 10 V, přičemž úplné zapojení měniče vyžaduje v provozu pouze dva vnější kondenzátory. Integrovaný obvod je vyroben technologií CMOS.

Obvod U7660DC se vyznačuje především typickou výkonovou účinností asi 98 %, typickou účinností měniče napětí při chodu naprázdno až 99,9 %, širokým rozsahem napájecího napětí od 2 V do 10 V, jednoduchým způsobem násobení napětí, kdy záporné výstupní napětí U_0 je rovno vstupnímu napětí U_i . Integrovaný obvod se může používat v jednoduchém měniči při napájecím napětí +5 V k vytvoření symetrického zdroje výstupního napětí ±5 V. Jednoduchá zapojení vyžadují pouze dva vnější kondenzátory s nekritickou tolerancí kapacity, neboť se používají ve funkci napájecího „čerpadla“ a zásobníku energie.

Mimo širokou oblast použití měničů napětí s obvodem U7660DC v průmyslové a spotřební elektronice naleznou měniče své uplatnění jako napájecí zdroje v systémech zpracování dat především jako nezávislé zdroje záporného napětí, jako zdroje záporného napětí dynamických pamětí RAM přímo na deskách s plošnými spoji a jako lokální zdroje záporného napětí mikroprocesorových obvodů typu 8080 a 8085.

Funkční skupinové zapojení integrovaného obvodu U7660DC je na obr. 139. Na společném čipu je sdružen stabilizátor stejnosměrného napětí, os-

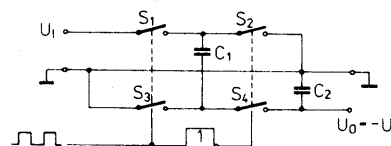
cilátor RC, dělič 2:1, čtyři výkonové tranzistory MOS a zapojení pro přepínání logiky. Logické zapojení udržuje na substrátu nejzápornější napětí a zajišťuje, že substrát tranzistorů MOS s vodivostí n bude mít vždy potřebné závěrné napětí, čímž se zamezí zablokování funkce měniče. Nezatižený oscilátor pracuje s kmitočtem 10 kHz.

Měničový obvod U7660DC se dodává v plastovém pouzdru DIL-8 s 2× čtyřmi vývody ve dvou řadách s odsutnem 2,5 mm a vzdáleností řad vývodů 7,5 mm podle normy TGL 26 713. Funkce vývodů: 1 — vývod není zapojen, 2 — přívod kladné elektrody kondenzátoru C_1 , 3 — zem, 4 — přívod —pólu kondenzátoru C_1 , 5 — výstup, 6 — vývod LV (spojuje se se zemí pro obcházení vnitřního sériového regulátoru a zlepšení funkce při malém napětí; při středním a větším napětí od +3,5 do 10 V zůstává vývod LV volný, čímž se zabrání zablokování funkce měniče), 7 — vstup oscilátoru, 8 — přípoj kladného napájecího napětí.

Popis funkce

Integrovaný obvod U7660DC obsahuje všechny potřebné součástky pro funkci měniče záporného napětí s výjimkou dvou vnějších kondenzátorů C_1 a C_2 . Oba kondenzátory mají být elektrolytické s předepsanou polaritou. Způsob provozu měniče si k lepšímu pochopení popíšeme na příkladu zapojení ideálního měniče záporného napětí podle obr. 140.

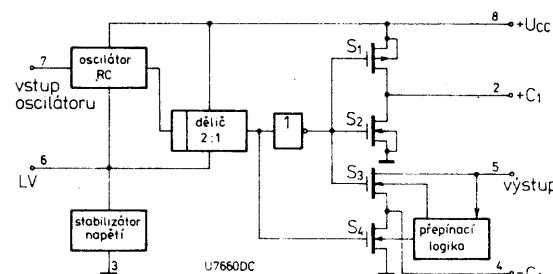
Ideální zdvojovač napětí se skládá ze spínačů S_1 až S_4 a kondenzátorů C_1 a C_2 . Dvojice spínačů S_1 , S_3 a S_2 , S_4 řídí v protifázi invertor. V první polovině pracovního cyklu jsou sepnuty spínače S_1 a S_3 , spínače S_2 a S_4 jsou rozpojeny. Během doby sepnutí spínačů se nabíjí kondenzátor C_1 až na velikost vstupního napětí U_i . V druhé polovině pracovního cyklu jsou spínače S_1 a S_3 rozpojeny, spínače S_2 a S_4 sepnuty. Tím je kladná elektroda kondenzátoru



Obr. 140. Základní funkční zapojení měniče záporného napětí

C_1 uzemněna, záporná elektroda spojena s kondenzátorem C_2 . Vzniklý propojením kondenzátorů proteče náboj z kondenzátoru C_1 do kondenzátoru C_2 , takže na kondenzátoru C_2 bude záporné napětí. Oba pracovní cykly se stále opakují, na kondenzátoru C_2 je výsledné napětí stejně jako přiváděné vstupní napětí U_i , však obrácené polarity. Ideální spínač předpokládá nezatižený výstup a tudíž výstupní napětí stejně jako vstupní napětí. Integrovaný obvod U7660DC se svou funkcí přibližuje popsané funkci ideálního spínače mnohem lépe než jiné existující mechanické či jiné měniče.

Všechny čtyři použité spínače v integrovaném obvodu U7660DC jsou výkonové spínače MOS (viz obr. 139 a 140). Spínač S_1 je tranzistor s vodivostí typu p, ostatní tři spínače S_2 až S_4 mají vodivost typu n. Hlavní problém tohoto řešení integrace použitých součástek spínačů spočívá v tom, že substráty spínačů S_3 a S_4 musí mít vždy obrácené předpěti vůči jejich emitorům, avšak ne tak velké, aby degradovalo jejich vnitřní odpor v sepnutém stavu. Navíc na začátku provozu (při spouštění měniče) a při zkratu výstupního obvodu, kdy je výstupní napětí U_0 rovno napájecímu napětí U_{CC} , se musí automaticky sledovat předpěti substrátu a upravovat na potřebnou velikost. Nedokonalý způsob sledování těchto změn a automatického řízení předpěti má za následek větší spínací ztrátu měniče a pravděpodobné zablokování funkce měniče.



Obr. 139. Funkční skupinové zapojení U7660DC

Tab. 32. Elektrické údaje U7660DC

| Mezní údaje | |
|---|--|
| Napájecí napětí: | $U_{CC} = 0$ až 10,5 V. |
| Doba přípustného výstupního zkratového proudu při $U_{CC} \leq 5,5$ V ¹⁾ : | I_{OS} neomezený. |
| Ztrátový výkon ²⁾ : | $P_{tot} \leq 300$ mW. |
| Vstupní napětí oscilátoru ³⁾ : | $U_{osc} = -0,3$ až $U_{CC} + 0,3$ V, $U_{osc} = U_{CC} - 5,5$ až $U_{CC} + 0,3$ V. vývod musí zůstat volný. |
| Provozní údaje v měřicím zapojení (obr. 141) | |
| Napájecí napětí spínač LV otevřen, dioda D_x na výstupu: spínač LV otevřen, bez diody D_x : spínač LV sepnut, dioda D_x na výstupu: spínač LV sepnut, bez diody D_x : | $U_{CC} = 3,5$ až 10 V, $U_{CC} = 3,5$ až 6,5 V, $U_{CC} = 2,0$ až 4,0 V, $U_{CC} = 2,0$ až 4,0 V. $\theta_a = 0$ až -70 °C. |
| Rozsah provozních teplot okolí: | |
| Charakteristické údaje Platí při $\theta_a = 25$ °C, $C_1 = C_2 = 10 \mu F$, vývod 7 volný | |
| Napájecí proud: $U_{CC} = 5$ V, $R_L = \infty$, LV otevřen: Výstupní odpor ⁴⁾ : | $I_{CC} = \text{jmen. } 110; \leq 500 \mu A$. |
| $U_{CC} = 5$ V, $I_O = 20$ mA, LV otevřen: $U_{CC} = 2$ V, $I_O = 3$ mA, LV sepnut: | $R_O = \text{jmen. } 55; \leq 100 \Omega$. |
| Účinnost napájecího převodu ⁵⁾ , $U_{CC} = 5$ V, $R_L = \infty$, LV otevřen: Výkonová účinnost ⁶⁾ , | $R_O \leq 300 \Omega$. |
| $U_{CC} = 5$ V, $I_O = 2$ mA, LV otevřen: | $\eta_U = \text{jmen. } 99,9; \geq 97\%$. |
| | $\eta_{PW} = \text{jmen. } 95; \geq 87\%$. |

1. Při provozním napětí $U_{CC} > 5,5$ V se musí zabránit jakýmkoli zkrátku na výstupu.

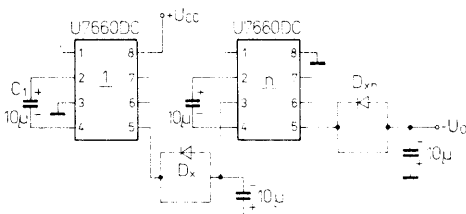
2. Přípustný ztrátový výkon se musí při teplotě okolí $\theta_a \geq 50$ °C lineárně zmenšit o 5,5 mW/K.

3. Spojení jednoho vývodu s napětím větším než $U_{CC} + 0,3$ V nebo zemním potenciálem menším o 3,3 V může způsobit zničení součástky. Napětí se smí přivést na vstupy teprve po připojení napájecího napětí.

4. Výstupní odpor je dán vztahem $R_O = \frac{U_{CC} - I_U O}{I_O}$

5. V měřicím zapojení.

6. Výkon P_W je dán vztahem $P_W = \frac{I_O U_L}{(I_{CC} + I_O) U_{CC}}$



Obr. 145. Kaskádní zapojení integrovaných obvodů U7660DC, které slouží k násobení záporného výstupního napětí

výstupního napětí, které pak bude větší než napájecí napětí měniče. Praktická hranice počtu kaskádně zapojených obvodů je omezena konečnou účinností obvodů, kterých se může kaskádně zapojit nejvýše 10. Maximální napájecí napětí 10 V se nesmí překročit u žádného obvodu. Výstupní napětí měniče je definováno vztahem

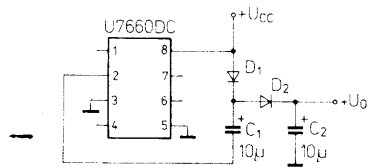
$$-U_o = -n(U_{cc}) \text{ při napěti } U_{cc} = 2,0 \text{ V až } 6,5 \text{ V},$$

$$-U_o = -n(U_{cc} - U_{FD}) \text{ při } U_{cc} = 6,5 \text{ V až } 10 \text{ V},$$

kde n je počet kaskádně zapojených obvodů U7660DC.

Výsledný výstupní odpor bude dán přibližně součtem výstupních odporů jednotlivých obvodů U7660DC podle vztahu

$$R_{OK} = \sum_1^n R_O.$$



Obr. 146. Zapojení měniče kladného výstupního napětí s U7660DC

Integrovaný obvod U7660DC se může použít rovněž k násobení kladného napětí v zapojení podle obr. 146. V tomto případě se využívá čerpacího invertujícího spínače obvodu k nabíjení kondenzátoru C_1 , až na napěťovou úroveň, danou rozdílem napájecího napětí a úbytku napětí v propustném směru diody D_1 . Během pracovního cyklu se přivádí součet napětí z kondenzátoru C_1 a napájecího napětí přes diodu D_2 na kondenzátor C_2 . Na kondenzátoru C_2 proto bude výstupní napětí dané vztahem

$$+U_o = 2U_{cc} - 2U_{FD},$$

neboli dvojnásobek napájecího napětí, zmenšený o součet úbytků napětí na diodách D_1 a D_2 . Výstupní odpor násobiče kladného napětí závisí na výstupním zatěžovacím proudu. Jako typický při napájecím napětí +5 V a výstupním zatěžovacím proudu 10 mA se uvádí výstupní odpor asi 60 Ω.

Zapojení podle obr. 147 sdružuje funkci jednoduchého měniče zápor-

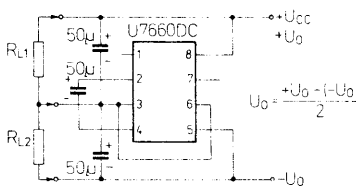
ného napětí a zdvojovače kladného napětí, v němž se používá pouze jeden obvod U7660DC. Tímto zapojením je možné získat na výstupu jedno kladné napětí +9 V a jedno záporné napětí -5 V při napájecím napětí měniče +5 V. Kondenzátory C_1 a C_3 slouží jako čerpací a zásobníkové kondenzátory při generování záporného napětí, kondenzátory C_2 a C_4 pro zdvojování kladného napětí. Popsaný kombinovaný zdroj má jistě nevýhody. Využití měniče k vytvoření přídavného kladného napětí zvětšuje výstupní impedance společného budiče „nábojového čerpadla“ na vývodu 2 integrovaného obvodu. Výstupní záporné napětí je dáno vztahem

$$-U_{o1} = U_{cc} - U_{FDx},$$

kladné výstupní napětí

$$+U_{o2} = 2U_{cc} - U_{FD1} - U_{FD2}.$$

Oboustranné charakteristiky integrovaného obvodu U7660D je možno využít k rozdělení většího napětí do dvou polovin v zapojení podle obr. 148.



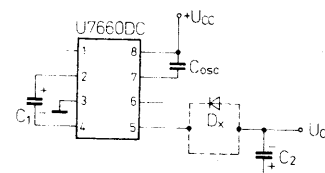
Obr. 148. Zapojení měniče s obvodem U7660DC se symetrickým výstupním napětím

Kombinovaná zátěž se rozdělí rovnoměrně do dvou polovin (R_{L1} , R_{L2}). Protože spínač je rozdělen paralelní zátěží, je výstupní impedance mnohem menší než u základního měniče a z výstupu se může odebírat větší proud. Popsané zapojení při napájecím napětí +5 V vytvoří na výstupu symetrické napětí +5 V a -5 V. Rozšíří-li se měnič na kaskádní zapojení podle vzoru na obr. 145, je možné při napájecím napětí +15 V získat na výstupech symetrická napětí +7,5 V a -7,5 V, popříp. měnič upravit na zdroj jednoho napětí -15 V. Takto upravený zdroj má však podstatně větší sériový výstupní odpor (okolo 250 Ω).

Některá praktická použití měničů s obvodem U7660DC vyžadují změnu kmitočtu vnitřního oscilátoru ať již z důvodu připadného šumu či z jiných důvodů. Zvýšit oscilační kmitočet je možné přivedením vnějšího signálu hodinového kmitočtu na vstup oscilátoru a přebuzením oscilátoru v zapojení podle obr. 149. Spolehlivý provoz vyža-

s vnitřním hodinovým signálem stejně jako s vnitřním generátorem je polovinou oscilačního kmitočtu. Výstupní přenos nastává s kladnou náběhovou hranou hodinového signálu.

Zvětšit účinnost měniče s obvodem U7660DC je možné snížením oscilačního kmitočtu při malé úrovni zátěže. Zmenšit ztráty během spínání je možné v typickém zapojení podle obr. 150. Snížení kmitočtu oscilátoru má



Obr. 150. Zapojení pro snížení pracovního kmitočtu vnitřního oscilátoru obvodu U7660DC

ovšem za následek nežádoucí zvětšení impedance čerpacího (C_1) a zásobníkového (C_2) kondenzátoru. Uvedenou skutečnost je možné využít zvětšením kapacity kondenzátorů C_1 a C_2 o stejný součinitel, kterým byl snížen kmitočet oscilátoru. Například přidáním kondenzátoru 100 pF mezi vývod 7 (vstup oscilátoru) a kladný pól napájecího napětí U_{cc} se sníží kmitočet oscilátoru o 1 kHz (činitel 10) od jeho jmenovitého kmitočtu 10 kHz. Proto je nutné o stejný činitel zvětšit kapacity kondenzátorů C_1 a C_2 (z 10 μF na 100 μF).

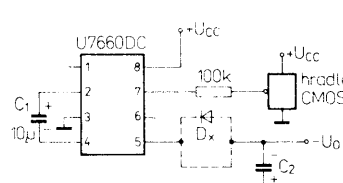
Řídicí obvod optoelektronických zobrazovačů LED, UL1970N

Integrovaný obvod UL1970N polské výroby podniku UNITRA-CEMI je řídicí obvod optoelektronických zobrazovacích jednotek, složených ze šestnácti svítivých diod. Obvod je určen k použití jako řídicí prvek pro indikátory vybuzené či jiných elektronických stavů jako vyládění přijímaných rozhlasových stanic v přijímačích, vyhodnocování v měřicí a kontrolní technice. Funkční skupinové zapojení je na obr. 151.

Integrovaný obvod je v plastovém pouzdru DIL-16 typu CE71 s 2x osmi vývody ve dvou řadách. Funkce vývodů: 01 — zemnicí bod, 02 až 05 — výstupy pro připojení katod svítivých diod, 06 až 09 — výstupy pro připojení anod svítivých diod, 10 — napájecí kladné napětí $+U_{cc}$, 11 — vstup řídicího napětí U_{11} , 12 — referenční napětí maximální U_{REFmax} , 14 — anoda vnitřního stabilizátoru, 15 — vstupní napětí U_I , 16 — vstupní napětí U_{PH} .

Integrovaný obvod UL1970N se skládá ze čtyř funkčních skupin — z porovnávacího zapojení vstupního napětí, matice, řídicího zapojení pro rozsvěcování svítelných diod, regulačního zapojení intenzity jasu svítivých diod a zobrazovače.

V porovnávacím zapojení vstupního napětí, v důsledku použití napěťových sledovačů, nepřekročí vstupní proud vstupů (vývody 11, popříp. 12 a 13) asi 2 μA. Předností tak malého vstupního proudu je, že obvod nezatěžuje připojené spolupracující obvody. Zapojení rozeznává tři vstupní signály: řídicí



Obr. 149. Způsob připojení vnějšího signálu hodinového kmitočtu k měniči napětí U7660DC

duje zařadit sériový rezistor s odporem 100 kΩ do obvodu mezi vstupem vnitřního oscilátoru obvodu a výstupem vnějšího generátoru. Má-li konstrukčér k dispozici generátor vnějšího hodinového signálu s logikou TTL, je žádoucí použít rezistor s odporem 10 kΩ mezi výstupem generátoru a kladným napájecím napětím U_{cc} . Čerpací kmitočet

Tab. 33. Elektrické údaje UL1970N
Mezní údaje ($\theta_a = 25^\circ C$)

| | |
|--|--|
| Napájecí napětí: | $U_{CC} = 11 \text{ až } 18 \text{ V}$. |
| Vstupní napětí řídícího vstupu: | $I_{11} \leq 6 \text{ V}$. |
| Vstupní napětí referenčních vstupů: | $I_{12} \leq 6 \text{ V}$. |
| Vstupní napětí referenčních vstupů: | $I_{13} \leq 6 \text{ V}$. |
| Výstupní stabilizovaný proud: | $I_{OZ 14} \leq 5 \text{ mA}$. |
| Ztrátový výkon celkový: | $P_{tot} \leq 0,6 \text{ W}$. |
| Rozsah pracovních teplot okolí: | $\theta_a = -25 \text{ až } +70^\circ C$. |
| Rozsah skladovacích teplot: | $\theta_{sig} = -40 \text{ až } +125^\circ C$. |
| Charakteristické údaje | |
| Platí při $\theta_a = 25^\circ C$, $U_{CC} = 12 \text{ V}$ | |
| Napájecí proud obvodu, | |
| $I_{14} = 0, I_{16} = 0$: | $I_{CC} = \text{jmen. } 4; \leq 10 \text{ mA}$. |
| Vstupní proud řídícího vstupu: | $-I_{11} \geq 2 \mu\text{A}$. |
| Vstupní proud referenčního vstupu: | $-I_{12} \geq 2 \mu\text{A}$. |
| Vstupní proud referenčního vstupu: | $-I_{13} \geq 2 \mu\text{A}$. |
| Rozdíl referenčního napětí: | $\Delta U_{12}/U_{13} = 1,4 \text{ až } 6 \text{ V}$. |
| Rozdíl referenčního napětí, pro plynulé řízení rozsvěcování světelných diod: | $\Delta U_{12}/U_{13} \geq 1,4 \text{ V}$. |
| pro skokové rozsvícení světelných diod: | $\Delta U_{12}/U_{13} \geq 4 \text{ V}$. |
| Stabilizované napětí, $I_{14} = 300 \mu\text{A}$: | $U_{14} = \text{jmen. } 5; \leq 6 \text{ V}$. |
| $I_{14} = 5 \text{ mA}$: | $U_{14} \geq 4,5 \text{ V}$. |
| Vstupní napětí referenčního vstupu, maximální: | $U_{13 \text{ REF max}} = 1,4 \text{ až } 6 \text{ V}$. |
| minimální: | $U_{12 \text{ REF min}} = 0 \text{ až } 4,6 \text{ V}$. |
| Tolerance předních napětí použitých svítivých diod: | $\Delta U_F \leq 0,5 \text{ V}$. |
| Výstupní proud pro řízení svítivých diod: | $I_O \leq 50 \text{ mA}$. |

napětí U_{11} , dolní referenční napětí $U_{12 \text{ REF min}}$ a horní referenční napětí $U_{13 \text{ REF max}}$.

Řídící vstupní napětí U_{11} se porovnává pomocí rozdílových zesilovačů s každým ze šestnácti prahových napětí, příslušejících do uzavřeného rozsahu, vymezeného napětím $U_{13 \text{ max}}$ a $U_{12 \text{ min}}$, určenými referenčními napětmi U_{13} a U_{12} . K zajištění stálosti jmenovaných napětí se může použít výstupní napětí vnitřního stabilizátoru, který je vyveden na samostatný vývod obvodu. Informace o výsledku porovnávání napětí se přivádějí do maticové jednotky, kde se přemění na řídící informace pro přímé řízení připojených svítivých diod. Součástí tohoto zapojení je osm pracovních tranzistorů. K tomu, aby svítila jedna ze šestnácti svítivých diod, musí být ve vodivém stavu současně dva tranzistory.

Ctvrtá funkční skupina plní funkci regulátoru jasu svítivých diod, a to změnou proudu proudového zdroje, z něhož jsou napájeny všechny diody.

Na obr. 152 je měřicí zapojení obvodu UL1970N, z něhož je patrný způsob připojení a spolupráce svítivých diod. Při rozpojeném přepínači, kdy uvažujeme vstupní proudy I_{11} , I_{12} a I_{13} jako zanedbatelně malé, můžeme stanovit výstupní napětí $U_{13} = 4,5 \text{ V}$. Protože napětí U_{12} je nulové, bude rozdíl napětí $U_{13} - U_{12} > 4 \text{ V}$. Výsledkem bude při změnách vstupního napětí U_{11} pohasnutí první svítivé diody, následující dioda se rozsvítí velmi rychle, skoro skokově. Při sepnutém přepínači se změní napětí U_{13} , rozdíl napětí mezi vývody 12 a 13 bude asi 1,4 V. Nyní při změnách vstupního napětí U_{11} bude

postup zhasínání a rozsvěcování sériově zapojených svítivých diod pomalejší, což se bude projevovat plynulým přemísťováním svítícího bodu.

Doporučená zapojení

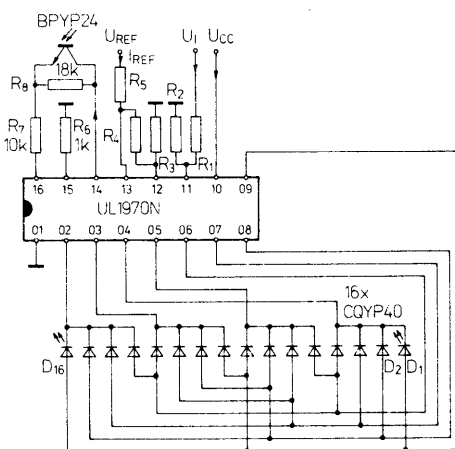
Základní zapojení integrovaného obvodu UL1970N, v němž mohou připojené svítelné diody plnit funkci indikátoru naladění stanice na stupni rozhlasového přijímače, je na obr. 153. Z provedeného rozboru zapojení platí následující vztahy a to za předpokladu, že $R_1 = R_5$ a $R_2 = R_3 + R_4$:

$$\begin{aligned} U_{REF}/(U_{13} - U_{12}) &= (R_3 + R_4 + R_5)/R_4 \\ U_{REF}/U_{1 \text{ min}} &= (R_3 + R_4)/R_3 = \end{aligned}$$

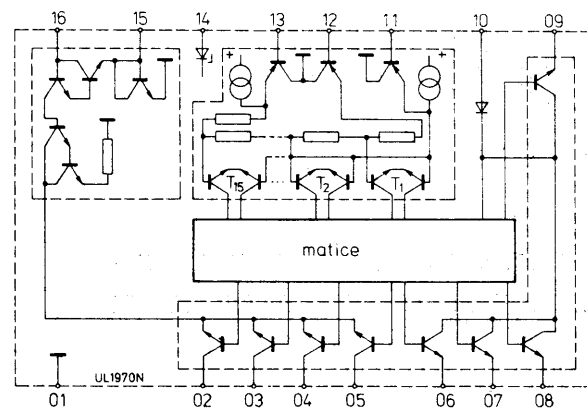
$$1 + (R_4/R_3).$$

Bude proto platit $U_{1 \text{ max}} = U_{REF}$.

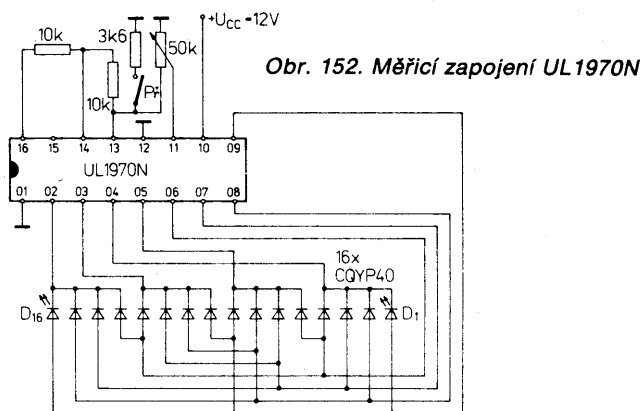
Dále uvedený příklad poslouží lepší názorností výpočtu. Stanovíme si, že $U_{1 \text{ max}} = U_{CC} = 18 \text{ V} = U_{REF}$.



Obr. 153. Základní zapojení UL1970N ve spojení se 16 svítivými diodami



Obr. 151. Funkční skupinové zapojení řídícího obvodu UL1970N zobrazovač LED

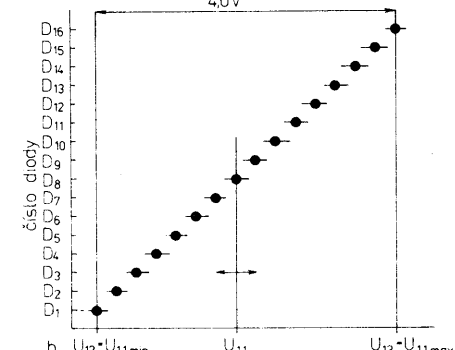
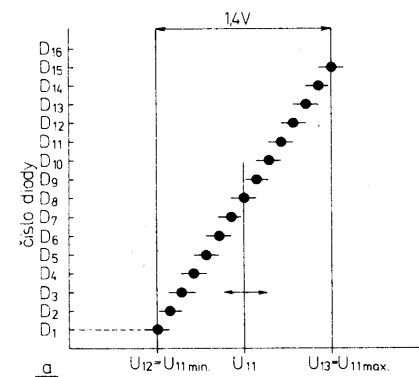


Obr. 152. Měřicí zapojení UL1970N

Využitím předchozích tří vztahů vyházíme z toho, že k rozsvícení sériově spojených světelných diod je nutná změna vstupního napětí o $\Delta U_1 = 1 \text{ V}$. Proto dostaneme:

$$U_{1 \text{ min}} = U_{1 \text{ max}} - 15\Delta U_1 = 3 \text{ V}.$$

K plynulému rozsvěcování sériově za-



Obr. 154. Grafická závislost rozsvěcování sériově zapojených svítivých diod v závislosti na vstupním napětí: a) platí při $U_{13} - U_{12} = 1,4 \text{ V}$, b) platí při $U_{13} - U_{12} = 4,0 \text{ V}$

pojených diod, kdy je $U_{13} - U_{12} = 1,4$ V, platí vztahy:

$$(R_3 + R_4 + R_5)/R_4 = 18/1,4 = 12,9,$$

$$R_4/R_3 = (18/3) - 1 = 5.$$

Ke skokovému rozsvěcování sériově zapojených diod, kdy je $U_{13} - U_{12} = 4$ V, platí vztahy

$$(R_3 + R_4 + R_5)/R_4 = 18/4 = 4,5,$$

$$R_4/R_3 = (18/3) - 1 = 5.$$

Abychom nemuseli uvažovat vstupní proudy I_{11} , I_{12} , I_{13} , stanovíme referenční proud I_{REF} asi 100 μ A, takže bude platit $R_3 + R_4 \approx 150$ k Ω .

Odpory rezistorů pak jsou:

— v případě plynulého rozsvěcování svítivých diod

$$R_1 = 140$$
 k Ω = R_5 , $R_3 = 2,4$ k Ω ,

$$R_2 = 15$$
 k Ω , $R_4 = 12$ k Ω ;

— v případě skokového rozsvěcování svítivých diod

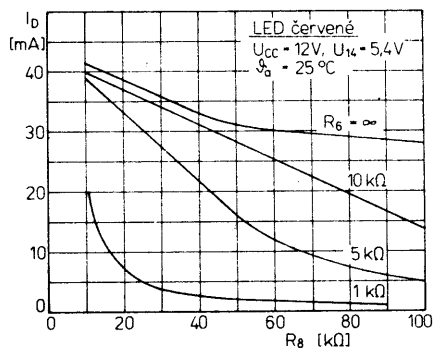
$$R_1 = 110$$
 k Ω = R_5 , $R_3 = 5,6$ k Ω ,

$$R_2 = 39$$
 k Ω , $R_4 = 33$ k Ω .

Závislost rozsvěcování sériově zapojených svítivých diod na vstupním napětí je v tabulce a graficky znázorněna na obr. 154.

| Dioda | Napětí U_1 [V] |
|----------|------------------|
| D_1 | < 4 |
| D_2 | 4 |
| D_3 | 5 |
| D_4 | 6 |
| . | . |
| D_{14} | 16 |
| D_{15} | 17 |
| D_{16} | > 17 |

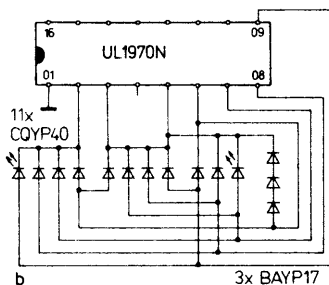
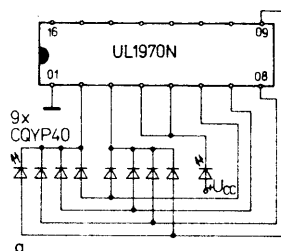
Použíjte-li se ve spojení s řídicím obvodem UL1970N fototranzistor, lze regulovat jas svítivých diod v závislosti na vnějším osvětlení. Proud svítivými diodami je možné měnit rovněž změnou odporu rezistorů R_6 a R_8 shodně s diagramem na obr. 155. Při



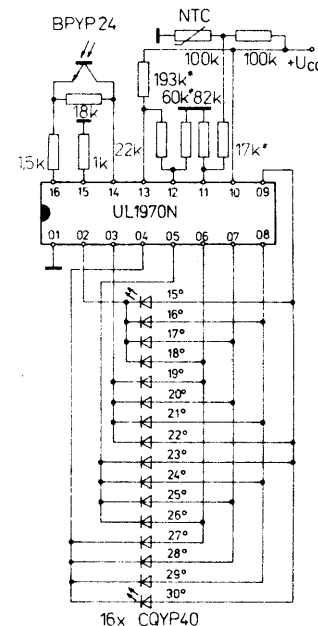
Obr. 155. Závislost proudu červené svítící svítivé diody v závislosti na odporu rezistoru R_8 při konstantních rezistorech R_6 (viz obr. 153)

odporech rezistorů podle obr. 153 se změní proud protékající jednotlivými diodami z 5 mA v době uzavření fototranzistoru na 20 mA, kdy je fototranzistor zcela otevřen vlivem osvětlení okolí.

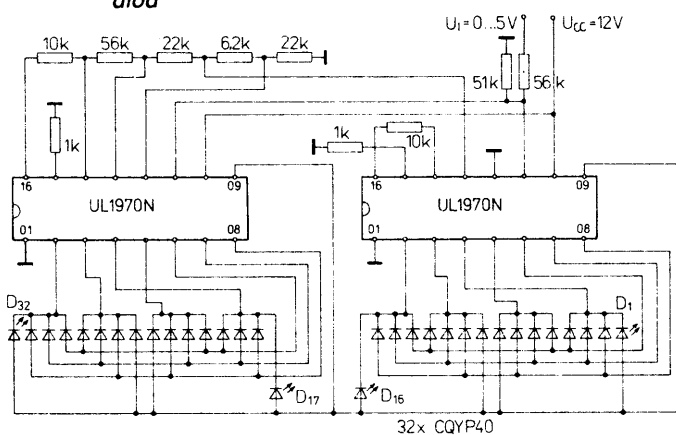
Integrovaný obvod UL1970N může pracovat i s menším počtem svítivých diod v zapojení podle obr. 156. Obráncené, sériovým spojením dvou obvodů UL1970N podle obr. 157 lze řídit 30 svítivých diod. Zapojení je navrženo tak, že horní hranice referenčního napětí prvního obvodu splývá s dolní hranicí referenčního napětí druhého obvodu. Tato úprava způsobuje, že po diodě č. 15 se rozsvítí diody D_{16} a D_{18} .



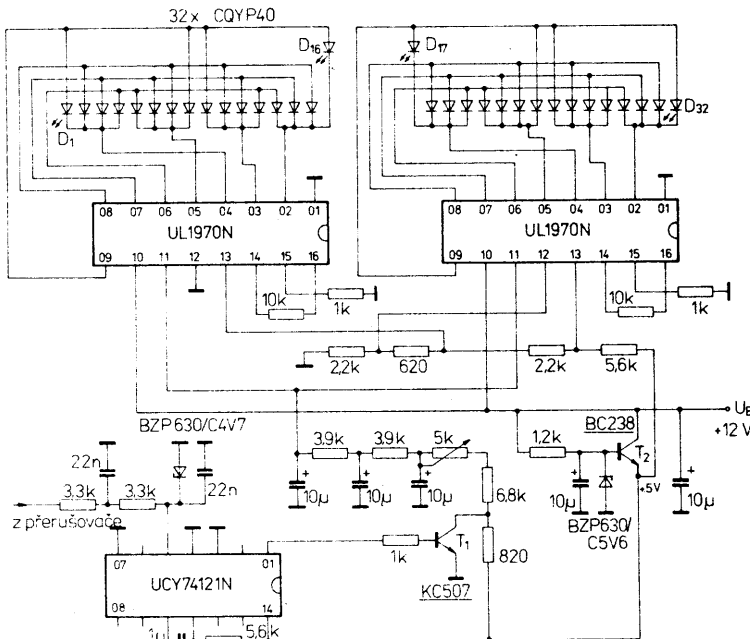
Obr. 156. Dopravné zapojení UL1970N pro spolupráci s menším počtem svítivých diod; a) devět pripojených diod, b) jedenáct pripojených diod



Obr. 158. Zapojení pokojového teploměru s rozsahem +15 až +30 °C s obvodem UL1970N



Obr. 157. Dopravné zapojení dvou obvodů UL1970N pro řízení 30 sériově zapojených svítivých diod



Obr. 159. Zapojení tachometru pro automobily se dvěma obvody UL1970N a třiceti svítivými diodami

Diody D₁₆ a D₁₇ nepracují jako součást vytvořené světelné stupnice, neboť jedna z nich je trvale ve stavu vodivém, tzn. když svítí jedna z diod D₁ až D₁₅ (D₁₈ až D₃₂), svítí současně dioda D₁₇ (D₁₆). Odpor rezistorů jsou voleny tak, aby U_i = 0 až 5 V, U₁₁ = 0 až 2,4 V, U₁₃ – U₁₂ = 1,4 V (každého obvodu). Při změnách vstupních napětí od 0 V do 10 V se musí zvolit odpory rezistorů R₁ = 76 kΩ, R₂ = 24 kΩ.

Neobvyklé zapojení pokojového teploměru s integrovaným obvodem UL1970N, který měří teplotu okolí v rozsahu +15 až +30 °C, je na obr. 158. Použije-li se doporučených součástek, rozsvítí se vždy jedna z řady svítivých diod. Citlivost teploměru na změnu teploty je 1 °C. K měření teploty se používá tepelné čidlo – termistor s tepelným součinitelem odporu asi –5,1 %/K. Závislost změny odporu termistoru na změně teploty musí být zcela lineární v teplotním rozsahu od +15 do +30 °C.

Přesnost měření teploměru ovlivňuje především kvalita použitého termistoru. Vlastní přesnost měřidla je ±0,2 °C. Napětí na vývodu 11 se pohybuje v mezích od 3,9 do 5,4 V. Použije-li se termistor s jiným teplotním součinitelem odporu, musí se vhodně upravit odpory rezistorů, označených hvězdičkou. Napájecí napětí termistoru musí být dobré stabilizované. Fototranzistor řídí jas svítivých diod v závislosti na vnějším osvětlení.

Na obr. 159 je zapojení rychloměru pro použití v automobilech, který pracuje se dvěma obvody UL1970N. Impulzy z přerušovače automobilu, jejichž rozkmit je omezován vstupním obvodem, jsou přiváděny na vstup B integrovaného logického obvodu UCY74121N. Na jeho výstupu dostaneme sled obdělníkových impulů s konstantní dobou trvání, avšak s proměnným kmitočtem, který se pak přivádí na vstup dolní propusti. Napětí na výstupu propusti (je úměrné kmitočtu) řídí funkci dvou integrovaných obvodů UL1970N. Připojený sloupový zobrazovač tvorí 30 svítivých diod (diody D₁₆ a D₁₇ nejsou součástí vytvořené světelné stupnice). Tranzistor T₂ stabilizuje napájecí napětí obvodu UCY74121N a dodává vzorkovací napětí k vytvoření referenčních úrovní integrovaných obvodů UL1970N.

Integrované obvody UL1970N polské výroby jsou plnou a velmi zdařilou elektrickou a funkční obdobou řídícího obvodu Siemens UAA170.

Řídící obvod zobrazovačů se svítivými diodami, UL1980N

Integrovaný obvod polské výroby Unitra-CEMI je řídící obvod pro řízení optoelektronických zobrazovačů složených ze dvanácti svítivých diod libovolné barvy svitu. Je vhodný pro použití v měřicích přístrojích, v rozhlasových přijímačích jako ukazatel náladení na zvolený kmitočet, ukazatel výstupního výkonu, vybuzení, v automobilové elektronice jako ukazatel hladiny paliva v nádrži, teploty chladicí kapaliny, teploty oleje, rychlosti otáčení motoru, skutečné rychlosti vozidla apod.

Funkční skupinové zapojení integrovaného obvodu UL1980N je na obr. 160. Obvod se skládá ze čtyř základních funkčních skupin: obvodu pro identifikaci vstupních napětí, matice, obvodu zapojujícího jednotlivé svítivé diody a řídícího obvodu intenzity jasu světelných diod.

Součástka je v plastovém pouzdru DIL-18 s 2x devíti vývody ve dvou řadách. Funkce vývodů: 01 – zemníci bod, 02 – řízení jasu svítivých diod, 03 – referenční napětí maximální, 04, 05, 06, 07, 08, 09, 10, 11, 12, 13, 14, 15 – výstupy pro řízení svítivých diod č. 12, 11, 10, 9, 8, 7, 6, 5, 4, 3, 2 a 1, 16 – referenční napětí minimální, 17 – vstup řídícího napětí, 18 – přípoj kladného napájecího napětí.

Vstupní obvod, složený ze tří tranzistorů p-n-p, z nichž každý pracuje v zapojení se společným kolektorem, nepřetržitě čte velikost přivedených vstupních napětí. Proud báze každého tranzistoru není větší než 1 μA. Tento malý vstupní proud je příčinou, proč UL1980N prakticky nezatěžuje připojené spolupracující součástky a obvody. Zapojení rozeznává tři vstupní napětí: řídící napětí U₁₇, referenční napětí minimální U₁₆ a referenční napětí maximální U₃.

Celý rozsah referenčního napětí, ohrazený určitou dolní a hornímezí, je uvnitř obvodu rozdelen do dvanácti úrovní prahových napětí. Vstupní řídící napětí U₁₇ je porovnáváno dvanácti komparátory s každým prahovým napětím. Informace o výsledcích porovnávání jsou pak předávány logickým členům, plnícím funkci dvouvstupových logických členů AND. Komparátory a členy AND patří do obvodu matice, který přímo vydává rozkazy do řídícího obvodu pro zapojování svítivých diod. V tomto obvodu pracuje 12 tranzistorů, rozdělených do tří sekcí po čtyřech tranzistorech. První tranzistor v sekci zapíná první diodu dané sekce. Druhý tranzistor spíná současně s vypnutím prvního (tento postup spínání probíhá plynule, nikoli skokově). Sepnutím druhého tranzistoru se rozsvítí druhá svítivá dioda a vlivem sériového zapojení diod v sekci se svít první diody udrží.

Svítí-li všechny diody, je v každé sekci vodivý jen poslední tranzistor. Rozdíl propustného napětí jednotlivých diod v sekci nesmí překročit 1 V. V jednotlivých sekcích se mohou použít svítivé diody s různou barvou záření, např. v první sekci čtyři červené svítící diody, v druhé sekci čtyři žluté, ve třetí sekci čtyři zelené svítící diody.

Čtvrtá funkční skupina je určena pro řízení intenzity jasu svítivých diod. Využívá se při tom změny kapacity proudového zdroje, který je zatížen rezistory pro vytváření napětí bází pracovních tranzistorů. Tranzistory pracují v zapojení se společným emitorem.

Z měřicího zapojení integrovaného obvodu UL1980N na obr. 161 je patrná spolupráce se svítivými diodami. Ke změně jasu diod slouží potenciometr P₁ (má odpor 100 kΩ), který je připojen přes rezistor R₈ k vývodu 02 integrovaného obvodu. Spolu s rezistorem R₇ tvoří napěťový dělič. Takto vytvořené zapojení reguluje proud, který protéká svítivými diodami, v mezích 0 až 10 mA. jestliže se vývodu 02 nevyužije, je jas diod největší.

Při daných odporech rezistorů je horní mez referenčního napětí asi 1,1 V (úbytek napětí, způsobený průtokem vstupních proudů I₃, I₁₆, I₁₇ je zanedbatelný a neuvažujeme jej). Protože napětí U₁₆ je rovno 0 V, je rovněž rozdíl napětí U₃ – U₁₆ = 1,1 V. To způsobuje, že při zvětšení vstupního řídícího napětí U₁₇ rosvěcují jednotlivé diody pomalu – při vhodném umístění svítivých diod to působí dojem plynulého prodlouženého světelného sloupce. Použije-li se potenciometr P₂ s odporem 50 kΩ, je horní hranice referenčního napětí 4 V, neboť rozdíl napětí U₃ – U₁₆ = 4 V. V tomto případě bude postup rozsvěcování svítivých diod rychlý, lze říci, že téměř skokový. Uvedený případ znázorňuje diagram na obr. 162.

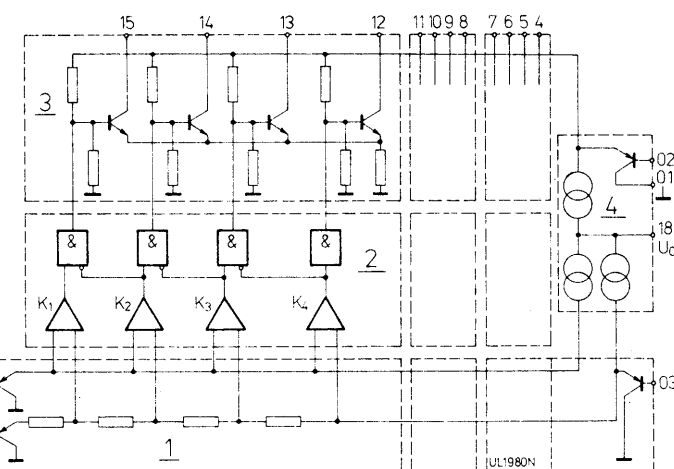
Základní provozní zapojení integrovaného obvodu UL1980M, který spolupracuje se 12 světelnými diodami, je na obr. 163. Potřebné vlastnosti vnějších součástek lze vypočítat podle následujícího postupu. Z analýzy použitého zapojení za předpokladu, že R₂ = R₃ = R₄, platí

$$\frac{U_{\text{REF}}}{U_3 - U_{16}} = \frac{R_3 + R_4 + R_5}{R_4} \quad (1)$$

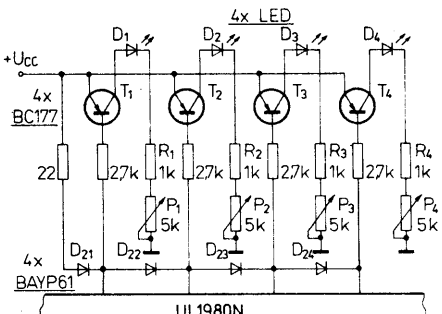
$$\frac{U_{\text{REF}}}{U_{16}} = \frac{R_3 + R_4 + R_5}{R_3} \quad (2)$$

$$U_3 = U_{17\max} = U_{1\max} \frac{R_2}{R_1 + R_2} \quad (3)$$

$$\frac{U_{1\max}}{U_{1\min}} = \frac{U_3}{U_{16}} = \frac{R_3 + R_4}{R_3} = \frac{R_3 + R_4}{R_3} \quad (4)$$



Obr. 160. Funkční skupinové zapojení integrovaného obvodu UL1980N



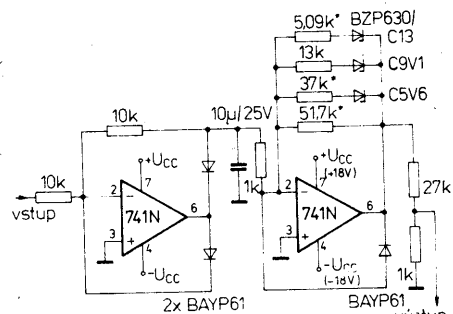
Obr. 164. Způsob zvětšení proudu svítivých diod nebo indikačních žárovek vnitřními diskrétními tranzistory, připojenými k UL1980N

Doporučená zapojení Voltmetr s logaritmickou stupnicí

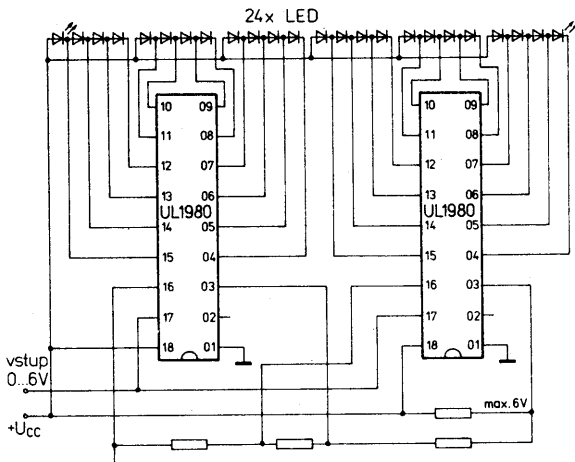
Na obr. 166 je zapojení, které approximuje logaritmickou charakteristiku. Zenerové diody s napětím 5,6 V, 9,1 V a 13 V, zapojené sériově s rezistory R₂₂, R₂₃, R₂₄ a dále rezistor R₂₁ tvoří zápornou zpětnou vazbu operačního zesilovače. Díky tomuto uspořádání má zesilovač nelineární přenosovou charakteristikou mezi vstupem a výstupem. Vztah mezi vstupním napětím U₁ a výstupním napětím U₀ udává závislost

$$U_0 = \log|U_1| \text{ při } U_1 < 0.$$

Stálosť výstupního napětí jako funkci změn teploty lze zlepšit, jestliže se



Obr. 167. Upravené vstupní zapojení voltmetru s obvodem UL1980N podle obr. 166 pro měření střídavých napětí



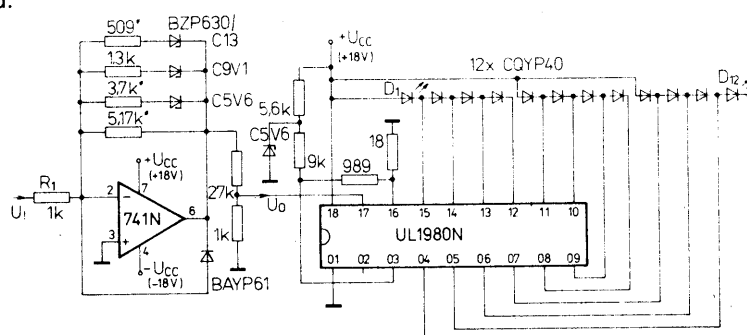
Obr. 165. Kaskádní zapojení dvou UL1980N pro řízení 24 svítivých diod

sí se však zvážit a zajistit dodržení maximálního propustného proudu svítivých diodami, který je u většiny typů běžných diod 20 mA. V popsaném zapojení se mohou použít místo svítivých diod rovněž indikační žárovky, jak již bylo uvedeno. Největší proud, který je možno použít pro rozsvícení žárovek, je 100 mA.

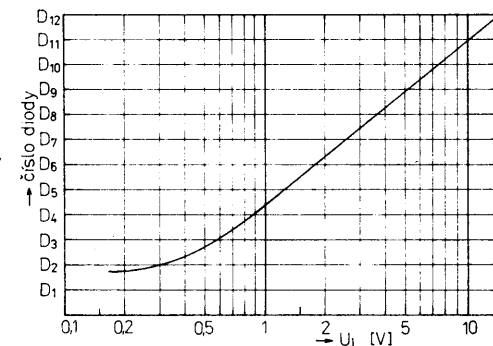
Kaskádným zapojením dvou integrovaných obvodů UL1980N podle obr. 165 se může řídit 24 svítivých diod. Řídicí vstupy (vývody č. 17) obou obvodů se při tomto řízení navzájem propojí. Horní úroveň referenčního napětí prvního obvodu současně určuje dolní úroveň referenčního napětí druhého obvodu. Podle uvedeného vzoru se může zapojit až sedm integrovaných obvodů UL1980N, které jsou pak schopny řídit celkem 84 světelných diod. Tuto metodou lze zhotovit velkoplošný zobrazovací panel ze svítivých diod.

zapojí paralelně se Zenerovými diodami křemíkové diody, půlované v propustném směru, nebo lze použít teplotně kompenzované Zenerové diody.

Popsaným voltmetrem se mohou měřit stejnosměrná napětí. Jestliže se zapojení upraví a rozšíří o další přídavný operační zesilovač typu 741 (MAA741C, ULY7741N apod.), který pracuje jako vrcholový detektor, a současně se změní odpory rezistorů, je možné měřit popsaným voltmetrem stejnosměrná a střídavá napětí. Zapojení úplného přidavného obvodu, který spolupracuje s řídicím obvodem UL1980N, je na obr. 167. Rozsah měřených napětí je uveden v grafické závislosti na obr. 168. Počáteční a konečný bod (vstupní napětí) pro rozsvícení první až dvanácté světelné diody je pro stejnosměrné a střídavé napětí odlišný:



Obr. 166. Zapojení stejnosměrného voltmetu s obvodem UL1980N a 12 svítivými diodami, které pracují jako světelné stupnice s logaritmickým průběhem



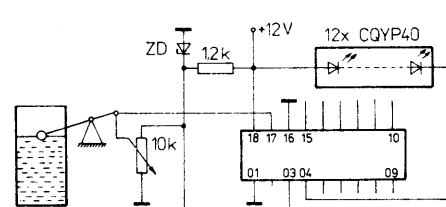
Obr. 168. Rozsvícování jednotlivých svítivých diod D₁ až D₁₂ v závislosti na vstupním řídicím napětí

| Měřené napětí | Při napětí svít dioda D ₁ | Při napětí svít dioda D ₁₂ |
|-------------------------------|--------------------------------------|---------------------------------------|
| stejnosměrné napětí [V] | 0,28 | 15,5 |
| střídavé napětí efektivní [V] | 0,2 | 11 |

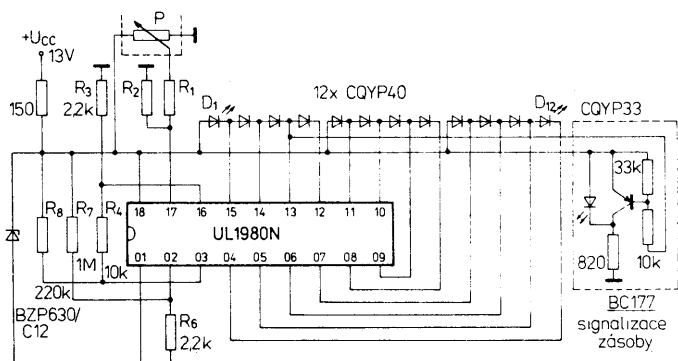
Grafická závislost na obr. 168 znázorňuje postupné rozsvcování svítivých diod v závislosti na velikosti vstupního napětí. Přesnost měření je od třetí diody asi $\pm 4\%$. U prvních dvou svítivých diod se skutečná charakteristika odchyluje od předpokládané charakteristiky vzhledem k počáteční vodivosti použitých Zenerových diod.

Elektronický ukazatel obsahu kapaliny v zásobníku

Užitečnou informaci o výšce hladiny kapaliny v zásobníku může spolehlivě podávat hladinový indikátor, který pracuje s řídicím integrovaným obvodem UL1980N v zapojení podle obr. 169. Výšku hladiny (a tím přepončtený uskladněný objem kapaliny) udává sloupec svítivých diod. Plovák, který se pohybuje na hladině kapaliny, je dru-



Obr. 169. Zapojení indikátoru hladiny kapaliny v zásobníku s obvodem UL1980N a stupnicí s 12 svítivými diodami



Obr. 170. Zapojení indikátoru hladiny kapaliny s obvodem UL1980N a přídavným tranzistorovým obvodem pro indikaci zásoby

hým koncem mechanicky spojen s běžcem potenciometru P. V závislosti na poloze běžce potenciometru se přivádí měnící se vstupní řídici napětí U_{17} v rozsahu od 0 V (při plném zásobníku) do napětí U_3 (při jeho úplném vyprázdnění). Napětí horní meze referenčního napětí U_3 stabilizuje Zenerova dioda, jež napětí se může pohybovat od 1,4 V do 6 V.

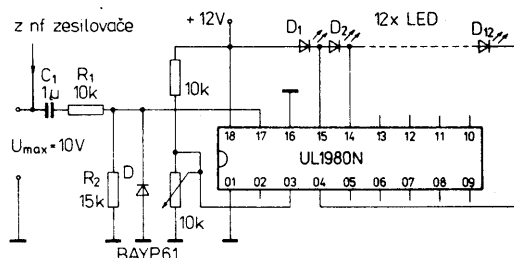
Často bývá užitečná přídavná pomocná informace o stavu minimální zásoby kapaliny v nádrži. Zapojení obvodu UL1980N se signalizací minimální zásoby odlišnou barevnou indikací (např. žlutou svítivou diodou) je na obr. 170. Dioda D_{13} se rozsvítí v okamžiku, kdy je tranzistor T_1 uzavřen, není-li vodivý třetí a čtvrtý tranzistor první sekce integrovaného obvodu (v tomto okamžiku svítí pouze dvě první světelné diody). Tranzistor T_1 může další úpravou sloužit jako řídící součástka reléového nebo tyristorového spínače, který spíná chod navazujících elektrických přístrojů (např. elektromotorku, který čerpá novou náplň kapaliny do zásobníku apod.). Popsaným způsobem je možné stále udržovat předepsanou hladinu kapaliny v zásobníku.

Indikátor výstupního napětí nf zesilovače

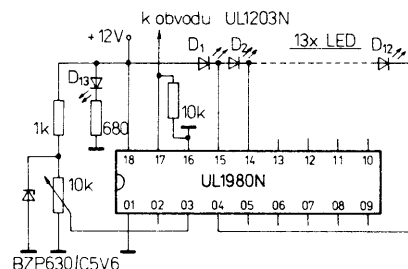
Zapojení indikátoru nízkofrekvenčního výstupního napětí zesilovače s využitím integrovaného obvodu UL1980N a minimálním počtem vnějších součástek je na obr. 171. Kondenzátor C_1 vyhlašuje zbytkovou stejnosměrnou složku, dioda D_1 svádí na zemní potenciál kladnou polovinu signálu. Odpory dílčí R_1/R_2 omezují napětí připojené na vstup řídícího obvodu na max. 6 V.

Předností popisovaného indikátoru se světelními diodami je okamžitá funkce bez setrvačnosti. Reakce na změnu vstupního napětí je okamžitá (ve srovnání s výchylkovými indikátory). Použijí-li se světelné diody s různobarevným svitem, je možné navíc rozdělit rozsah nízkofrekvenčních napětí, přiváděných ze zesilovače výkonu, na optimální a nežádoucí s ohledem na možnost zkreslení (indikátor udává podle rozsahu signálu budící signál malý nebo příliš velký). Doplní-li se obvod vstupním členem s přenosovou charakteristikou $U_o = kU^2$, může se dosáhnout lineární závislosti mezi jasem jednotlivě spínáných svítivých diod a výstupním výkonem zesilovače.

a výstupním výklopném zeshorače.
Podobné zapojení s obvodem
UL1980N se může použít v rozhlasovém přijímači jako elektronický indikátor velikosti přijímaného signálu (im-

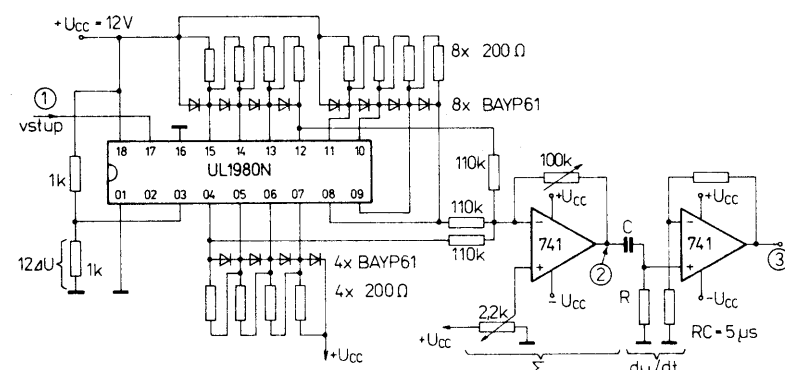


Obr. 171. Světelný indikátor výstupního napětí nf zesilovače výkonu

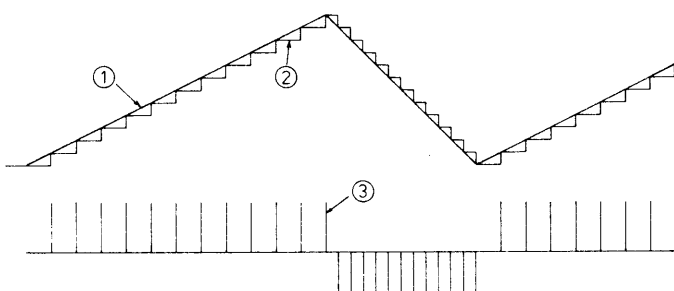


Obr. 172. Světelný indikátor přijímacího vysokofrekvenčního signálu s obvodem UL1980N, který spolupracuje s integrovaným obvodem přijímacího UL1203N (TCA440)

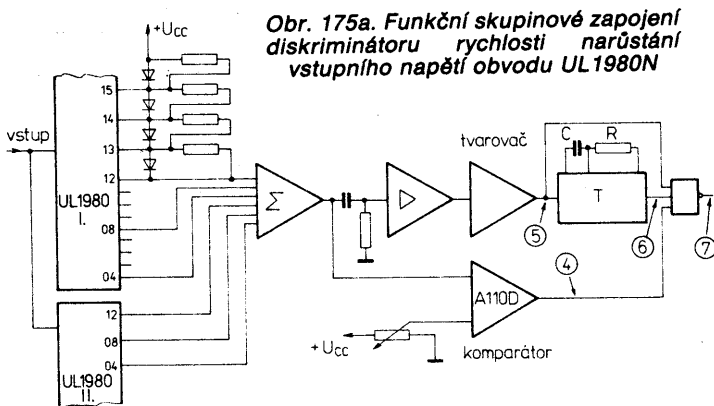
vých diod je použito v popisovaném zapojení křemíkových diod BAYP61 (KA206) s připojenými paralelními rezistory s odporem 200 Ω . Připojení (uvedené do vodivého stavu) každé z použitých diod vlivem změny vstupního napětí U_{17} , o rozdíl napětí 1/12. ($U_3 - U_{16}$) je způsobeno zmenšením jednoho z uložených napětí, podléhajícího součtu napětí, o „skoku“ 0,7 V. Na výstupu sumátoru je možné odebrat napětí se skokovým průběhem, které se mění v závislosti na změnách vstupního napětí (viz diagram na obr. 174).



Obr. 173. Základní zapojení obvodu UL1980N jako převodníku vstupního signálu.



Obr. 174. Graficky znázorněný průběhy signálů v bodech 1, 2 a 3 zapojení podle obr. 173



Obr. 175a. Funkční skupinové zapojení diskriminátoru rychlosti narušení vstupního napětí obvodu UL1980N

Aby se skokové vstupní napětí měnilo nezkresleně a s největší možnou rychlosťí, musí vstupní signál splňovat podmíinku

$$\frac{dU_1}{dt} \Big|_{\text{max}} \leq \frac{1}{12} (U_3 - U_{16}) \quad [\text{V}/\mu\text{s}]$$

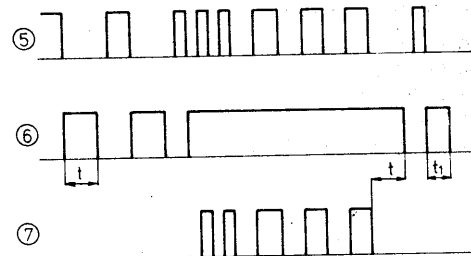
Referenční napětí mezi horní a dolní úrovní $U_3 - U_{16}$ se vyrovnává v rozmezí od 5 do 6 V. Z výstupu sumátoru se přivádí signál do rozdilového zesilovače s konstantní časovou konstantou 5 μs . Polarizace impulsů, získaných z tohoto obvodu, svědčí o zvětšování nebo zmenšování hrany vstupního signálu, naproti tomu odstup mezi impulsy o rychlosti změn napětí.

Rozšířením navrženého zapojení je možné získat další doplňující informace o vstupním signálu. Na obr. 175a je zjednodušené upravené zapojení, které umožňuje „vyhledávat“ tu část průběhu signálu, kdy je rychlosť zvětšování napětí větší než jeho ustálená velikost.

K tomuto účelu se zapojení rozšířilo o integrovaný monostabilní spouštěný klopný obvod UCY74123N. Tento obvod se vyznačuje zajímavou charakteristikou vlastnosti. Jestliže se vstupní impuls přivede na vstup před dokončením impulsu, generovaného klopným obvodem s dobou trvání T , prodlouží se výstupní impuls o stejnou dobu T . Popsaný pochod se může opakovat, výsledkem bude sled impulsů, jejichž délka bude ovlivněna změnou stavu na výstupu klopného obvodu. Průběhy signálů v jednotlivých bodech 5, 6 a 7 uvedeného zapojení jsou graficky znázorněny v diagramu na obr. 175b.

Zkrácení doby trvání generovaného impulsu změnou kapacity kondenzátoru C nebo odporu rezistoru R ovlivňuje rychle se měnící část signálu. Budicí impulsy jsou přizpůsobovány na potřebnou úroveň signálů TTL ve tvarovači impulsů. Použití rychlého komparátoru typu 710 (např. ULY7710N nebo A110D) umožňuje rovněž napěťovou diskriminaci přiváděného napětí.

Integrovaný obvod UL1980N polské výroby je přímou obdobou řídicího obvodu světelných diod UAA180 firmy Siemens a typu A277D z výroby RFT v NDR.



Obr. 175b. Grafické průběhy signálů v charakteristických bodech 5, 6 a 7 zapojení podle obr. 175a

a UL1976N může řídit páskovou stupnicí s deseti diodami v úrovních od -20 do $+6$ dB,

— jeden obvod UL1975N může řídit indikátor nf vybuzení s pěti diodami s logaritmickým průběhem,

— kombinace obvodů UL1975N a UL1976N může řídit indikátor nf vybuzení s logaritmickým průběhem s deseti diodami.

Oba integrované obvody jsou v plastovém pouzdru DIP-8 s 2x čtyřmi vývody ve dvou řadách. **Funkce vývodů:** 1 — zemníci bod, 2 — výstup Q_5 , 3 — výstup Q_4 , 4 — výstup Q_3 , 5 — výstup Q_2 , 6 — výstup Q_1 , 7 — vstup, 8 — připoj kladného napájecího napětí. Zapojení vývodů je patrné z funkčního skupinového zapojení.

Elektrické údaje obou integrovaných obvodů jsou shodné a jsou v tab. 35. Rozdíl mezi oběma typy je pouze v pevně nastavených prahových spínacích úrovních, které jsou seřazeny v tab. 36 pro postupné spínání diod D_1 až D_5 .

Popis činnosti obvodu

Pevně nastavená napěťová úroveň charakterizuje úrovňě vybuzení a postupného spínání diod páskové světelné stupnice. Například u obvodu UL1975N nesvítil v rozsahu řídicího napětí od 0 do 180 mV žádná dioda, v rozsahu 180 mV až 500 mV svítí dioda D_1 , v rozsahu 500 mV až 840 mV svítí dioda D_1 a D_2 , v rozsahu 840 mV až 1190 mV svítí diody D_1 , D_2 , D_3 atd. Jedním obvodem se může řídit nejvýše pět světivých diod, což platí pro oba typové představitele.

Ve funkčním zapojení uvedené vnitřní stabilizované napětí U_{stab} je vytvářeno vnitřním stabilizátorem a jeho úkolem je udržet všechny referenční body napěťového děliče stabilní a nezávislé na velikosti napájecího napětí. Referenční body určují okamžiky přepnutí z jedné diody na diodu další. Komparátory jsou zapojeny tak, aby byly při vstupním napětí menším než je napětí U_{T01} v referenčním bodu v místě mezi rezistory R_1 a R_2 všechny tranzistory T_1 až T_5 vodivé. Tranzistor T_1 přejímá proud z proudového zdroje I , takže žádná dioda nesvítil. Je-li vstupní napětí větší než napětí v bodě U_{T01} a menší než v bodě U_{T02} , sepne komparátor K_1 , tranzistor T_1 se uzavře, T_2 je vodivý. Konstantní proud I protéká diodou D_1 k tranzistoru T_2 . Obdobně protéká proud I D_1 a D_2 k tranzistoru T_3 při překročení napětí v referenčním bodu U_{T02} . Analogicky lze rozsvěct další světivé diody. Při překročení napětí v bodě U_{T05} svítí všechny světivé diody. Zvolený způsob spínání diod zaručuje, že při přepnutí z jedné diody na druhou nevznikne skok v celkovém odběru napájecího proudu. Tím je zamezeno, aby se spínáním diod

Tab. 35. Elektrické údaje UL1975N, UL1976N

| Mezní údaje | |
|---|---|
| Napájecí napětí: | $U_{CC} \leq 25$ V. |
| Vstupní napětí: | $U_1 \leq 5$ V. |
| Vstupní proud: | $I_1 \leq 0,5$ mA. |
| Výstupní proud výstupů pro připojení svítivých diod: | $I_{QD1} \dots I_{QD5} \leq 30$ mA. |
| Výstupní napětí závěrné: | $U_Q \leq U_{CC}$ V. |
| Ztrátový výkon celkový, | $\theta_a = 60^\circ\text{C}$: |
| Rozsah pracovních teplot okolí, | $\theta_a = -10 \text{ až } +60^\circ\text{C}$, |
| $U_{CC} = 25$ V; | $\theta_a = -10 \text{ až } +85^\circ\text{C}$. |
| $U_{CC} = 18$ V; | $\theta_{sig} = -15 \text{ až } +125^\circ\text{C}$. |
| Rozsah skladovacích teplot: | $\theta_j = 150^\circ\text{C}$. |
| Teploprůchodu: | |
| Charakteristické údaje | |
| Platí při 25°C , $U_{CC} = 16$ V, napětí jsou vztažena vůči zemi. | |
| Napájecí napětí: | $U_{CC8} = 12 \text{ až } 25$ V. |
| Napájecí proud včetně proudu svítivých diod: | $I_{CC8} = \text{jmen. } 25$ mA. |
| Tolerance vstupní prahové úrovně: | $\Delta U_1 \leq \pm 30$ mV. |
| Hystereze spínací prahové úrovni: | $\Delta U_{IH} = \text{jmen. } 10$ mV. |
| Vstupní proud: | $-I_1 = \text{jmen. } 1\mu\text{A}$. |
| Výstupní napětí saturační výstupů Q_1 až Q_5 , | |
| $I_{Q1} \text{ až } I_{Q5} = 20$ mA: | $U_{Q1 \text{ sat}} \text{ až } U_{Q5 \text{ sat}} \leq 1,1$ V. |
| Výstupní proud výstupu Q_5 : | $I_{Q5} = \text{jmen. } 20$ mA. |

Tab. 36. Spínací prahové úrovni pro rozsvícení diod

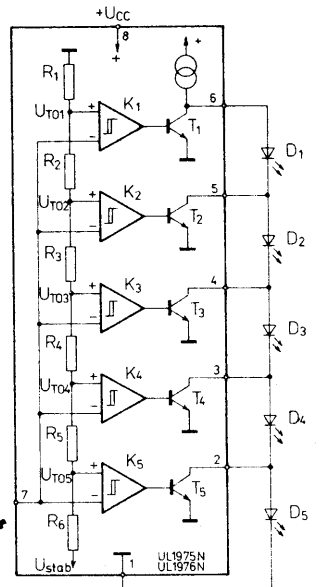
| Dioda | Vstupní napětí – úroveň UL1975N [mV] | [dB] | UL1976N [mV] | [dB] |
|-------|--|------|-----------------|------|
| D_1 | 180 | -15 | 100 | -20 |
| D_2 | 500 | -6 | 300 | -10 |
| D_3 | 840 | -1,5 | 710 | -3 |
| D_4 | 1190 | +1,5 | 1000 | 0 |
| D_5 | 2000 | +6 | 1410 | +3 |

rušivě ovlivňovala kritická místa v přístrojích, v nichž jsou použity světelné indikátory. V rozsahu přechodu z jedné diody na další diodu a zpět je zaručena hystereze prahových úrovní spínacího napětí (typicky 10 mV).

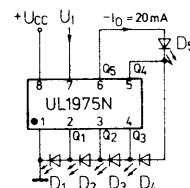
Nejjednodušší zapojení integrovaného obvodu UL1975N jako páskového zobrazovače s pěti svítivými diodami je na obr. 177. Průběh rozsvícení diod je logaritmický ve stupních -15 , -6 dB, $-1,5$ dB, $+1,5$ dB a $+6$ dB v závislosti na přiváděném vstupním napětí. Konkrétní velikosti vstupních spínacích napětí jsou uvedeny v tab. 36.

Kombinovaným zapojením dvou integrovaných obvodů UL1975N a UL1976N s paralelně zapojenými vstupy podle obr. 178 je možné vytvořit indikátor s deseti svítivými diodami a logaritmickým průběhem odstupňovaným v úrovních spínání svítivých diod -20 dB, -15 dB, -10 dB, -6 dB, -3 dB, $-1,5$ dB, 0 dB, $+1,5$ dB, $+3$ dB, $+6$ dB. Úrovně v dB se navzájem prolínají v důsledku funkční spolupráce obou integrovaných obvodů.

Na obr. 179 je indikátor s pěti svítivými diodami a logaritmickým průběhem, který se vyznačuje rychlou reakcí (rozsvícení diod) na napěťové špičky zvukového signálu a pomalým dozíváním (pohasínáním svitu diod). Zobrazovač je schopen rozeznávat amplitudové špičky až do 1 ms (nabíjecí konstanta 0,7 ms). Vybijecí časová konstanta zapojení je asi 70 ms. I toto zapojení je velmi jednoduché. Vyžaduje pouze tři vnější rezistory, jeden kondenzátor a křemíkovou diodu KA206 nebo KA207. Podmínkou dobré



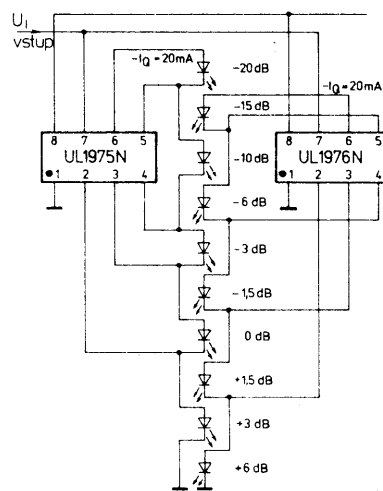
Obr. 176. Funkční skupinové zapojení obvodů pro řízení stupnic LED, UL1975N, UL1976N



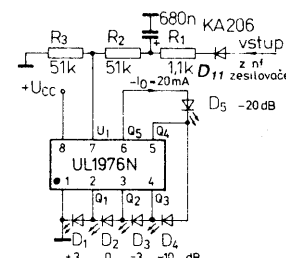
Obr. 177. Zapojení páskového zobrazovače s pěti diodami a obvodem UL1975N s logaritmickým průběhem v rozsahu -15 až $+6$ dB

funkce je malý vnitřní odporník budicího zdroje, proto se vstup indikátoru připojuje např. na výstup pro reproduktor v nízkofrekvenčním zapojení.

Vstupní signál se přivádí na obvod přes diodu D_{11} . Rezistor R_1 a kondenzátor C_1 tvoří filtr pro napětí s vyšším kmitočtem užitečného pásma. Přes odporník dělič R_2, R_3 se dále přivádí

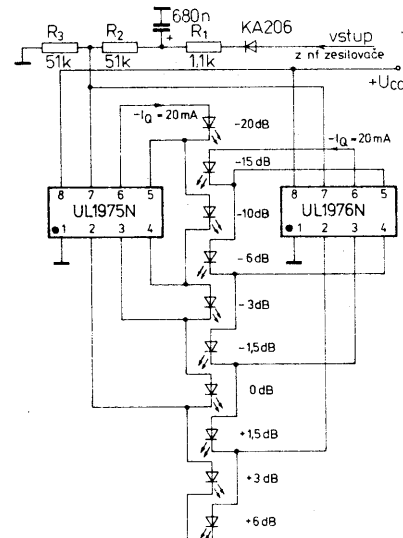


Obr. 178. Zapojení páskového zobrazovače s deseti diodami a obvody UL1975N, UL1976N s logaritmickým průběhem v rozsahu -20 až $+6$ dB



Obr. 179. Zobrazovač nf vybuzený s pěti diodami, obvodem UL1976N s logaritmickým průběhem v rozsahu -20 až $+3$ dB

signál na vstupy obou integrovaných obvodů. K výstupům obou integrovaných obvodů je připojeno deset svítivých signalizačních diod. Používají-li se červené svítící diody, může být napájecí napětí celého zapojení 12 V. Jestliže



Obr. 180. Zobrazovač nf vybuzený s deseti svítivými diodami, obvody UL1975N a UL1976N s logaritmickým průběhem v rozsahu -20 až $+6$ dB

se použijí zelené nebo žluté svíticí diody, musí se napájeti napěti zvětšit nejméně na 16 až 18 V. Citlivost indikačního zapojení je možné nastavit volbou poměru rezistorů R_2 a R_3 . Při vrcholovém vstupním napěti 3 V a navržených velikostech součástek se dosáhne práve 0 dB. Rozsah zobrazování indikátoru je v rozmezí od -15 do +6 dB ve stupních podle tab. 36.

Zapojení na obr. 180 využívá kombinace integrovaných obvodů UL1975N a UL1976N pro řízení deseti svítivých diod, podobně jako u indikátoru pole na obr. 178. Všechny ostatní vnější součástky mají shodné vlastnosti jako v zapojení podle obr. 179. Rozsah zobrazování je širší, od -20 do +6 dB. Zobrazovaný průběh je logaritmický.

Oba popsané integrované obvody dovolují libovolně kombinovat svítivé diody, s nimiž spolupracují. V zásadě je možné zobrazit určité rozsahy jako např. při logaritmickém zobrazování vybuzení -dB a +dB svítivými diodami s odlišnou barvou. Sériovým zapojením svítivých diod je pevně určeno minimální napájecí napěti. Např. pro pět červených svítivých diod s maximálním propustním napětím 2,0 V při propustném proudu 20 mA je dáné pevně napájecí napětí 10 V. Proudový zdroj, integrovaný v systému obvodu, vyžaduje minimální napětí 2 V. Pro červené svítivé stupnice musí být napájecí napětí nejméně 12 V, což je součet všech propustných napětí svítivých diod a vnitřního proudového zdroje.

Použijí-li se pouze zelené svítivé, popř. pouze žluté svítivé diody, u nichž bývá maximální propustné napětí 3,2 V, je zapotřebí napájecí napětí zvětšit nejméně na 18 V. Při kombinaci červených a zelených svítivých diod, popř. červených a žlutých svítivých diod je dáné minimální napájecí napětí součtem propustných napětí použitých diod, zvětšením o 2 V. Zásadně se však smí kombinovat svítelné diody pracující se stejným propustným proudem (např. s proudem 20 mA nebo 10 mA), nikoli s rozdílnými proudy.

Rovnoměrný svit všech svítivých diod v jednom pruhu vyžaduje alespoň minimální výběr svítivých diod na alespoň přibližně stejný jas. Diody je vhodné vybírat ještě před jejich osazením do desky s plošnými spoji na jednoduchém přípravku, na němž současně rozsvítíme všechny diody a vizuálně překontrolujeme jejich jas. Diody s odlišným svitem vyřadíme. Kontrolní přípravek s diodami je vhodné napájet stejnosměrným napětím 5 V, v obvodu každé diody musí být zařazen srážecí odporník $680\ \Omega$ za předpokladu, že všechny použité diody mají předepsaný pracovní proud 20 mA. Při jiném pracovním proudu se musí upravit odporník srážecího rezistoru na potřebou velikost.

Popsané integrované obvody pro řízení svítelných stupnic LED UL1975N jsou plnou obdobou součástek firmy Telefunken U257B, UL1976N součástek U267B, se kterými jsou plně zaměnitelné.

Funkci zobrazovače se svítivými diodami může stejně dobře plnit již popsany obvod UL1980N, rovněž polské výroby, či obvod A277D z výroby NDR. Oba tyto obvody mohou řídit až 12 svítivých diod, avšak použití těchto

součástek k řízení svítelných diod má několik nedostatků. Protože v zobrazovačích nf výkonu musí být počet svítivých diod proporcionalní logaritmumu řidicího napěti, musí se zapojení s UL1980N pro tyto účely doplnit o logaritmující obvody. K tomuto účelu jsou nejvhodnější operační zesilovače, které vyžadují napájení ze symetrického zdroje napěti, což komplikuje celé zapojení. Navíc se musejí použít další součástky, jimiž se zapojení dále rozšiřuje a prodražuje.

Je proto zcela oprávněný vývoj a používání integrovaných obvodů UL1975N a UL1976N, které mají ve své vnitřní struktuře integrovány logaritmující součástky. Díky této vlastnosti je na výstupech obvodů již logaritmovaná funkce výstupního napěti.

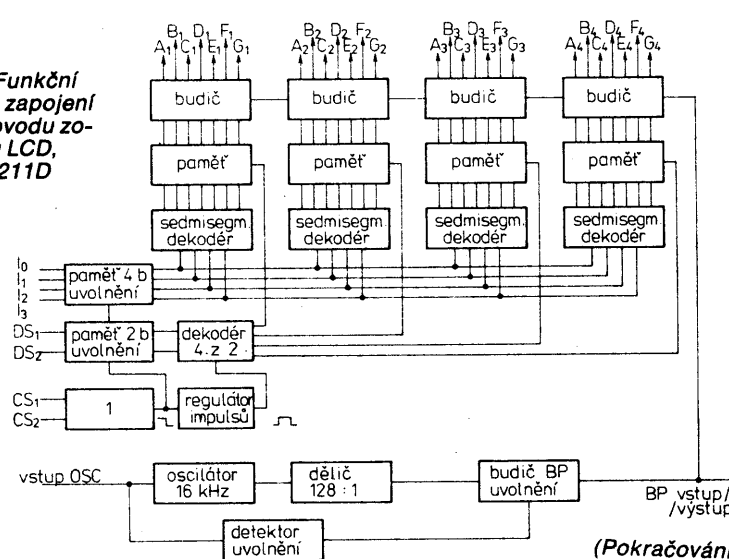
Řidicí obvody zobrazovačů LCD, UL7211D, UP7211D

Unipolární integrované obvody typu UL7211D a UP7211D z výroby podniku VEB Mikroelektronik „Karl Marx“ v Erfurtu, NDR, jsou určeny k řízení čtyřmístných sedmisegmentových zobrazovačů z kapalných krystalů (LCD). Jejich jistou nevýhodou je omezené řízení pouze čtyř míst zobrazovače. Další přídavné znaky, jako jsou desetinné tečky, znaky +, - či symboly druhu napětí, měrených veličin a naměných jednotek se musí řídit přídavnými obvody (dalšími integrovanými obvody či diskrétními součástkami). I tak jsou vitaným doplňkem v laboratoři elektronika.

Popisované řidicí obvody zobrazovačů LCD jsou vyrobeny technologií CMOS. Jejich předností je malá spotřeba napájecího proudu a slučitelnost s jinými druhy logických obvodů. Další vitanou předností je možnost plné spolupráce s některými typy bipolárních analogově číslicových převodníků jednočipových mikroprocesorů, mikroprocesorových systémů a paměťových obvodů.

Integrované obvody UL7211D a UP7211D umožňují přípravu vstupních dat v kódě BCD k řízení čtyřmístného zobrazovače se sedmisegmentovými znaky, vyrobenými na bázi kapalných krystalů. K řízení zobrazovačů se svítelnými diodami popisované IO nejsou vhodné. Oba obvody se navzdušnou odlišují uspořádáním vstupů a způsobem vkládání vstupních dat. Z toho plyne jejich vazba na další elektronické funkční skupiny v přístrojích.

Obr. 181. Funkční skupinové zapojení řidicího obvodu zobrazovačů LCD, UP7211D



Tab. 37. Výstupní kód řidicích obvodů UL7211D, UP7211D

| Vstupní signál | Výstupní kód B | | | |
|----------------|----------------|-------|-------|---------|
| I_3 | I_2 | I_1 | I_0 | |
| L | L | L | L | 0 |
| L | L | L | H | 1 |
| L | L | H | L | 2 |
| L | L | H | H | 3 |
| L | H | L | L | 4 |
| L | H | L | H | 5 |
| L | H | H | L | 6 |
| L | H | H | H | 7 |
| H | L | L | L | 8 |
| H | L | L | H | 9 |
| H | L | H | L | - |
| H | L | H | H | E |
| H | H | L | L | H |
| H | H | L | H | L |
| H | H | H | L | P |
| H | H | H | H | nesvítí |

Řidicí obvod UP7211D

Jako základní můžeme považovat integrovaný obvod UP7211D, který má čtyři vstupy pro výběr místa zobrazování čtyřmístných sedmisegmentových zobrazovačů. Díky této vlastnosti je na výstupech obvodů již logaritmovaná funkce výstupního napěti.

Každé vstupní informaci BCD příslušná číslice se vybírá vstupním signálem s úrovní H, přiváděným na příslušný výběrový vstup číslice. Současně je možné vkládat několika číslicím nebo též všem číslicím stejnou informaci, jsou-li současně řízeny příslušné výběrové vstupy číslic. Informace BCD se dekóduje a uloží v paměti segmentu vybrané číslice.

Na výstupech segmentů se projeví v zapnutém stavu pravoúhlý signál, který je v protifázi vůči vývodu „zadní“ elektrody. Tento signál se získává z vnitřního oscilátoru a za ním následujícího děliče s poměrem 128:1. Takto jsou zaručeny rovnoměrné časové odstupy úrovní H a L, takže řidicí signál pro zobrazovač neobsahuje stejnosměrnou složku napěti.

Buduč segmentů a zadní elektrody se skládají z invertoru CMOS.

DÁLKOVÝ PŘÍJEM V PRAXI

Ing. Boris Glos

(Dokončení)

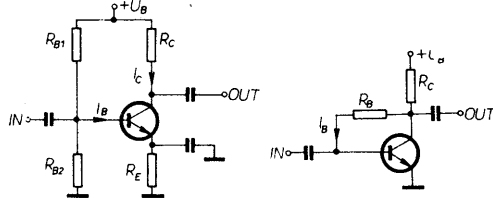
11.1. Pracovní bod tranzistoru

U bipolárního tranzistoru nastavujeme napětí mezi kolektorem a emitorem U_{CE} a kolektorový proud I_C změnou proudu báze I_B . Platí vztah:

$$I_C = h_{21E} I_B,$$

kde $h_{21E} = \beta$ je stejnosměrný proudový zesilovační činitel při vf uzemněném kolektoru. Proud I_B nastavujeme změnou R_B v bázi nebo děličem v bázi, někdy i emitorovým odporem R_E . Kolektorový odpor R_C závisí na U_B , U_{CE} a I_C podle vztahu:

$$R_C = (U_B - U_{CE}) / I_C.$$



Obr. 112. Zesilovač SE. Můstková stabilizace (vlevo)

Obr. 113. Nastavení pracovního bodu ss zpětnou vazbou (vpravo)

Tab. 23. Přehled parametrů bipolárních tranzistorů pro širokopásmové zesilovače

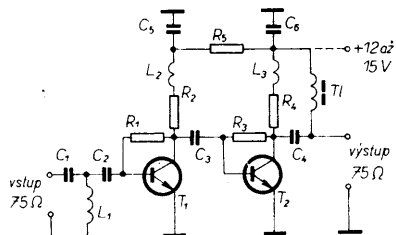
| Typ | Výrobce | U_{CE} [V] | I_C [mA] | G [dB] | F [dB] | f [MHz] | Min. šum. U_{CE}/I_C | Max. lin. U_{CE}/I_C | Stupeň zesilovače |
|--------|---------|----------------|---------------|---------------|------------------------|-------------------|------------------------|------------------------|-------------------|
| BFR90 | S, P | 10 10 | 14 14 | 19,5 14 | 2,4 3,6 | 500 800 | 6/4 | 8/15 | 1, (2) |
| BFR91 | S, P | 8 5 | 2 30 | 16,5 13,2 | 1,9 4,0 | 500 800 | 6/4 | 5/30 | 2, (1) |
| BFR90A | P | 10 10 10 | 15 4 10 | 14 | 2,5 1,8 2,1 | 800 800 800 | 6/4 | 8/15 | 1, (2) |
| BFR91A | P | 8 8 | 30 4 | 14 | 2,3 1,6 | 800 800 | 6/4 | 5/30 | 2, 1 |
| BFR96 | S, P | 8 10 | 60 50 | 9 | 4,5 3,3 | 800 500 | | 6/60 | 3, 2 |
| BFR96S | P | 10 | 70 | 11,5 | 4,0 | 800 | | | 3, (2) |
| BFT65 | S | 8 8 | 25 3 | 12 | 3,2 2,3 | 800 800 | | | 2, 1 |
| BFT66 | S | 6 6 | 4 15 | 10 až 12 | 1,8 2,5 | 800 800 | 6/4 | 8/15 | 1, (2) |
| BFT67 | S | 6 | 15 | 12 | 2,7 | 800 | 6/4 | 8/15 | 1, 2 |
| BFT97 | S | 6 6 | 4 15 | 14,4 | 2,1 | 800 800 | | | 1 |
| BFQ65 | P | | | 8 | 3 | 2000 | | | 1 |
| BFQ66 | P | | | 12,5 | 3 | 2000 | | | 1 |
| BFQ69 | S | 10 10 | 15 15 | 11 | 0,8 až 1 1,4 až 1,6 | 500 800 | 6/10 | 10/15 | 1 |
| BFG65 | | | | 15 5 10 | 1,5 1,0 1,3 | 800 800 800 | 6/5 | 10/15 | 1 |
| KF189 | T | 5 5 | 2 14 | 4 | 7 | 800 800 | 5/2 | 5/15 | |
| KF190 | T | 5 5 | 2 14 | 5,5 | 6 | 800 800 | 5/2 | 5/15 | |

takto zapojené zesilovače mají větší stabilitu (hlavně v podmínkách místního vysílače) než ostatní typy zesilovačů. Nevýhodou tohoto jednoduchého zapojení je nutnost individuálně nastavovat pracovní bod (závisí na h_{21E} tranzistoru). Odpory rezistorů R_B a R_C budou tedy různé pro různé typy tranzistorů a budou se mírně měnit i u tranzistorů stejněho typu. Pracovní bod volíme buď s ohledem na malý šum nebo na dobrou linearity. V tab. 13 můžeme přečíst pracovní body tranzistorů pro minimální šum a pro maximální linearity, která je optimální v okolí 2/3 max. kolektorové ztráty (T — TESLA, S — Siemens, P — Philips). V praxi často volíme kompromisně nastavený pracovní bod. Musíme si uvědomit, v jakých podmínkách bude zesilovač pracovat. Nastavení pracovního bodu prvního stupně na I_{Cmin} (většinou 4 mA) volíme zcela výjimečně, a to tehdy, není-li nejen v okolí, ale ani ve směru příjmu antény silný vysílač. Pro minimální šum vyhovuje většině tranzistorů napětí $U_{CE} = 6$ V. Nejčastěji budeme pracovat s tranzistory řady BFR... Tranzistory BFR90 (A) jsou vhodnější pro první stupeň (lepší přizpůsobení na vstupu, menší šum). Naopak tranzistory BFR91 (A) budeme osazovat spíše druhý stupeň (lepší vybuditelnost a přizpůsobení na výstupu). Ovšem rozdíly mezi těmito typy jsou tak malé, takže je lze bez viditelných následků prohodit. Týká se to zvláště typu BFR91A, který je v tomto směru velmi univerzální a dosahuje malého šumu při výborné linearity. V posledním sloupci tab. 23 je uvedena vhodnost tranzistoru pro první, druhý

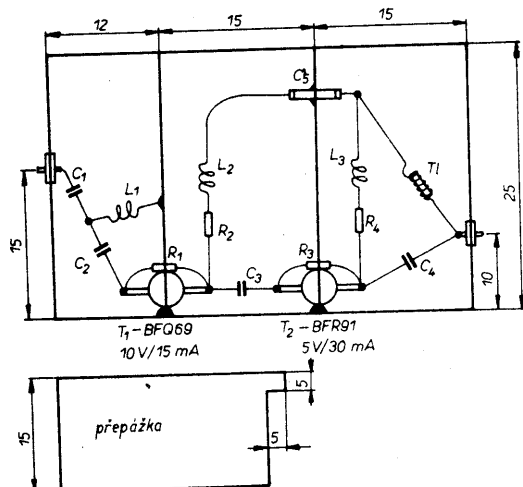
nebo třetí stupeň zesilovače. Závorka znamená, že použití je možné, ale méně vhodné. Tranzistor BFQ69 lze ovšem použít i ve druhém stupni, ale je to neekonomické a nevhodné řešení, protože jde o drahý tranzistor, u něhož se má využívat především jeho přiznivých šumových vlastností. Nastavíme-li proud větší než jaký je doporučen pro nejlepší linearitu, pak u některých tranzistorů se linearita zhorší, ale většinou se ještě mírně zlepší, ovšem za rychlého zvětšování šumu. Např. u tranzistoru BFT66 se navzdory katastrofálněm údajům linearita plynule zvětšuje až k $I_c = 15$ mA. Jde-li nám o maximální linearitu, nastavíme na druhém stupni pro typy BFR $U_{CE} = 5$ V a $I_c = 25$ až 35 mA. Při kompromisní nastaveném pracovním bodu zvětšíme napětí U_{CE} na 8 až 10 V a proud nastavíme asi na 10 mA. Výhodou moderních tranzistorů je poměrně plochá závislost F na I_c .

11.2. Praktická realizace širokopásmových zesilovačů

Všechny dále popisované zesilovače jsou zhotoveny v krabičkách z plechu či kuprextitu samonosně. Podobně jako u zesilovače na desce s plošnými spoji musí být součástky vhodné a přehledně rozmištěny, je třeba respektovat zásady výroby, hlavně kvůli stabilitě. Montáž na desku s plošnými spoji je rychlejší a pro začátečníka vhodnější. Je-li deska se spoji dobrě navržena, má zesilovač velmi dobrou stabilitu. Dobrý materiál zaručuje minimální ztráty (dielektrikum kuprextitu je „ztrátové“). Zájemce o zhotovení zesi-



Obr. 114. Schéma dvoustupňového širokopásmového zesilovače



Obr. 115. Provedení dvoustupňového zesilovače

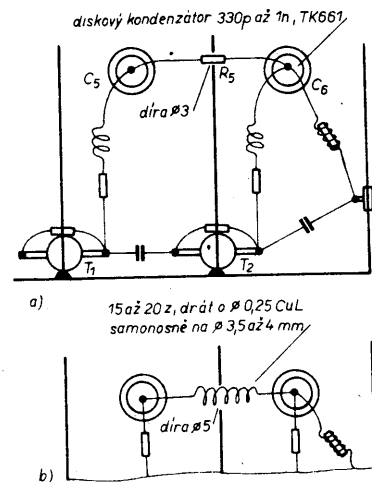
lovače touto technikou odkazují na AR B1/87. Použijeme-li ke konstrukci krabičku, lze lépe aplikovat laděné obvody (odlaďovače či selektivní výhinky). Používáme např. levný pocínovaný plech o tloušťce 0,25 až 0,5 mm. Při zhotovování zesilovače se budeme řídit těmito hlavními zásadami:

1. Emitorové vývody tranzistorů zkrátme až na 1 mm.
2. Vyuvarujeme se dlouhých přívodů součástek pájených paralelně k signálové cestě. Indukčnosti přívodů součástek sériově zapolených v dráze signálu většinou nevadí, někdy dokonce kompenzují parazitní kapacity vůči zemi.
3. Jako blokovací použijeme diskové kondenzátory. Nejsou-li k dispozici, můžeme si je zhotovit. V některých místech si můžeme dovolit terčík nahradit běžným keramickým kondenzátorem s velmi krátkým přívody (kratší než 2 mm). Jako blokovací kondenzátory je někdy výhodné použít kondenzátory průchodkové, a to i když není jejich „průchodnost“ využita.

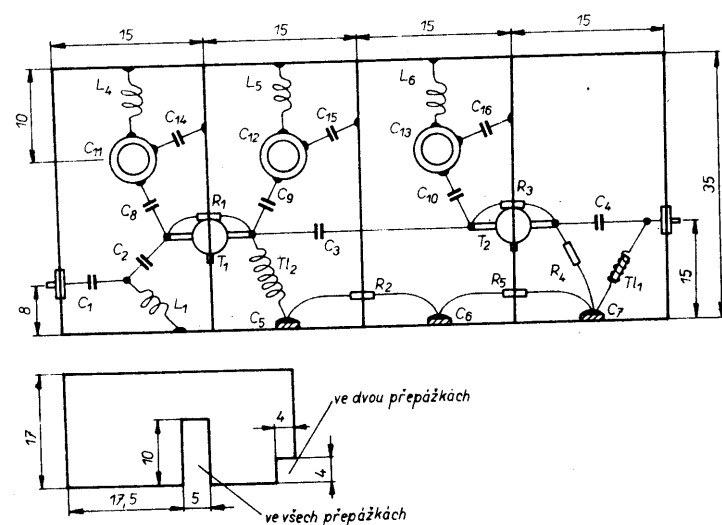
Na obr. 114 je základní elektrická schéma dvojstupňového zesilovače pro pásmo UHF. Jde o zapojení velmi jednoduché, ale účelné, které dovoluje využít dobrých parametrů tranzistorů. Z obr. 115 vidíme, že se zesilovač skládá ze tří komůrek, oddělených od sebe přepážkami. Ty nemají takový význam jako u zesilovačů laděných, slouží spíše pro přehlednost montáže a k uchycení tranzistorů. Stínící účinek se uplatní u zesilovačů s odlaďovači. Napětí pro tranzistor prvního stupně je přiváděno z poslední komůrky přes průchodkový kondenzátor, který je zapojen v otvoru přepážky. Aby bylo zamezeno pronikání vý signálu přes R_2 , R_4 z jednoho stupně do druhého, jsou z vývodu kolektorových rezistorů navinuty tlumivky. Zhotovíme je tak, že vývod rezistoru nezkrátíme, ale navineme z něj na trnu o $\varnothing 2$ mm čívku o 2 až 2,5 závitech, které pak mírně roztahneme. Kapacita průchodkového kondenzátoru není kritická (se zvětšující se kapacitou se zvětšuje i indukčnost). Doporučují používat kapacity minimálně 1,5 nF. Na obr. 116 jsou další varianty, jak převést napětí z jedné komůrky do druhé. Není-li průchodkový konden-

zátor k dispozici, musíme kolektorové rezistory zablokovat diskovými kondenzátory — ty spojíme rezistorem R_5 provlečeným dírou v přepážce (obr. 116a). Jeho odpor volime v rozsahu 4,7 až 8,2 Ω. Jeho indukčnost je ovšem velmi malá, proto i zde zhotovíme tlumivky na přívodech kolektorových rezistorů. Obecně vzato sériové indukčnosti u rezistorů R_2 , R_4 používáme, mají-li rezistory odpory menší než 820 Ω. V opačném případě mohou vznikat ztráty 1 až 1,5 dB na jednom rezistoru. Místo rezistoru mezi blokovacími kondenzátory můžeme použít tlumivku (obr. 116b).

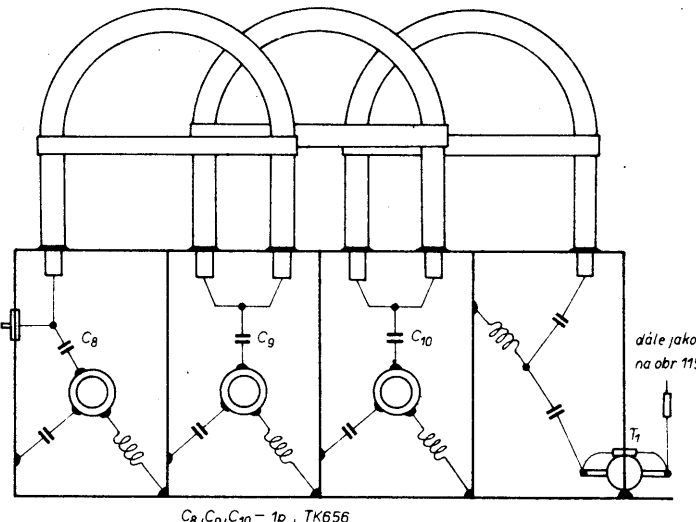
Součástky pájíme do krabičky takto: Nejprve zapojíme průchodkový kondenzátor nebo kondenzátory diskové. Na vstupní skleněnou průchodusku připojíme C_1 . Poblíž jeho konce připojíme k dnu krabičky čívku L_1 a pak k L_1 a C_1 připojíme C_2 . Na výstupní průchodusku připojíme C_4 a tlumivku C_5 . K C_5 pak připojíme oba kolektorové rezistory. V další fázi připojíme emitorové tranzistory k bočnicí krabičky, rezistory R_1 a R_3 připojíme na zkoušku s delšími přívody. Pracovní body nastavíme jeden po druhém. Na výstup zesilovače přivedeme +12 V a kolektorové rezistory bez pájení pouze pinzetou přihneme k tranzistoru a změříme proud a napětí. Je-li pracovní bod v toleranci -5 až +10 %, můžeme rezistory R_1 a R_3 s co nejkratšími přívody připájet k tranzisto-



Obr. 116. Dva způsoby napájení T_1



Obr. 117. Zesilovač s odlaďovači



Obr. 118. Zesilovač při místním vysílači (C_8 až C_{10} 1 pF, TK 656)

rům spolu s C_2 (u T_1) a s C_3 (u T_2). Ze strany kolektoru připájíme najednou R_2 , C_3 a R_4 , C_4 . Tento postup zaručuje minimální počet prohřevů tranzistorů. Nevýhoda je v tom, že pracovní bod tranzistorů se po připojení vstupních a výstupních obvodů nepatrně změní. Při nastavování pracovního bodu si uvědomíme, že zmenšujeme-li odporník rezistoru R_2 , pak se proud I_C zvětší a s ním i U_{CE} . Zvětšujeme-li odporník rezistoru R_1 , pak se I_C zmenší a U_{CE} zvětší. Jinými slovy, chceme-li pracovní bod odpovídající větší linearitě, odporník rezistoru R_1 a R_2 zmenšíme. Horní průpust (článek T) dobré přizpůsobí impedanci 75 Ω k impedanci tranzistorů. Chceme-li dosáhnout optimálního přizpůsobení hlavně u vyšších kmitočtů, pak závitý cívky L_1 roztáhneme.

Seznam součástek

| | |
|---------------|---|
| R_1 | = asi 100 kΩ, TR 191 |
| R_2 | = asi 330 Ω, TR 212 |
| R_3 | = asi 12 kΩ, TR 191 |
| R_4 | = asi 180 Ω, TR 212 |
| R_5 | = 4,7 až 8,2 Ω, TR 151 |
| C_1 , C_2 | = 4,7 pF, TK 656 |
| C_3 , C_4 | = 10 pF, TK 754 |
| C_5 | = průchodkový kondenzátor 1,5 nF |
| L_1 | = 2 závity drátu o Ø 0,5 mm Cu(L) na Ø 3 mm |
| L_2 , L_3 | viz text |
| T_1 | = 12 závitů o Ø 0,25 mm na toroidu o Ø 4 mm (N2, N1, NO5) |

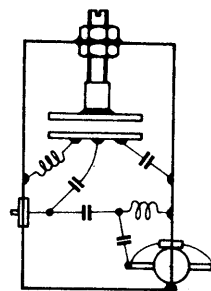
Na obr. 117 je stejný zesilovač doplněný odlaďovačem. Ve většině případů postačuje na vstupu pouze jeden stupeň odlaďovače. Křížová modulace vzniká většinou až v druhém stupni, proto před něj dámé dva stupně odlaďovače. V extrémních případech, je-li anténa nasměrována blízko směru na místní vysílač, použijeme zapojení podle obr. 118. Nejsme-li si jisti, bude-li u zesilovače na obr. 117 útlum 10 až 15 dB na vstupu stačit, zařadíme na vstup dvojstupňový odlaďovač se čtvrtvlnými úseky jako na obr. 118, ale bez první komůrky. Odlaďovač mezi stupni můžeme zařadit i tehdy, přijímáme-li slabý signál rušený silným vysílačem na vedlejším kanále. Použijeme odlaďovač s menším útlumem, ale velmi selektivní. Naladění zesilovače s odlaďovačem vyžaduje trochu praxe, protože se snadno stane, že spolu s rušivým signálem odlaďime i slabší žádaný signál na vedlejším kanále. Odlaďovač ladíme „na hranu“ a útlumovými články kontrolujeme, zda jsme žádaný signál příliš nezeslabili. Ovšem

T_1

— 15 závitů samonosně drátem Cul o Ø 0,25 mm na Ø 4 mm

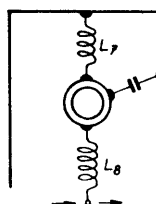
Ostatní jsou shodné.

Ctvrtvlnné úseky kabelu po „opracovaném konci“ opatrně ohneme do tvaru písmene U a stáhneme drátem tak, aby je bylo možno nasunout do děr. Pak teprve připájíme jejich stínění ke krabičce. Jinak se vystavujeme nebezpečí, že prohřátím se dielektrikum prořízne plechem — poškodí se, případně může vzniknout zkrat, a to i po delší době. Cesty ke zlepšení parametrů hledejme ve zlepšení jakosti trimrů. I v tomto zesilovači je můžeme nahradit zhotovenými vzduchovými kondenzátory. Na obr. 120 vidíme, jak lze uchytit letmo



Obr. 120. Použití vzduchového kondenzátoru v odlaďovači

jeden polep kondenzátoru (lze použít i u odlaďovače se čtvrtvlnými úsekami). V tomto případě se osvědčilo smyčky souosého kabelu přivázat k plechu (každou 2x), který je připájen ke krabičce. Kabel se nebude pohybovat, proto se jeho pohyb nemůže přenášet až na „polep“ kondenzátoru, který by se tím rozlaďoval. Lze se ptát, má-li toto vše cenu. Má, protože koupíme-li dvakrát dražší tranzistor, který má o několik desetin dB lepší F , pak se vyplatí věnovat pozornost konstrukci odlaďovače na vstupu, kde tyto desetiny ztrácíme nekvalitními skleněnými trimry.



Obr. 119. Odlaďovač se strmější hranou (dolní) kmitočtové charakteristiky (L_7 3 z, drát o Ø 0,8 mm na Ø 3 mm, L_8 5,5 z, drát o Ø 0,5 mm na Ø 3 mm)

vhodné připomenout, že úseky souosého kabelu mezi stupni jsou čtvrtvlnné pro odlaďovaný kmitočet, délka se počítá od konců stínění a počítáme s činitelem zkrácení poněkud odlišným (0,59 u plného dielektrika, 0,75 u pěnového). Odlaďovače ladíme se zařazenými útlumovými články před i za zesilovačem. Na zašuměném obrazu poznáme velmi dobře, je-li odlaďovač naladěn na kmitočet obrazu či zvuku. Jednostupňový odlaďovač před prvním stupněm ladíme na kmitočet obrazu, vícekomorový odlaďujeme oba konec i střed kanálu.

Seznam součástek pro zesilovač na obr. 117

| | |
|------------------|--|
| C_8 | = 0,5 pF až 1 pF |
| C_9 , C_{10} | = 1 pF až 1,5 pF |
| $C_{14}, 15, 16$ | = do 2,2 pF |
| $C_{11}, 12, 13$ | — skleněný trimr 0,5 až 4,5 pF |
| $L_{4, 5, 6}$ | — 2 závity drátu o Ø 0,8 mm Cu(Ag) na Ø 3 mm, závity mírně roztaženy |

Literatura

- [1] Macoun, J.: Yagiho antény na VKV a UKV. AR B1/82.
- [2] Macoun, J.: Antény a antenní soustavy. AR B1/84.
- [3] Krupka, Z.; Kuncl, J.: Vf zesilovače, filtry . . . AR B1/87.
- [4] Megla, G.: Technika decimetrových vln. SNTL: Praha 1958.
- [5] Prokop, J.; Vokurka, J.: Šíření elektromagnetických vln a antény. SNTL, ALFA: Praha, Bratislava 1982.
- [6] Trůněček, J.: Kvalifikační příručka radiotechnika. Práce: Praha 1971.
- [7] Radiotechnická příručka II. Práce: Praha 1972.
- [8] Žalud, V.; Kulešov, V. N.: Polovodičové obvody s malým šumem. SNTL: Praha 1980.
- [9] Vít, V.; Kočí, J.: Televizní příjem ve IV. a V. pásmu. SNTL: Praha 1971.
- [10] Český, M.: Příjem rozhlasu a televize. SNTL: Praha 1981.
- [11] Svačina, J.: Mikrovlnná technika. Publikace VUT Brno
- [12] Firemní literatura VEB Antennenwerke Bad Blankenburg, Texas Instruments, Philips, Siemens, TESLA.

NOVÉ PRACOVÍSTĚ RESORTU SPOJŮ

pro údržbu a vývoj SW telekomunikačních zařízení nasazovaných v čs. jednotné telekomunikační síti

přijme zájemce o práci v oborech:

- programování spojovacích a dohledových SPC systémů
- programování a provoz podpůrných a testovacích prostředků údržby SW
- školení a tvorba kursů pro SPC technologii.

Informace osobně,
písemně i telefonicky
na č. tel. 27 28 53, 714 25 79

Praxe v oboru programování (mini a mikropočítače) vítána. Plat zařazení podle ZEUMS II.
Pro mimopražské pracovníky zajistíme ubytování.

MEZINÁRODNÍ A MEZIMĚSTSKÁ
TELEFONNÍ A TELEGRAFNÍ USTŘEDNA
V PRAZE 3,
OLŠANSKÁ 6

INZERCE



Inzerci přijímá osobně a poštou Vydavatelství Naše vojsko, inzertní oddělení (inzerce ARB), Vladislavova 26, 113 66 Praha 1, tel. 26 06 51-9, linka 294. Uzávěrka tohoto čísla byla dne 25. 5. 88, do kdy jsme museli obdržet úhradu za inzerát. Neopomněte uvést prodejný cenu, jinak inzerát neuverejníme. Text inzerátu pište čitelně, aby se předešlo chybám vznikajícím z nečitelnosti předloh.

PRODEJ

ZX81 + 16 K + přísluš. (3500). E. Šupler, Severní 396, 517 50 Častolovice.

Hru na postřeh z ARA 11/84 (180), osaz. mf 10,7 MHz bez clvek a SFE (350), aut. laď. (180), oživ.

jednotku VKV 66-104 MHz (200), zdroj + trafo (270), bez skříňky, vše na tuner z ARB 4/79, pl. spoj P218 (80), SFE 10,7 (à 35), různé MH ..., KC ..., LQ ..., kupím LQ410, 4 ks nové. M. Hrušovský, Gutova 26, 100 00 Praha 10.

Zesilovač Texan Hi-fi 2x 30 W, indikace LED(1500), kupím U806 + 807. I. Rešl, Ljaguševova 409, 431 51 Klášterec n. Ohří.

BFR90, 91, 96, BFT66 (65, 65, 70, 140), ICL7106 (350), ICL7107 (350), AY-3-8500 (400). J. Kopecký, Záhrady 1278, 905 01 Senica.

U806, U807 (200, 150). Koupím 4164, 8264, 27128, Z80A. Mil. Sova, Heranova 1548, 155 00 Praha 5.

KOUPĚ

Jednotlivá čísla ARB (à 10). Seznam zašlu. J. Kopecký, Strakov 15, 570 01 Litomyšl.

Osciloskop do 2200 Kčs. Uveďte stav, parametry, cenu + dokumentaci. P. Burák, Priebradná 38, 031 01 Lipt. Mikuláš.

Pro **Commodore 116** — hardw. i softw. nabídněte. J. Malkus, 328 11 Větřní 205.

2 ks **IO MN3005** nebo ekvivalent. J. Šmehýl, 790 65 Žulová 16.

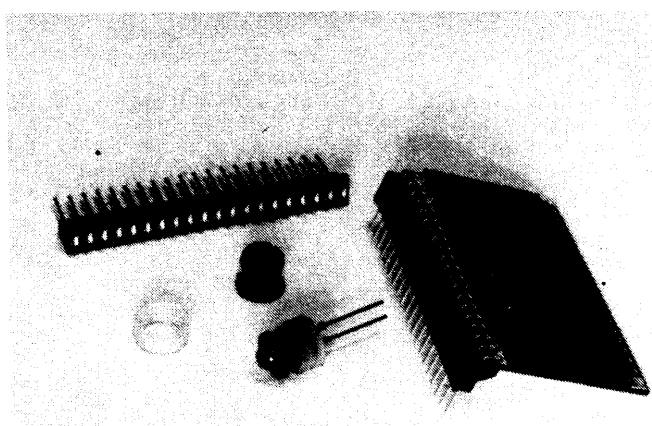
RŮZNÉ

Kdo zapůjčí ZX Spectrum? Udejte své podmínky. R. Kvaka, Orlová 4, č. 804, 735 14 Karviná.

Prodám Color Printer Plotter PRN C-41 Sony Hit-Bit pre MSX Computer (10 000), Sord m5 + Basic-G, Basic-F, Falc, EM-5 (32 KB) + literatúru, cca 400 programov (spolu 8500). Vymením, alebo odpredám programy pre MSX computer, Commodore C-64 (kazety, diskety). Predám nahrané videokazety z SAT TV (hudba, filmy apod.). M. Hausner, Priebradka 395/13, 966 01 Hliník nad Hronom.



TESLA Rožnov, k. p., závod VRCHLABÍ



nabízí
k okamžitému odprodeji
tyto výrobky:

1. **Zobrazovač LCD včetně konektorů 2 RK 49720.** Konektory možno dodat i samostatně.
2. **Objímky 2 RK 200 pro svítivé diody ø 5 mm.** Od II. pololetí 1988 lze objednat objímky pro svítivé diody ø 4 mm.

Objednávky na podlimitní množství (tj. do 500 ks) zasílejte na o. p. TESLA ELTOS.

Dodávky nad 500 ks vyřizuje odbytové oddělení TESLA Vrchlabí, č. telef. 212 51, kl. 499, 316.